LUCIA REGINA GASPARETTO ARNT

ASPECTOS IMUNOCITOQUÍMICOS DOS NEURÔNIOS QUE ELABORAM UROTENSINA I E UROTENSINA II NA EXTREMIDADE CAUDAL DA MEDULA ESPINHAL DE Carassius auratus (LINNAEUS) - Análise morfométrica após administração de metopirona e dexametasona

> Tese apresentada ao curso de Pós-Graduação em Morfologia do Departamento de Biologia Celular da Universidade Federal do Paraná, para obtenção do grau de Mestre em Ciências Biológicas — área de concentração: Biologia Celular

LUCIA REGINA GASPARETTO ARNT

ASPECTOS IMUNOCITOQUÍMICOS DOS NEURÔNIOS QUE ELABORAM UROTENSINA I E UROTENSINA II NA EXTREMIDADE CAUDAL DA MEDULA ESPINHAL DE Carassius auratus (LINNAEUS) - Análise morfométrica após administração de metopirona e dexametasona

> Tese apresentada ao curso de Pós-Graduação em Morfologia do Departamento de Biologia Celular da Universidade Federal do Paraná, para obtenção do grau de Mestre em Ciências Biológicas — área de concentração: Biologia Celular

LUCIA REGINA GASPARETTO ARNT

ASPECTOS IMUNOCITOQUÍMICOS DOS NEURÔNIOS QUE ELABORAM UROTENSINA I E UROTENSINA II NA EXTREMIDADE CAUDAL DA MEDULA ESPINHAL DE *Carassius auratus* (LINNAEUS) - Análise morfométrica após administração de metopirona e dexametasona

Tese apresentada ao curso de Pós-Graduação em Morfologia do Departamento de Biologia Celular da Universidade Federal do Paraná, para obtenção do grau de Mestre em Ciências Biológicas - área de concentração: Biologia Celular

CURITIBA 1990

ASPECTOS IMUNOCITOQUÍMICOS DOS NEURÔNIOS QUE ELABORAM UROTENSINA I E UROTENSINA II NA EXTREMIDADE CAUDAL DA MEDULA ESPINHAL DE *Carassius auratus* (LINNAEUS) - Análise morfométrica após administração de metopirona e dexametasona

por

LUCIA REGINA GASPARETTO ARNT

Tese aprovada como requisito parcial para obtenção do grau de Mestre no curso de Pós-Graduação em Morfologia - área de concentração Biologia Celular, pela Comissão formada pelos Professores:

ORIENTADORA:

Profa. Maria de Lourdes Zanardini Camargo,
Universidade Federal do Paraná - Brasil.

Prof. Paulo de Tarso Chaves, Universidade Federal do Parana - Brasil.

Prof. Waldemiro Gremski, Universidade Federal do Paraná - Brasil.

Curitiba, 07 de agosto de 1990.

ORIENTADORES

Professora MARIA DE LOURDES ZANARDINI CAMARGO Orientação Geral e Morfo-Histologia Departamento de Biologia Celular Universidade Federal do Paraná - Brasil

Professor Dr. JAMES NOLAN FRYER

Neuroendocrinologia, Imunocitoquímica e Morfometria

Departamento de Anatomia

Universidade de Ottawa - Canadá

```
A
Regina Maura,
minha mãe, um exemplo;
ensinaste-me a amar a vida,
a conhecer a realidade,
a conquistar pela perseverança.

Ivo Carlos,
meu pai, meu mestre;
orientador nos objetivos da vida,
contigo aprendi como é fácil e bom viver,
ensinaste-me a difícil arte de conviver.

Ivo Carlos Filho,
meu irmão, meu amigo;
companheiro de todos os momentos.
```

AGRADECIMENTOS

Ao concluir o currículo universitário, duas opções se me apresentaram: assumir as tarefas exigidas pelo trabalho profissional ou prosseguir na busca de novos conhecimentos e aperfeiçoar os ensinamentos básicos auferidos no curso de Biologia.

A escolha veio do íntimo. Senti que à conquista da primeira fase acadêmica deveria seguir-se uma nova etapa, para o aperfeiçoamento profissional e a gratificação pessoal.

Ouvi meus pais e deles recebi incentivos. Seus conselhos ensinaram-me que a busca do saber ocupa o tempo, aprimora a cultura, desenvolve a inteligência, para um aperfeiçoamento pessoal e para melhor servir ao semelhante.

Quando eles falavam do meu futuro, diziam que cada oportunidade, cada experiência, cada momento deve ser aproveitado com humildade e simplicidade, cultivado com carinho, apreendido com sabedoria e guardado com inteligência, para posteriormente ensinar, divulgar e aperfeiçoar.

Obrigada meus pais, por me terem mostrado que a vida metódica torna a rotina diária uma sucessão agradável de momentos felizes, enquanto o convívio com os fatos exige a

douta sabedoria da liberdade formal, da amizade sincera e da espera alerta.

Professores do ensino básico, exemplos de dedicação, de compreensão e de paciência; moldavam cada um para que, no futuro, desenvolvesse suas potencialidades. A vocês, o meu reconhecimento.

A Universidade é o lugar privilegiado para gerar conhecimentos, produzir verdades, desenvolver pesquisas. Foi aí, em uma de nossas Universidades, a Pontificia Universidade Católica do Paraná, que mestres de talento, com largo tirocínio e sólida cultura, preocupados com a formação da juventude, ensinaram os meandros da ciência, as técnicas e os avanços tecnológicos. A cada um de meus Professores universitários, a homenagem, o respeito e a amizade, que resistirão, vitoriosamente, às provas do tempo e da distância.

A Pós-Graduação a nível de Mestrado foi o compromisso que assumi para prosseguir no aperfeiçoamento tecnológico, na ampliação e solidificação dos conhecimentos. Escolhi, na Universidade Federal do Paraná, a Morfologia como o curso para meu Mestrado, acatando sugestão do Professor Dr. Waldemiro Gremski. Fui discípula de eminentes professores, sempre preocupados com a formação acadêmica e com o estímulo à investigação, geradora do progresso. Amigos e companheiros mais experientes transmitiram seus ensinamentos, guiando-me e conduzindo-me com seus pensamentos, idéias e exemplos. Obrigada, Mestres!

Entre todos aqueles aos quais tenho gratidão, busquei na minha Orientadora geral e de Morfo-Histologia, Professora Maria de Lourdes Zanardini Camargo, o estímulo à investigação, à perfeição das técnicas de laboratório. Mentora de várias gerações de juventude, educadora exemplar, sabe, como poucos, transformar o básico, o simples e o rotineiro, em fundamental e primordial. Ao valorizar os pequenos fatos e as simples rotinas, cria substratos importantes para novos trabalhos e novos conhecimentos. Com os mais sinceros agradecimentos e respeitoso reconhecimento dirigidos à minha orientadora, sou imensamente grata por todas as lições prelecionadas, pelo calor humano e carinho com que acalma e orienta meus passos de mestranda.

Os agradecimentos são extensivos aos eminentes Professores, Dr. Waldemiro Gremski, Vice-Diretor do Setor de Ciências Biológicas, exemplo de tenacidade e competência; Dra. Maria Célia Jamur, coordenadora amiga e incentivadora; Dra. Edith Fanta, Coordenadora do Curso de Pós-Graduação em Morfologia e aos demais Professores do corpo docente do Departamento de Biologia Celular, da Universidade Federal do Paraná. O incentivo, a compreensão e o estímulo destes docentes levaram-me à conclusão do Mestrado e concederam-me a oportunidade de realizar um estágio no Laboratório do Professor Dr. James Nolan Fryer, do Departamento de Anatomia da Universidade de Ottawa (Ottawa - Canadá).

À Professora **Dra. Maura Valim do Val-Sella**, da Universidade Estadual de São Paulo, agradeço a acolhedora recepção no Departamento de Fisiologia Geral, onde tive o privilégio de frequentar o curso Sistemas Endócrinos de Peixes.

Aos colegas mestrandos, pelo estímulo e amizade perenes.

A dissertação de Mestrado, trabalho final do Curso, estava programada para desenvolver-se em histologia dos pei-

O estágio no Departamento de Anatomia da Universidade de Ottawa, Laboratório do Professor Dr. James Nolan Fryer,
fez com que aprendesse novos métodos e me interessasse pela
neuroendocrinologia do sistema neurossecretor caudal dos
peixes.

As técnicas de laboratório do Dr. James Nolan Fryer e do Dr. Karl Lederis introduziram as bases de minha pesquisa.

A permanência no referido serviço, o entusiasmo com a metodologia laboratorial e os primeiros êxitos com os resultados obtidos permitiram ao Dr. James Nolan Fryer sugerir a utilização do tema em estudo, para minha tese de Mestrado, com a qual pretendo obter o grau de Mestre em Ciências Biológicas, área de concentração Biologia Celular, no Departamento de Biologia Celular da Universidade Federal do Paraná.

A partir de então, o apoio e o entusiasmo, a orientação sábia e segura do Dr. James Nolan Fryer estiveram sempre presentes no comando de cada um dos experimentos.

Durante a realização das pesquisas e na elaboração desta tese, colaboraram:

na determinação do nível do cortisol plasmático através da técnica de radioimunoensaio: Bärbel Traynor;

nas fotografias: Ken Lawrence, Bill Elis;

na orientação do manuseio dos computadores: Lyndon Keeping, Bea Valentine, Lucy Pickavance;

na orientação e discussão da técnica imunocitoquímica:
Yanming Che;

com valiosas sugestões no desenvolvimento do trabalho e nas correções dos termos técnicos utilizados: Maxwell Hincke, Eunice Lee, Leonard Maler, Roberto Narbaitz, William Staines, Walter Hendelman, Joseph Hinke, R.M. Pelletier e Susan Tolnai, do Departamento de Anatomia da Universidade de Ottawa; Maria Célia Jamur, Paulo de Tarso Chaves, Waldemiro Gremski, do Departamento de Biologia Celular; Bento Arce Gomez, do Departamento de Genética; Romeu Schultz, do Departamento de Fisiologia; José Domingos Fontana, do Departamento de Bioquímica; Luiz Pereira Ramos, do Departamento de Química; Luiz Gonzaga Caleffe e Nelva Maria Zibetti Sganzerla, do Departamento de Estatística da Universidade Federal do Paraná;

nas referências bibliográficas e obtenção das separatas: Suzana Guimarães Castilho, da Biblioteca do Setor de Ciências da Saúde; a Equipe da Biblioteca do Setor de Ciências Biológicas da Universidade Federal do Paraná;

na correção do vernáculo: Myrian Izabel Scheffer Carneiro;

na correção do inglês, para o Summary, Philip Albert

James Gorin;

com o suporte financeiro: Coordenação do Aperfeiçoamento de Pessoal de Nivel Superior (CAPES).

A todos, meus profundos e sinceros agradecimentos.

A elaboração de um trabalho científico exige a presença e a dedicação de uma equipe.

Na equipe de serviço onde desenvolvi este experimento e meu aperfeiçoamento científico, os agradecimentos estendem-se ao Pesquisador Chefe, Professor Dr. James Nolan Fryer. Sua modéstia esconde um grande mestre, e sua humildade, um sábio pesquisador.

Sempre preocupado com a formação de outrem, sabe transformar a metodologia científica em fatos novos. Ao estimular a pesquisa, aproveita os avanços tecnológicos para melhorar os métodos científicos. Para superar problemas, busca as mais simples soluções escondidas. Para obtenção do êxito, enfeita as rotinas com o trabalho ético, o capricho, a perseverança e a ação metódica.

Minha gratidão a esse pesquisador, a esse mestre e orientador que me ensinou, aperfeiçoou e orientou no desenvolvimento do protocolo de pesquisa que se constituiu nesta tese de mestrado.

Como homenagem especial e eterna gratidão, indiquei o Professor Dr. James Nolan Fryer como meu orientador nos temas de neuroendocrinologia, imunocitoquimica e morfometria.

A arte de traduzir pensamentos em frases e a ciência de interpretar fatos e valorizar resultados foi-me ensinada pelo Professor Dr. Ivo Carlos Arnt, do Departamento de Tocoginecologia da Universidade Federal do Paraná.

A ele, um agradecimento especial, pela dedicação com que percorreu cada linha desta tese, procurando ensinar e orientar cada uma das fases da montagem editorial.

Com ele aprendi a reunir os fatos, alinhavar as frases, ajustar os parágrafos e, por fim, concluir e apresentar o texto.

Ao encerrar os termos de agradecimentos, quero registrar o reconhecimento especial e perene àqueles que me auxiliaram a ter a honra de ser admitida no Curso de Pós-Graduação a nível de Doutorado, na Escola de Pós-Graduação e Pesquisa da Universidade de Ottawa, Canadá, disciplina de Anatomia, área de especialização: Neuroendocrinologia.

SUMÁRIO

LISTA DE TABELAS	xiv
LISTA DE FIGURAS	xvi
LISTA DE ABREVIATURAS E SIGLAS	xxii
RESUMO	xxiv
SUMMARY	xxvii
OBJETIVOS	xxxi
1 INTRODUÇÃO	1
2 REVISÃO DA LITERATURA	6
2.1 Sistema neurossecretor caudal dos peixes	6
2.2 Urotensinas	14
2.2.1 Urotensina I	16
2.2.2 Urotensina II	21
2.3 Localização imunocitoquímica dos peptideos UI e	
UII	25
2.3.1 Localização imunocitoquímica da urotensina I.	25
2.3.2 Localização imunocitoquímica da urotensina II	28
2.4 Imunocitoquimica	30
2.4.1 Teste de co-localização	33
2.4.2 Teste de especificidade	34
2.5 Morfometria	35
3 MATERIAL E MÉTODOS	36
3.1 Técnicas histo-imunocitoquímicas	40
3.1.1 Teste de co-localização	46
3.1.2 Teste de especificidade	47
3.2 Morfometria	48
3.3 Avaliação quantitativa do cortisol plasmático	
por radioimunoensaio	52

4 RESULTADOS	53
4.1 Aspectos gerais do sistema neurossecretor caudal	
do Carassius auratus (L.)	54
4.2 Análise histológica e morfométrica dos neurônios	
imunorreativos à urotensina I	55
4.2.1 Peixes tratados com solução salina 0,6% (gru-	
po "A", controle)	55
4.2.2 Peixes tratados com metopirona (grupo "B")	65
4.2.3 Peixes tratados com dexametasona (grupo "C").	69
4.3 Análise histológica e morfométrica dos neurônios	
imunorreativos à urotensina II	74
4.3.1 Peixes tratados com solução salina 0,6% (gru-	
po "A", controle)	84
4.3.2 Peixes tratados com metopirona (grupo "B")	88
4.3.3 Peixes tratados com dexametasona (grupo "C").	97
4.4 Teste de co-localização	110
4.5 Teste de especificidade	110
4.6 Radioimunoensaio	119
5 DISCUSSÃO	124
5.1 Aspectos gerais do sistema neurossecretor caudal	124
5.2 Análise histológica e morfométrica dos neurônios	
imunorreativos à urotensina I e à urotensina II	126
5.3 Teste de co-localização	135
5.4 Teste de especificidade	135
5.5 Radioimunoensaio	139
CONCLUSÕES	141
6 APÊNDICE	142
REFERÊNCIAS BIBLIOGRÁFICAS	143

LISTA DE TABELAS

1	zado com Carassius auratus (L.)	38
II	Dados gerais das amostras de Carassius au- ratus (L.)	39
III	Análise morfométrica das áreas das células neurossecretoras imunorreativas à urotensina I (pericários e núcleos)	63
IV	Análise estatística das áreas dos pericários neurossecretores imunorreativos à urotensina I. Comparação dos grupos "A" e "B"	71
V	Análise estatística das áreas dos núcleos neurossecretores imunorreativos à urotensina I. Comparação dos grupos "A" e "B"	72
VI	Análise estatística das áreas dos pericários das células neurossecretoras imunorreativas à urotensina I. Comparação dos grupos "A" e "B"	73
VII	Análise estatística das áreas dos núcleos das células neurossecretoras imunorreativas à urotensina I. Comparação dos grupos "A" e	
	"C"	75
VIII	Análise morfométrica das áreas das células neurossecretoras imunorreativas à urotensina	
	II (pericários e núcleos)	86
IX	Análise morfométrica das áreas das células neurossecretoras imunorreativas à urotensina	

87	II que contactam o fluido cerebrospinal (pericários e núcleos)	
92	Análise estatística das áreas dos pericários neurossecretores imunorreativos à urotensina II. Comparação dos grupos "A" e "B"	
9 4	Análise estatística das áreas dos núcleos das células neurossecretoras imunorreativas à urotensina II. Comparação dos grupos "A" e "B"	
99	Análise estatística das áreas dos pericários neurossecretores imunorreativos à urotensina II que contactam o fluido cerebrospinal. Comparação dos grupos "A" e "B"	>
101	Análise estatística das áreas dos núcleos das células neurossecretoras imunorreativas à urotensina II que contactam o fluido cerebrospinal. Comparação dos grupos "A" e "B"	XI
104	Análise estatística das áreas dos pericários neurossecretores imunorreativos à urotensina II. Comparação dos grupos "A" e "C"	>
105	Análise estatística das áreas dos núcleos das células neurossecretoras imunorreativas à urotensina II. Comparação dos grupos "A" e "C"	
108	Análise estatística das áreas dos pericários neurossecretores imunorreativos ã urotensina II que contactam o fluido cerebrospinal. Comparação dos grupos "A" e "C"	3
	Análise estatística das áreas dos núcleos das células neurossecretoras imunorreativas à urotensina II que contactam o fluido cere-	ľΧ
109	brospinal. Comparação dos grupos "A" e "C"	

LISTA DE FIGURAS

1	Diagrama representativo das relações mútuas en-	
	tre os fatores que influenciam o resultado fi-	
	nal de um processo de reação imunocitoquímica.	3
2	Ilustração esquemática do sistema nervoso cen-	
	tral de um teleósteos típico, segundo LEDERIS	
	(1984)	9
3	Comparação da sequência de aminoácidos da uro-	
	tensina I (UI) de Cyprinus carpio, hormônio	
	liberador de corticotropina (HLC) e ovino e	
	da sauvagina (SVG) da pele do sapo	18
4	Comparação da sequência de aminoácidos dos seis	
	peptidios UII conhecidos e da somatostatina-14.	22
5	Aspectos macroscópicos de um exemplar adulto	
	de Carassius auratus (L.)	37
6	Representação esquemática dos 7 cortes seriados	
	utilizados para reações imunocitoquímicas e pa-	
	ra os testes de especificidade de um peptídio	
	com o anti-soro específico	43
7	Representação esquemática dos 10 cortes para-	
	lelos e adjacentes numerados em seqüência al-	
	ternada, gradualmente crescente, utilizados pa-	
	ra pesquisa de co-localização da UI-ir e/ou da	
	UII-ir, em quatro lâminas separadas	44
8	Microscópio composto Zeiss com uma câmara cla-	
	ra acoplada	49

9	Aspectos do conjunto eletrônico utilizado para medição dos neurônios imunorreativos e análise	
	dos resultados	51
10	Corte histológico sagital do sistema neuros- secretor caudal de C. auratus do grupo "A". Teste imunocitoquímico para UI	56
11	Corte histológico sagital da urófise de C. au- ratus do grupo "A". Teste imunocitoquímico pa- ra UI	57
12	Corte histológico sagital da região caudal da medula espinhal de C. auratus do grupo "A", incluindo parte do sistema neurossecretor caudal. Teste imunocitoquímico para UI	58
13	Corte histológico sagital de parte da medula espinhal de C. auratus do grupo "A". Teste imunocitoquímico para UI	60
14	Detalhe de um corte histológico sagital da re- gião caudal da medula espinhal de C. auratus do grupo "A". Teste imunocitoquímico para UI .	61
15	Aspecto parcial de um corte histológico sagital da região caudal da medula espinhal de C. auratus do grupo "A". Teste imunocitoquímico para UI	62
16	Área dos pericários secretores de UI-ir dos C. auratus do grupo "A"	64
17	Área dos núcleos de neurônios secretores de UI-ir dos C. auratus do grupo "A"	64
18	Área dos pericários secretores de UI-ir dos C. auratus do grupo "B"	66
19	Área dos núcleos de neurônios secretores de	6.6

20	Média das áreas dos pericários secretores de UI-ir dos C. auratus tratados com solução salina 0,6% (grupo "A"); metopirona (grupo "B")	67
21	e dexametasona (grupo "C")	67
22	Area dos pericários secretores de UI-ir dos C.	68
22	auratus do grupo "C"	70
23	Área dos núcleos de neurônios secretores de UI-ir dos C. auratus do grupo "C"	70
24	Corte histológico sagital próximo da linha mediana da porção caudal da medula espinhal de C. auratus do grupo "A". Teste imunocitoquímico para UII	76
25	Corte histológico sagital da medula espinhal de C. auratus do grupo "A", mostrando diferentes populações celulares. Teste imunocitoquímico para UII	77
26	Detalhe de um corte histológico sagital da medula espinhal de C. auratus do grupo "A", mostrando os neurônios secretores imunorreativos à UII pequenos. Teste imunocitoquímico para UII	79
27	Detalhe de um corte histológico sagital da medula espinhal de C. auratus do grupo "A", mostrando as células Dahlgren imunorreativas à UII, de tamanho médio. Teste imunocitoquímico	80
28	Aspecto dos pericários grandes da região caudal da medula espinhal de C. auratus do grupo "A"; corte histológico sagital. Teste imunocitada para UTI	80
29	toquímico para UII	01

	mostrando celulas neurossecretoras que contac- tam o fluido cerebrospinal. Teste imunocito-	
	químico para UII	82
30	Aspecto de um corte histológico sagital, mostrando os pericários parvo e magnocelulares imunorreativos à UII que contactam o fluido cerebrospinal de C. auratus do grupo "A". Teste imunocitoquímico para UII	83
31	Área dos pericários secretores de UII-ir dos C. auratus do grupo "A"	85
32	Área dos núcleos de neurônios secretores de UII-ir dos C. auratus do grupo "A"	85
33	Área dos pericários dos neurônios que contactam o fluido cerebrospinal secretores de UII-ir dos C. auratus do grupo "A"	89
34		89
35	Área dos pericários secretores de UII-ir dos C. auratus do grupo "B"	90
36	Área dos núcleos de neurônios secretores de UII-ir dos C. auratus do grupo "B"	90
37	Média das áreas dos pericários secretores de UII-ir dos C. auratus tratados com solução salina 0,6% (grupo "A"); metopirona (grupo "B")	0.2
20	e dexametasona (grupo "C")	93
38	Média das áreas dos núcleos de neurônios secretores de UII-ir dos C. auratus tratados com solução salina (0,6%) (grupo "A"); metopiro-	
	na (grupo "B") e dexametasona (grupo "C")	95
39	Área dos pericários dos neurônios que contactam o fluido cerebrospinal secretores de UII-ir	
	dos C. auratus do grupo "B"	96

40	Área dos núcleos de neurônios que contactam o fluido cerebrospinal secretores de UII-ir dos	
	C. auratos do grupo "B"	96
41	Média das áreas dos pericários dos neurônios	
	que contactam o fluido cerebrospinal secreto-	
	res de UII-ir dos C. auratus tratados com so-	
	lução salina 0,6% (grupo "A"); metopirona (gru-	
	po "B") e dexametasona (grupo "C")	98
42	Méida das áreas dos núcleos dos neurônios que	
	contactam o fluido cerebrospinal secretores de	
	UII-ir dos C. auratus tratados com solução sa-	
	lina 0,6% (grupo "A"); metopirona (grupo "B")	
	e dexametasona (grupo "C")	100
43	Área dos pericários secretores de UII-ir dos	
	C. auratus do grupo "C"	102
44	Área dos núcleos de neurônios secretores de	
	UII-ir dos C. auratus do grupo "C"	102
45	Área dos pericários dos neurônios que contac-	
	tam o fluido cerebrospinal secretores de UII-ir	
	dos C. auratus do grupo "C"	107
46	£rea dos núcleos de neurônios que contactam o	
	fluido cerebrospinal secretores de UII-ir dos	
	C. auratus do grupo "C"	107
47	Neurônios secretores da região caudal da medu-	
	la espinhal de C. auratus do grupo "A"; corte	
	histológico sagital. Teste de co-localização	
	com o anti-soro UI	111
48	Células neurossecretoras da região caudal da	
	medula espinhal de C. auratus do grupo "A";	
	corte histológico sagital. Teste de co-locali-	
	zação com o anti-soro UII	112
49	Corte histológico sagital da região caudal da	
	medula espinhal de C. auratus do grupo "A".	
	Teste de especificidade com UI (anti-soro)	114

50	Corte histológico sagital da região caudal da medula espinhal de C. auratus do grupo "A". Teste de especificidade com UI (peptídio) + UI (anti-soro)	115
51	Corte histológico sagital da região caudal da medula espinhal de C. auratus do grupo "A". Teste de especificidade com HLC (peptídio) + UI (anti-soro)	116
52	Corte histológico sagital da região caudal da medula espinhal de C. auratus do grupo "A".	117
53	Teste de especificidade com UII (anti-soro) Corte histológico sagital da região caudal da medula espinhal de C. auratus do grupo "A". Teste de especificidade com UII (peptídio) +	
54	UII (anti-soro)	118
55	Nível médio de corticóide no plasma sanguíneo de C. auratus tratados com solução salina 0,6% (grupo "A"); metopirona (grupo "B") e dexame-	
	tasona (grupo "C")	122

LISTA DE ABREVIATURAS E SIGLAS

ABC	Complexo avidina-biotina-peroxidase
	("Avidin-biotin-peroxidase complex")
ACTH	Hormônio adrenocorticotrópico
Ala	Alanina
Arg	Arginina
Asn	Asparagina
Asp	Acido aspártico
°C	Temperatura em graus centígrados
CAPES	Coordenação do Aperfeiçoamento de Pessoal de Nivel
	Superior
Co.	"Cooperation"
Gln	Glutamina
Glu	Ácido glutâmico
Gly	Glicina
HLC	Hormônio liberador de corticotropina
HRP	"Horseradish peroxidase"
¹²⁵ I	Iodo radioativo
Ile	Isoleucina
Leu	Leucina
Lys	Lisina
Met	Metionina
Mfa.	"Manufacturing"

- N Tamanho da amostra
- NH₂ Resíduo amino-terminal ou resíduo N-terminal
 - p Nível de probabilidade
- PAP Peroxidase-anti-peroxidase
- PBS Solução salina tamponada com fosfato ("Phosphate buffered saline")
- Pro Prolina
- Ser Serina
- SVG Sauvagina
 - t Teste t de "Student"
- Thr Treonina
- Trp Triptofano
 - UI Urotensina I
- UI-ir Urotensina I-imunorreativa
 - UII Urotensina II
- UII-ir Urotensina II-imunorreativa
 - Val Valina
 - V.P. Via peritoneal

RESUMO

Em 36 espécies de Carassius auratus (L.) estudou-se a porçao caudal da medula espinhal.

Os peixes, separados em três grupos de 12 exemplares, foram tratados diariamente, durante seis dias, com injeções via peritoneal de 100 µl de diferentes drogas: solução salina 0,6% (grupo controle, grupo "A"); metopirona (grupo "B"); dexametasona (grupo "C").

A imunocitoquímica com anti-soro urotensina I de Catos tomus commersoni e urotensina II de Gillichthys mirabilis, combinada com análise morfométrica computadorizada, foram utilizadas para investigar a ação do nível de corticóide sobre os neurônios imunorreativos a urotensina I (UI-ir) e a urotensina II (UII-ir) do sistema neurossecretor caudal do peixe dourado.

Ao microscópio óptico, verificou-se que os neurônios se cretores imunorreativos à UI agrupavam-se em duas populações: cé lulas neurossecretoras pequenas (parvocélulas) e neurônios imunorreativos de maior tamanho (magnocélulas). A análise morfométrica mostrou que, nos peixes tratados com metopirona, as áreas das superfícies celulares e nucleares das células neurossecreto ras imunorreativas à UI diminuíram significativamente, em relação ao grupo controle. Ao contrário, nos exemplares tratados com dexametasona, os resultados apresentaram um aumento signi-

ficativo das áreas celulares e nucleares.

Os cortes histológicos também apresentaram imunorreatividade com UII e foram identificados três grupos celulares: células neurossecretoras pequenas, de tamanho intermediário e grandes. Em células pequenas e grandes, fortemente imunorreativas à UII, observaram-se algumas ramificações dendríticas bulbares que, atravessando as células do revetimento do canal central, entram em contacto com o fluido cerebrospinal.

A análise morfométrica mostrou que as áreas dos neuronos imunorreativos à UII que não contactam o fluido cerebrospinal e de seus núcleos, diminuíram significativamente após o tratamento com metopirona. Porém, as injeções de dexemetasona não determinaram alterações significativas no pericário e núcleo das células neurossecretoras de UII-ir que não contactam o fluido cerebrospinal, dos peixes do grupo "C". Somente nas células que contactam o fluido cerebrospinal, o aumento da área dos neuronios e de seus núcleos foi significativo, nos exemplares deste grupo.

A imunorreação obtida em cortes adjacentes tratados com anti-soros para UI e UII revelou a possibilidade da co-exixtên-cia de UI-ir e UII-ir em um mesmo neurônio. Todas as células neurossecretoras apresentaram imunorreatividade para UII. A co-localização de imunorreatividade para UI e para UII foi observada em alguns pericários neurossecretores. Não foram notadas células neurossecretoras contendo imunorreatividade para UI, somente.

Nos peixes submetidos a tratamento com metopirona, os níveis de cortisol do plasma sanguíneo estavam significativamente elevados, quando comparados com aqueles que receberam inje-

ções de dexametasona; nestes, o cortisol plasmático mostrou níveis muito baixos, ou até não detectaveis.

Esses resultados demonstram que os hormônios adrenocor ticosteróides influenciam a atividade secretora do sistema neurossecretor caudal do peixe dourado e sugerem que os hormônios adrenocorticosteróides promovem a secreção seletiva de UI, mas não de UII.

Novas investigações serão necessárias para determinar se os hormônios adrenocorticosteróides influenciam a secreção de UI diretamente por ação sobre as células Dahlgren, ou indiretamente alterando processos fisiológicos, como a osmorregulação, que é, por sua vez, regulada pela UI.

SUMMARY

The caudal spinal cord was dissected from 36 specimens of Carassius auratus (L.) and studied.

Fish were divided into three groups, with 12 specimens per group. Each group received a 6 day treatment involving peritoneal injections of $100\,\mu$ l saline 0.6% (control group), metopirone or dexamethasone.

Immunocytochemical investigations with an antiserum to Catostomus commersoni urotensin I and Gillichthys mirabilis urotensin II, combined with computor-assisted morphometric analysis were used to assess the effects of corticoid status on urotensin I-immunoreactive (UI-ir) and urotensin II-immunoreactive (UII-ir) on neurons of the goldfish neurosecretory system.

Light microscopy revealed that UI-ir neurons were distributed in two populations: small (parvocellular) neurosecretory cells and large (magnocellular) secretory neurons. Morphometric analysis revealed, with fish treated with metopirone, significant decreases in both cellular and nuclear areas of the UI-ir cells, compared with those of the control group. In contrast with the results obtained with metopirone, dexamethasone administration resulted in significant increases in both cellular and nuclear area of UI-ir neurons.

Histological sections also demonstrated immunoreactiv $\underline{\underline{\textbf{i}}}$

ty with the UII antiserum and indicated the presence of three different cell groups, namely small-, medium- and large-sized perikarya. Some small and large strongly UII-ir neurons gave rise to bulbous dendrite-like processes that were in contact with the cerebrospinal fluid.

Morphometric analysis indicated with fish treated with metopirone, significant decreases in both cellular and nuclear areas of the cerebrospinal fluid contacting UII-ir cells. However, dexamethasone injections did not give rise to significant variations in perikarya and nuclear areas of UII-ir cells that did not contact with cerebrospinal fluid. The cerebrospinal fluid contacting cells of fish receiving dexamethasone revealed significant increases in cellular and nuclear areas.

Immunocytochemistry on adjacent sections treated with UI or UII antiserum indicated the possibility of co-existence of UI-ir and UII-ir in the same neuron. All neurosecretory cells contained UII immunoreactivity. A colocalization of UII- and UI-immunoreactivities was observed in many, but not all of the neurosecretory perikarya. No neurosecretory cells contained UI-immunoreactivity only.

Metopirone treated goldfish showed a significant in - crease of plasma cortisol levels, in contrast with fish treated with dexamethasone which had low or undetectable levels of cortisol.

These results demonstrate that adrenocorticosterois hommones influence the secretory activity of the goldfish caudal neurosecretory system and suggest that adrenocorticosteroid hommones promote the selective secretion of UI, but not of UII.

Further investigations will be required to determine if xxviii

adrenocorticosteroid hormones influence the secretion of UI directly by actions on Dahlgren cells or indirectly by altering physiological processes (i.e., osmoregulation) which are in turn regulated by UI.

Em vez de lamentar a juventude universitária, saibamos dar-lhe ânimo, ensinando-lhe o caminho da ciência e da verdade. E, a juventude sabe agradecer com uma resposta surpreendente... Elvio CLEMENTE

OBJETIVOS

- * Demonstrar a ocorrência e a localização dos neurônios que elaboram urotensina I e urotensina II no sistema neurossecretor caudal de *Carassius auratus*
- * Investigar a possibilidade de co-localização dos neuropeptídios urotensina I e urotensina II no sistema neurossecretor caudal de *Carassius auratus*
- * Determinar se a atividade secretora dos pericários que elaboram urotensina I e urotensina II é influenciada pelos hormônios adrenocorticosteróides

1 INTRODUÇÃO

Os peixes, vertebrados primitivos (ORR, 1986), apresentam características especiais em seu sistema nervoso e neuroendócrino, que permitem importantes pesquisas neurobiológicas (ARNT et alii, 1990; BERN & LEDERIS; 1969; BERN et alii, 1985; COHEN & KRIEBEL, 1989; FALKMER et alii, 1984; FRIDBERG & BERN, 1968; FRYER & BOUDREAULT-CHÂTEAUVERT, 1981, 1985; FRYER et alii, 1988; KOBAYASHI et alii, 1986a; KRIEBEL et alii, 1985; LEDERIS et alii, 1974; PETER & FRYER, s.d.).

Os teleósteos, exceto os peixes integrantes das famílias Molidae, Sygnothidae e Muraenidae (FRIDBERG, 1962), apresentam neurônios secretores especiais, descritos por DAHLGREN (1914), que estendem seus axônios a uma expansão caudal (ENAMI, 1955) conhecida como urófise (HOLMGREN, 1959). O conjunto formado pelas células neurossecretoras, seus axônios e pela urófise produz, armazena e libera neuro-hormônios, entre eles, urotensina I (UI) (ICHIKAWA et alii, 1982) e urotensina II (UII) (BERN et alii, 1973), formando um verdadeiro sistema endócrino (sistema neurossecretor caudal)(ENAMI, 1955).

O sistema neurossecretor caudal dos teleósteos possui vários circuitos sinápticos locais, circundados por densa

rede capilar, com importantes funções neurofisiológicas e neuroendócrinas (MORITA et alii, 1961).

As técnicas imunocitoquímicas influenciaram profundamente o desenvolvimento da neurobiologia, nos últimos dois decênios.

As reações imunocitoquímicas são específicas e a específicidade depende da valorização dos fatores (fig. 1) que influenciam o resultado final dessas reações. Uma das condições para a específicidade é a prova de que a substância em investigação, no tecido, é realmente imunorreativa a um antisoro puro específico (POOL et alii, 1982).

Testes de especificidade permitem a comprovação de uma imunorreação e demonstram, como resultado, a localização de um determinado antígeno, em um dado tecido, por estímulo de um anti-soro específico. Assim, o emprego das reações imunocitoquímicas tornou-se um dos mais poderosos instrumentos para identificar os transmissores específicos dos neurônios (COHEN & KRIEBEL, 1989; MACMILLAN & CUELLO, 1986), bem como as enzimas biossintéticas (GEFFEN, 1982), ou estudar novos neuropeptídios (BERN et alii, 1985; LEDERIS et alii, 1985b, 1987).

A presença dos peptídios urotensina I-imunorreativa (UI-ir) e urotensina II-imunorreativa (UII-ir) nas células do sistema neurossecretor caudal da medula espinhal, de espécimens de Carassius auratus (L.), é pesquisada neste experimento. Essa espécie, conhecida como peixe dourado ("goldfish"), é o teleósteo mais investigado quanto à regulação neu-

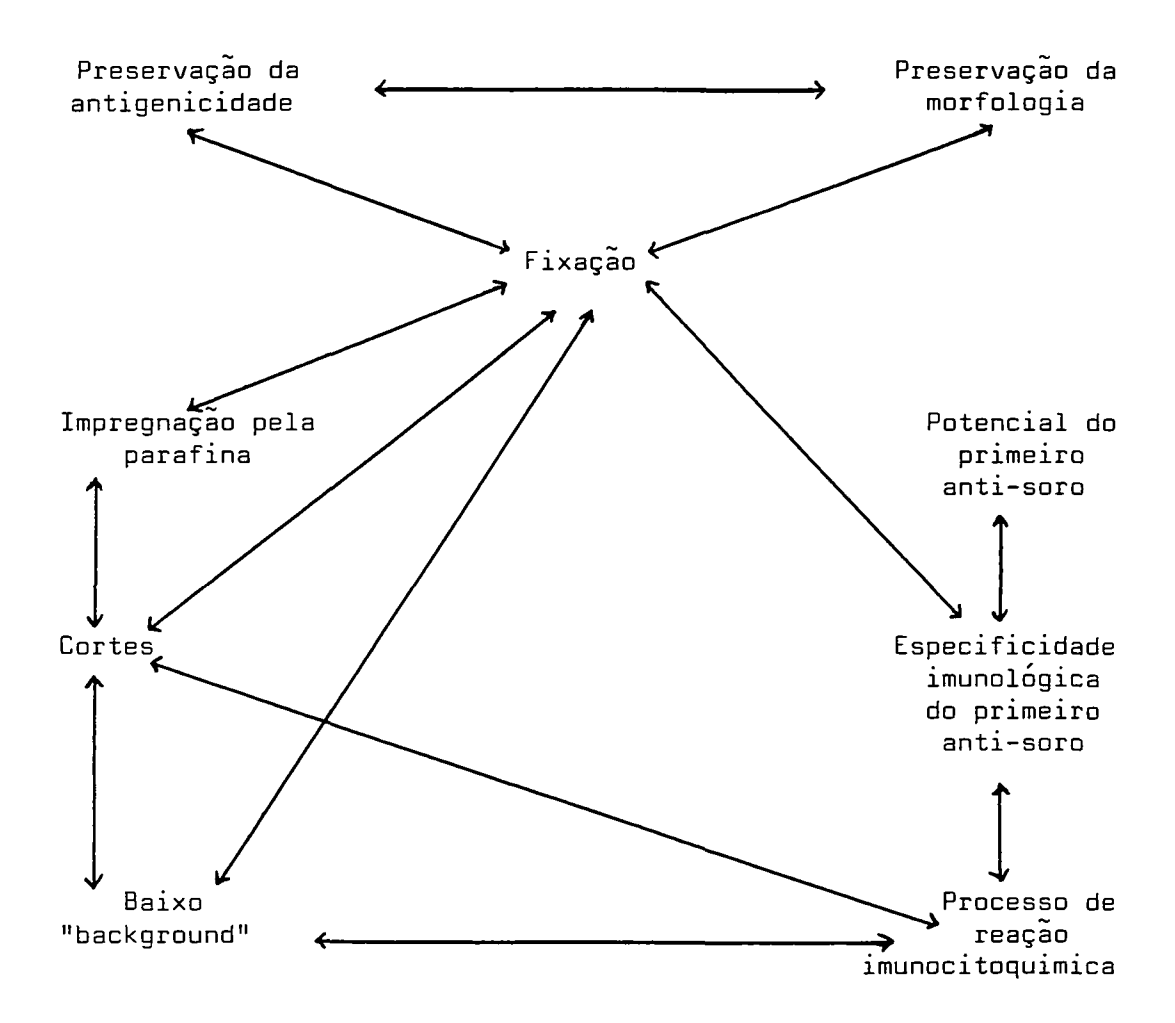


Figura 1. Diagrama representivo das relações mútuas entre os fatores que influenciam o resultado final de um processo de reação imunocitoquímica.

roendócrina e neurofisiológica (FRYER, 1981, 1989; FRYER & BOUDREAULT-CHÂTEAUVERT, 1981; FRYER et alii, 1984, 1985a; FRYER & LEUNG, 1982; ICHIKAWA et alii, 1982, 1984, 1988; KOBAYASHI et alii, 1986b; MAETZ et alii, 1963; McMASTER & LEDERIS, 1988; MIDDLEBROOK & FRYER, 1984; YAMADA et alii, 1985, 1988; YULIS & LEDERIS, 1986b, 1987, 1988b).

O protocolo experimental desta investigação imunocitoquímica e morfométrica realizada no peixe dourado, visa demonstrar e avaliar a atividade secretora dos neurônios da medula espinhal caudal que elaboram UI e UII de um grupo controle de peixes. Em outros dois grupos distintos de Carassius auratus, a atividade secretora dos neurônios da medula espinhal caudal que produzem UI e UII, será observada direta e indiretamente por imunorreações e pela morfometria, após administração de metopirona e dexametasona. A influên cia desses fármacos no nível de corticóide do plasma sanguíneo será estimada por técnica de radioimunoensaio.

A presença dos neuropeptidios UI-ir e UII-ir em um mesmo corte será investigada pelas observações dos preparados imunocitoquímicos, em cortes seriados adjacentes, através de testes de co-localização.

Segundo PETER & FRYER (s.d.), a regulação dos mecanismos fisiológicos e neuroendócrinos que elaboram, armazenam e liberam neuro-hormônios ou neurotransmissores depende de impulsos e estímulos centrais e periféricos. Estímulos físicos, químicos ou físico-químicos, de qualquer ordem, podem excitar os sensores externos ou internos de um animal, pro-

vocando respostas em seus mecanismos de regulação neuroendócrina.

Os fármacos metopirona e dexametasona (CARNES et alii, 1987; REBAR, 1986), agindo como estímulos químico-farmacológicos, interferem no eixo hipotálamo-hipófise-adrenal, per mitindo estudar e avaliar os efeitos diretos e indiretos das alterações neuro-hormonais sobre a atividade secretora dos neurônios do sistema neurossecretor caudal.

Os estudos imunocitoquímicos realizados em tecidos do sistema nervoso e endócrino de vertebrados superiores e inferiores, têm significativa impotância biomédica (KOBAYASHI et alii, 1986b).

O entendimento dos processos endócrinos dos vertebrados inferiores, tem provido informações fundamentais para a compreensão dos sistemas de mamíferos. O aparente conserva - cionismo no aspecto anatômico da maioria dos sistemas neu - rossecretores do cérebro dos vertebrados, sugere que os animais não mamíferos são, em geral, modelos apropriados para investigação.

A compreensão das alterações evolutivas na escala zoológica com o conhecimento dos mecanismos e funções originais de um organismo, como por exemplo, o mecanismo de regulação neurofisiológica e a fisiologia neuroendócrina em vertebrados inferiores, tornará mais fácil a compreesão e a
interpretação desses fenômenos nos vertebrados superiores.

Quando se conhece mais da história filogenética e ontogênica de cada espécie, pode-se conseguir um entendimento mais profundo do maravilhoso mundo animal.

2 REVISÃO DA LITERATURA

2.1 SISTEMA NEUROSSECRETOR CAUDAL DOS PEIXES

ARSAKY (1813) observou em alguns peixes, pela primeira vez, a presença de um alargamento na região caudal da medula espinhal, o qual foi descrito anatomicamente por diferentes biólogos do século XIX e do início deste século (VERNE, 1914; FAVARO, 1925).

Mais tarde, DAHLGREN (1914), trabalhando com onze espécies de raia (Rajidae), descreveu a presença de células grandes, com características secretoras, na região caudal da medula espinhal. Essas células foram relacionadas, pelo mesmo, com o sistema elétrico dessas espécies.

A presença de grânulos eosinófilos, reunidos densamente ao redor dos vasos sanguíneos do alargamento caudal da medula espinhal, foi observada por VERNE (1914) em onze espécies de teleósteos. Ele relacionou o alargamento caudal da medula espinhal dos teleósteos com o lobo neural da hipófise dos vertebrados superiores, uma vez que algumas células desta região eram consideradas secretoras de neuro-hormônios.

SPEIDEL (1919) observou que a raia adulta, Raia ocellata, apresenta 120 vértebras. As células neurossecretoras, em número próximo a 600, são encontradas ao longo da medula espinhal, a partir da sexagésima vértebra, até o final da região caudal. No mesmo experimento, o autor descreveu função secretora para as células descobertas por DAHLGREN (1914), contrariando as conclusões deste pesquisador.

Mais tarde, SPEIDEL (1922) relatou função secretora de algumas células do sistema nervoso e confirmou a presença de células neurossecretoras caudais em 30 espécies de peixes entre teleósteos, elasmobrânquios e ganóides, designando-nas como células Dahlgren.

FAVARO (1925) descreveu a expansão da parte caudal da medula espinhal da maioria dos teleósteos como sendo saciforme, e a considerou um órgão endócrino.

Trinta anos mais tarde, ENAMI (1955), em pesquisas realizadas na enguia japonesa, Anguilla japonica, demonstrou que as células Dahlgren apresentam ligação, através de seus axônios, com o alargamento caudal (órgão de armazenamento e liberação de material neurossecretor), designando esse conjunto como sistema neurossecretor caudal.

ENAMI (1955) notou que, em relação ao tamanho, é possível distinguir duas ou três classes de células: pequenas, intermediárias e grandes, em várias espécies de teleósteos (FRIDBERG, 1962, 1963; FRIDBERG & BERN, 1968; BERN & LEDERIS, 1978; KRIEBEL et alii, 1979; YAMAMOTO, 1979; OWADA et alii, 1985a; KOBAYASHI et alii, 1986b; ARNT et alii, 1990).

No mesmo ano, ENAMI (1955), realizando um corte no sistema neurossecretor, próximo à urófise, observou que a área se regenera no local da lesão e as células neurossecretoras próximas sobrevivem (FRIDBERG et alii, 1966).

O alargamento terminal da medula espinhal foi denominado de <u>urófise</u>, após várias discussões etimológicas (HOLM-GREN, 1959; SANO, 1961; FRIDBERG, 1962, 1963; BERN et alii, 1967; BERN, 1969; BERN & LEDERIS, 1978). Por outro lado, a designação de sistema neurossecretor caudal (fig. 2) foi confirmada, face aos resultados de investigações anatômicas e histológicas, realizadas por HOLMGREN (1959), SANO (1961), FRIDBERG (1962, 1963); KRIEBEL et alii (1979), LEDERIS (1984); e pesquisas farmacológicas, fisiológicas e químicas, realizadas por KOBAYASHI et alii (1968); BERN & LEDERIS (1969, 1978), LEDERIS (1970, 1984), ZELNICK & LEDERIS (1973), LEDERIS et alii (1974).

Segundo observações de ENAMI (1959), a maioria dos peixes teleósteos estudados apresenta sistema neurossecretor caudal semelhante (fig. 2) (SANO & KAWAMOTO, 1959; BENNETT & FOX, 1962; FRIDBERG, 1962, 1963; HOMANA, 1962; ISHIBASHI, 1962; STERBA, 1962; PEYROT, 1964; SANO, 1965; SANO et alii, 1966; BERN et alii, 1967, 1985; FRIDBERG & BERN, 1968; HOMNA & TAMURA, 1967; BERN, 1969; YAMAMOTO, 1979; LEDERIS, 1984; OWADA et alii, 1985a; ARNT et alii, 1990).

Conforme SANO & KAWAMOTO (1959), nas regiões onde há maior quantidade de células Dahlgren está presente rica rede vascular e capilar, o que faz prever importante atividade

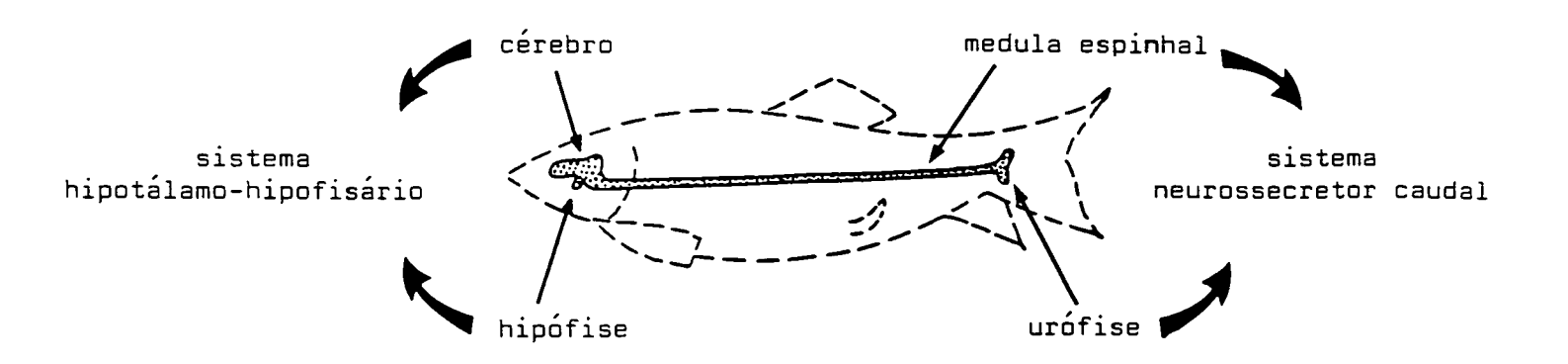


Figura 2. Ilustração esquemática do sistema nervoso central de um teleósteo típico, segundo LEDERIS (1984).

metabólica e hormonal. Estes pesquisadores demonstraram que a urófise também é ricamente vascularizada. KOBAYASHI et alii (1986b) afirmam que os axônios das células neurossecretoras terminam nos capilares.

Segundo SANO (1961, 1965), as células Dahlgren grandes da região caudal, do sistema neurossecretor dos teleósteos, parecem ser derivadas dos neuroblastos, enquanto as células neurossecretoras menores, localizadas na região dorsal, parecem derivar-se dos asteroblastos. Este pesquisador observou que a diferenciação da urófise ocorre em diferentes momentos da fase final do desenvolvimento larval, variando de espécie para espécie.

O desenvolvimento da urófise em diferentes espécies de peixes tem sido motivo de profundas pesquisas realizadas por BERN et alii (1967); FRIDBERG & BERN (1968), BERN (1969).

FRIDBERG (1962) e OWADA et alii (1985b) demonstraram, através de experimentos realizados em elasmobrânquios, que as células neurossecretoras caudais diminuem de tamanho à medida que se aproximam da porção terminal da medula espinhal nesses peixes.

Os peixes das famílias Molidae, Sygnathidae e Muraenidae não possuem o sistema neurossecretor caudal (FRIDBERG,
1962). HAMANA (1962), porém, demonstrou que, fugindo à regra, duas espécies da família Muraenidae, Gymnothorax kidako
e G. hepatica, possuem o sistema, mas a urófise é achatada.

BENNETT & FOX (1962) chamam atenção para a complexidade e a intensidade da inervação do sistema neurossecretor

caudal, e sugerem importante desempenho fisiológico para o sistema (ISHIBASHI, 1962; SANO et alii, 1966; LEDERIS et alii, (1985b; BERN et alii, 1985).

STERBA (1962), através de estudos em microscopia eletrônica, concluiu que a morfologia ultra-estrutural das células neurossecretoras caudais é semelhante à das células neurossecretoras em geral. Os grânulos neurossecretores maduros emanam do aparelho de Golgi para o citoplasma e são transportados à urófise, pelo axônio. O axônio apresenta microtúbulos e mitocôndrias e, ao terminar na urófise, contêm grânulos neurossecretores eletrodensos, com hormônios urofisários e pequenas estruturas sinápticas semelhantes a vesículas, possivelmente ricas em acetilcolina (FRIDBERG & BERN, 1968; KOBAYASHI et alii, 1986b).

FRIDBERG (1963) realizou estudos em elasmobrânquios e teleósteos. Naqueles, encontrou feixes neurossecretores, semelhantes ao axônio dos peixes ósseos, que seguiam ventral e lateralmente o canal central, para terminar na área vascular da urófise, o que mais tarde foi confirmado por FRIDBERG & BERN (1968). No mesmo experimento, FRIDBERG (1963) observou que os pericários das células Dahlgren dos teleósteos localizam-se nas porções ventral e lateral do canal central da medula espinhal caudal, entre a quinta e a oitava vértebras terminais (KRIEBEL et alii, 1979; LEDERIS, 1984; BERN et alii, 1985; KOBAYASHI et alii, 1986b).

PEYROT (1964) verificou que nos elasmobrânquios os pericários neurossecretores são muito grandes e distribuem-se ao longo da medula espinhal.

SANO et alii (1966) observaram que os neurônios secretores dos teleósteos possuem axônios, geralmente desmielinizados, que se estendem em direção à urófise. Este fato é citado também por FRIDBERG et alii (1966), BERN & LEDERIS (1978), KRIEBEL et alii (1979), YAMAMOTO (1979), OWADA et alii (1985a), KOBAYASHI et alii (1986b).

FRIDBERG et alii (1966) afirmaram que algumas espécies de teleósteos têm a capacidade de transformar células ependimais em células neurossecretoras, no período de regeneração, mesmo ocorrendo a total extirpação do sistema neurossecretor caudal.

Os mesmos autores, examinando eletromicroscopicamente células da glia, em **Pomilodus aestivalis**, apontaram algumas similaridades com as células do lobo neural da hipófise, o que mais tarde foi confirmado por KRIEBEL **et alii** (1979).

HONMA & TAMURA (1967) estudaram a irrigação sanguínea, a partir da última vértebra da porção caudal da medula espinhal e da urófise em teleósteos, e observaram características especiais: o sangue arterial, que circula nas artérias existentes entre as células dorsais, após percorrer várias ramificações, forma um plexo vascular em torno da urófise. Os capilares drenam o sangue para vasos mais espessos que se ramificam e levam o sangue venoso, através da veia caudal, até a veia porta renal.

A descrição histológica dos neurônios secretores caudais foi realizada por FRIDBERG & BERN (1968). Eles identificaram células com pericário grande e polimorfo, geral-

mente corado pelos corantes ácidos, com exceção de um pequeno número de células basófilas e cromófobas.

FRIDBERG & BERN (1968) comentam que a presença de células da glia é pouco frequente na porção caudal da medula espinhal dos peixes ósseos.

Não há evidência da presença de células neurossecretoras na medula espinhal de tetrápodes (BERN, 1969).

PEARSON et alii (1980), estudando a porção caudal da medula espinhal de peixes ósseos, verificaram que algumas células Dahlgren apresentam dendrites que podem atingir o canal central e, assumindo a forma bulbosa, contactam o líquido cerebrospinal. Essas observações foram confirmadas, mais tarde, por OWADA et alii (1985a), YULIS & LEDERIS (1986b, 1988b), LEDERIS & YULIS (1987).

KRIEBEL et alii (1985) notaram que o sistema neurossecretor caudal dos teleósteos é ricamente inervado por feixes aminérgicos e, ocasionalmente, colinérgicos e peptidérgicos, oriundos do cérebro, e que alguns circuitos sinápticos locais também estão presentes.

Entre as espécies de teleósteos estudadas por KOBAYASHI et alii (1986b), a urófise apresentou peso entre 0,04 e 0,54 mg por 100 g de peso corporal.

2.2 UROTENSINAS

Segundo ENAMI (1959), o sistema neurossecretor caudal dos teleósteos é capaz de armazenar e secretar neuro-hormônios (BERN & LEDERIS, 1969).

Para MAETZ **et alii** (1963), a urotensina III é estimulador de Na⁺ nos peixes.

BERN et alii (1967) afirmam que a urotensina IV é indistinguível da arginina vasotocina, e está presente somente em poucas espécies de teleósteos. A urotensina IV age no mecanismo de retenção de água dos anfíbios (ICHIKAWA et alii, 1984).

Para LEDERIS (1969), BERN et alii (1985), as urofisinas, conjunto de proteinas putativas, livres de cisteína, análogas a neurofisinas, apresentam relações biogenéticas com as urotensinas, ainda não bem estabelecidas.

Os pesquisadores MUNEKATA et alii (1981), ICHIKAWA et alii (1984), LEDERIS (1984), McMASTER et alii (1984, 1986), BERN et alii (1985), estudando a urotensina II, peptídio de 12 aminoácidos, parcialmente homóloga e parcialmente análoga à somatostatina-14, observaram que ela participa na contração da musculatura lisa dos peixes.

A urotensina I, peptídio de 41 aminoácidos, é considerada homóloga e análoga ao hormônio liberador de corticotropina nos mamíferos, por ICHIKAWA et alii (1982), LEDERIS et alii (1982, 1983,1985b,1987), LEDERIS (1984), McMASTER et alii (1984, 1987), BERN et alii (1985).

Entre 1981 e 1984, os dois principais neuro-hormônios urofisários, urotensina I (UI) e urotensina II (UII), foram purificados e suas estruturas primárias determinadas por diversos pesquisadores: MUNEKATA et alii (1981), ICHIKAWA et alii (1982, 1984, 1988), LEDERIS (1984), LEDERIS et alii (1983), MCMASTER & LEDERIS (1983), MCMASTER et alii (1984).

LEDERIS (1984) e BERN et alii (1985) afirmaram que essas urotensinas são verdadeiros peptídios hormonais do sistema neurossecretor caudal dos peixes e que o local de produção destes peptídios parece ser as células Dahlgren, presentes nos segmentos caudais da medula espinhal dos peixes
teleósteos, ganóides e elasmobrânquios.

LEDERIS (1984) mostrou que as estruturas para síntese, transporte, armazenamento e liberação das urotensinas seguem o modelo dos neurônios existentes no complexo hipotálamo-neuro-hipofisário. O autor supõe que os produtos de síntese dos neurônios caudais são transportados pela fluência axoplasmática, para posterior armazenamento na urófise ou até mesmo para serem por ela liberados. Para o pesquisador, em termos estruturais, a urófise pode ser considerada uma "segunda neuro-hipófise". Essa homologia entusiasmou novas pesquisas na busca de substâncias farmacologicamente ativas, possivelmente relacionadas estrutural ou biologicamente aos hormônios neuro-hipofisários (ICHIKAWA et alii, 1984; BERN et alii, 1985; LEDERIS et alii, 1985b, 1987; Mc-MASTER et alii, 1986, 1987). A complexidade do sistema neu-

rossecretor caudal, diz o autor, dificulta o entendimento de suas funções fisiológicas, bem como a compreensão de seu complexo mecanismo endocrinológico. Ele observa que a busca intensa para elucidação das funções fisiológicas dos neurônios secretores, juntamente com a definição de sua estrutura e a caracterização da síntese e dos efeitos farmacológicos dos neuropeptídios, permitirá decifrar o enigmático sistema neurossecretor.

FRYER & LEDERIS (1985) consideram que os efeitos hipofisiotrópicos das urotensinas nos peixes estão bem esclarecidos. Os teleósteos são considerados primariamente dependentes do cortisol, o principal produto secretor homólogo da adrenocortical, responsável pela regulação hiperosmótica (adaptação dos peixes à água salgada) e pela regulação hiposmótica (adaptação dos peixes à água doce).

BERN et alii (1985) indicaram a capacidade das urotensinas para regular o transporte transepitelial diretamente através de diversas superfícies osmorreguladoras (LEDERIS et alii, 1985a).

BERN et alii (1985) também detectaram a acetilcolina em alta concentração na urófise, mas com função ainda não conhecida nesse local.

2.2.1 UROTENSINA I

A urotensina I (UI) influencia a hipófise dos peixes ósseos. A hipófise dos teleósteos também apresenta modifica-

ções relativas ao sexo e à idade, conforme VAL-SELLA et alii (1977), VAL-SELLA & FAVA-DE-MORAES (1979a, 1979b).

A UI é um peptídio de 41 resíduos de aminoácidos (fig. 3), os quais foram isolados do sistema neurossecretor caudal de três espécies de peixes teleósteos: Catostomus commersoni (LEDERIS et alii, 1982), Cyprinus carpio (ICHIKAWA et alii, 1982) e Hippoglossoides elassodon (McMASTER et alii, 1987). Essas urotensinas diferem umas das outras somente por dois resíduos de aminoácidos e têm uma seqüência semelhante a mais de 50% da cadeia peptídica do hormônio liberador de corticotropina (HLC) de 41 resíduos de aminoácidos isolados do hipotálamo de carneiro (fig. 3) (LEDERIS et alii, 1982, 1985b).

A sauvagina, peptídio de 40 resíduos de aminoácidos, isolado da pele do anfíbio Phyllomedusa sauvagei (fig. 3) (RENTA et alii, 1982), e a UI apresentam marcada homologia estrutural com o HLC e também participam na atividade secretora da corticotropina, o que foi comprovado nos trabalhos de RENTA et alii (1982), LEDERIS et alii (1985a), LEDERIS (1987), FRYER & LEDERIS (1988), GONZALEZ & LEDERIS (1988), MINNITI et alii (1989).

O HLC ovino é um estimulador do ACTH hipofisário em peixes e anfíbios. Estudos realizados por FRYER & LEUNG (1982) demonstraram que o HLC ovino estimula a secreção do ACTH, in vitro, da rostral pars distalis de Carassius auratus e aumenta a secreção do cortisol, in vivo, no mesmo peixe (FRYER et alii, 1983, 1984, 1985a; FRYER & LEDERIS, 1985, 1988; WELD & FRYER, 1987, 1988; FRYER, 1989).

```
18
UROTENSINA I H - Asn - Asp - Asp - Pro - Pro - Ile - Ser - Ile - Asp - Leu - Thr - Phe - His - Leu - Leu - Arg - Asn - Met -
                                                                                                                           18
              H - Ser - Gln - Glu - Pro - Pro - Ile - Ser - Leu - Asp - Leu - Thr - Phe - His - Leu - Leu - Arg - Glu - Val -
HLC
                                                                                                                           17
                       pGlu - Gly - Pro - Pro - Ile - Ser - Ile - Asp - Leu - Ser - Leu - Glu - Leu - Leu - Arg - Lys - Met -
SAUVAGINA
                                     19
                                                                                                                           33
                                     Ile - Glu - Met - Ala - Arg - Asn - Glu - Asn - Gln - Arg - Glu - Gln - Ala - Gly - Leu -
UROTENSINA I
                                    Leu - Glu - Met - Thr - Lys - Ala - Asp - Gln - Leu - Ala - Gln - Gln - Ala - His - Ser -
HLC
                                    Ile - Glu - Ile - Glu - Lys - Gln - Glu - Lys - Glu - Lys - Gln - Gln - Ala - Ala - Asn -
SAUVAGINA
                                     34
                                     Asn - Arg - Lys - Tyr - Leu - Asp - Glu - Val - NH<sub>2</sub>
UROTENSINA I
                                    Asn - Arg - Lys - Leu - Leu - Asp - Ile - Ala - NH2
HLC
SAUVAGINA
                                    Asn - Arg - Leu - Leu - Leu - Asp - Thr - Ile - NH2
```

Figura 3. Comparação da sequência de aminoácidos da urotensina I (UI) de Cyprinus carpio, hormônio liberador de corticotropina (HLC) ovino e da sauvagina (SVG) da pele do sapo. Os resíduos de aminoácidos do HLC e da SVG sublinhados demonstram a identidade na sequência com os resíduos de aminoácidos da UI de Cyprinus carpio. O outro peptídio UI conhecido (isolado do Catostomus commersoni), difere da UI acima demonstrada, pelas substituições nas posições 24 (Ile) e 27 (Glu). (LEDERIS et alii, 1985).

BAKER et alii (1985), em experimentos realizados com o HLC ovino em Salmo gairdneri, e OKAWARA et alii (1988), face aos resultados obtidos com Catostomus commersoni, afirmaram ter observado que ocorre o mesmo fenômeno descrito no parágrafo anterior, com as espécies por eles pesquisadas.

A hipótese de que o sistema neurossecretor caudal interfere na regulação da função hipofisário-adrenal dos peixes teleósteos foi levantada por FRYER et alii (1983). Através de estudos em Carassius auratus, eles demonstraram que nesta espécie a UI estimula o eixo hipófise-adrenal e que a secreção do cortisol é estimulada in vivo pelo HLC ovino.

FRYER et alii (1984) estudaram diferentes espécies de teleósteos, in vitro, e observaram que a UI é de duas a três vezes mais potente, para a liberação do ACTH, que o HLC ou a sauvagina (FRYER et alii, 1985b; WELD & FRYER, 1988; FRYER, 1989). FRYER et alii (1984) supõem que a atividade da urotensina pode ser "fisiológica", uma vez que o potencial de liberação do ACTH decresce pela administração prévia ou simultânea de cortisol exógeno (LEDERIS et alii, 1985a; LEDERIS, 1987).

LEDERIS (1984) acredita ser prematuro considerar a UI como exclusivo fator liberador de corticotropina dos peixes; entretanto há evidências circunstanciais que demonstram que, ao menos um dos fatores liberadores de corticotropina hipotalâmica é a UI, ou um peptidio muito semelhante a ela (LEDERIS et alii, 1985a, 1985b).

LEDERIS (1984), em estudos realizados em mamíferos, observou que a UI produz efeitos hemodinâmicos nesses animais; sua ação no rato mostra vasodilatação na região mesentérica e em outros leitos vasculares, fenômeno confirmado por LEDERIS et alii (1985a, 1985b). Por outro lado, LEDERIS (1984) mostrou que no cachorro a vasodilatação é observada somente a nível da região mesentérica.

BERN et alii (1985) comentam que, se a UI atua como um fator liberador de corticotropina nos teleósteos, então o cortisol, que é secretado como resultado da estimulação da secreção do ACTH, pode ter efeito metabólico importante, relacionado com a glicogênese.

A demonstração de que a UI, o HLC e a sauvagina estimulam a liberação do ACTH da pars intermedia do peixe dourado sugere, segundo FRYER & LEDERIS (1985), que esse peptídio deve desempenhar papel regulador da secreção dos peptídios derivados da molécula de pro-opiomelanocortina da pars intermedia dos teleósteos (FRYER, 1989; TRAN et alii, s.d.).

FRYER et alii (1985a) e FRYER & LEDERIS (1985) compararam os efeitos da UI, da sauvagina e do HLC no peixe dourado e perceberam que os dois últimos peptídios estimulam a liberação do ACTH, 42% e 33%, respectivamente, menos que a UI.

Para SAWCHENKO (1987) e TRAN et alii (s.d.), o HLC isolado do hipotálamo de carneiro é um potente estimulador da secreção de adrenocorticotropina e β -endorfina da glândula hipofisária anterior dos mamíferos, in vivo e in vitro.

Por outro lado, WELD **et alii** (1987) demonstraram, em experimentos realizados em rato, que o análogo do HLC, o HLC- α hélice (9-41), age de forma semelhante.

ITOH & LEDERIS (1987) indicaram, através de estudos realizados em preparados de membranas de vasos sanguíneos de rato, que o sítio de ligação da UI com os receptores vasculares não só altera o fluxo de Ca²⁺, como também antagoniza a ação ou a mobilização do Ca²⁺ intracelular.

A exemplo da UI e do HLC, WELD & FRYER (1987, 1988) demonstraram que as angiotensinas I e II também estimulam a liberação do ACTH da hipófise do peixe dourado.

Dependendo do método de extração empregado para a UI, pode-se obter um peptídio completamente ativo, com 38 resíduos de aminoácidos (UI 4-41), segundo McMASTER et alii (1987).

GONZALEZ & LEDERIS (1988), em experimentos realizados no anfíbio Rana catesbeiana, observaram que o anti-soro específico para UI não apresentou imunorreação nos cortes histológicos do cérebro desta espécie.

TRAN et alii (1989) observaram que o TRH (hormônio tireotrópico) estimula os peptídios derivados da molécula proopiomelanocortina no peixe dourado, da mesma forma que a UI.

2.2.2 UROTENSINA II

O princípio urofisário UII foi caracterizado biologicamente e seus aminoácidos sequenciados da urófise do teleósteo Gillichthys mirabilis (fig.4), por BERN et alii
(1967).

Figura 4. Comparação da sequência de aminoácidos dos seis peptídios UII conhecidos e da somatostatina-14. Os diferentes resíduos de aminoácidos sublinhados demonstram a identidade na sequência com os resíduos de aminoácidos da UII de Gillichthys mirabilis. A UII-β₁ de Cyprinus carpio tem a estrutura primária semelhante a estrutura primária da UII-B de Catostomus commersoni (KOBAYASHI et alii, 1986).

Segundo LEDERIS (1970), a UII é um dodecapeptídio parcialmente homólogo à somatostatina-14 (fig. 4), diferindo desta na localização e significado dos resíduos de cisteína (PEARSON et alii, 1980).

LEDERIS e colaboradores observaram que a atividade espasmogênica causada pela UII, é sucedida por uma ação vasoconstritora geral, em Salmo gairdnerii (LEDERIS, 1970)e em Gillichthys (ZELNICK & LEDERIS, 1973).

FRYER et alii (1979) demonstraram que a somatostatina é potente inibidor da secreção espontânea do hormônio de crescimento da tilápia (Sarotherodom mossambicus) (PEARSON et alii, 1980).

A UII apresenta evidentes efeitos biológicos nos peixes teleósteos, entre eles o vasoconstritor e o diurético secundário, segundo PEARSON et alii (1980), ICHIKAWA et alii (1984), LEDERIS (1984), BERN et alii (1985), McMASTER et alii (1986), YULIS & LEDERIS (1988a).

PEARSON et alii (1980) encontraram duas UII diferentes em Catostomus commersoni, UII A e UII B (fig. 4). O mesmo foi observado por McMASTER & LEDERIS (1983).

LEDERIS (1984) sugere que a UII, aparentemente, não possui ação hipofisiotrópica nos mamíferos.

Em experimentos realizados com Cyprinus carpio, ICHIKAWA et alii (1984) isolaram quatro tipos de UII (UII α , UII β_1 , UII β_2 , UII γ) (fig. 4). Desses peptidios, apenas a UII β_1 era idêntica à UIIB encontrada no Catostomus commersoni (fig. 4).

Foi demonstrado por BERN et alii (1985) que a UII e a somatostatina-14 têm efeitos lipolíticos no fígado de Salmo gairdneri, resultado do aumento da atividade da lipase, triglicerol e do aumento da liberação ácida não esterificada da gordura.

Dados recentes formulam a hipótese de uma provável intervenção das urotensinas nos mecanismos de trocas osmó - ticas e iônicas. BERN et alii (1985) notaram que, em virtude da atividade vasoconstritora, a UII regula o fluxo sanguíneo para diferentes superfícies osmorreguladoras, influenciando o índice pelo qual os íons e a água podem ser absorvidos ou excretados. Os autores demonstram, como consequência da vasoconstrição, que os peixes injetados com UII apresentam um índice de filtração glomerular maior.

Na mesma pesquisa, os autores comentam a existência de células neurossecretoras de UII em ganóides e elasmobrânquios.

Todos os tipos do peptídio UII até então estudados, consistem de 12 resíduos de aminiácidos, homólogos entre as posições 6-11 (fig. 4) (KOBAYASHI et alii, 1986a).

GRAU & HELMS (1989) realizaram estudos na tilápia (Sarotherodom mossambicus) e sugeriram que os efeitos da somatostatina na liberação da prolactina devem ser mediados através de ações dos sistemas mensageiros de Ca² e adenosina monofosfato cíclico (AMPc).

BALDISSEROTTO et alii (1990), através da aplicação de extrato urofisário e de UII em órgãos isolados de traíra (Hoplias malabaricus), observaram que esta espécie apresenta

fluxo de água mucoso-serosa nos intestinos médio e posterior e não tem fluxo significativo na vesícula biliar. Os autores notaram que o extrato urofisário não altera significativamente o fluxo da água nas porções estudadas; e que a UII aumenta o fluxo da água no intestino médio e na vesícula biliar, mas não o modifica no intestino posterior.

2.3 LOCALIZAÇÃO IMUNOCITOQUÍMICA DOS PEPTÍDIOS UI E UII

2.3.1 LOCALIZAÇÃO IMUNOCITOQUÍMICA DA UROTENSINA I

BERN & LEDERIS (1969), estudando a localização da maioria das células imunorreativas à UI na medula espinhal em Catostomus commersoni e Cyprinus carpio, demonstraram que elas formam duas fileiras parassagitais, que se estendem até a região dorsal da urófise. Essa localização foi confirmada em diversas espécies de teleósteos por vários pesquisadores: BERN & LEDERIS (1978), FISHER et alii (1984), LARSON et alii (1984, 1986), ONSTOTT & ELDE (1984, 1986b), BERN et alii (1985), LEDERIS et alii (1985a, 1987), YAMADA et alii (1985), KOBAYASHI et alii (1986a, 1986b), YULIS & LEDERIS (1986a, 1986b), YULIS et alii (1986), LEDERIS & YULIS (1987), ICHIKAWA et alii (1988), ARNT et alii (1990).

RENTA et alii (1982) localizaram, através de estudos imunocitoquímicos, a sauvagina, peptídio que provavelmente, reage com a UI no sistema neurossecretor caudal de algumas es-

pécies de peixes ósseos. Baseados nesses resultados, BERN et alii (1985) e MINNITI et alii (1989) mostraram que a sauvagina e a UI têm estrutura e localização similares.

A demonstração da distribuição dos neurônios secretores de UI no sistema neurossecretor caudal de Catostomus commersoni foi realizada por FISHER et alii (1984), através de técnicas imunocitoquímicas. Estes pesquisadores confirmaram, assim, a presença de células neurossecretoras na região caudal da medula espinhal, descritas por DAHLGREN (1914) e SPEIDEL (1919).

No telencéfalo de peixes teleósteos estudados por LEDERIS et alii (1985b), fibras imunorreativas a UI foram encontradas em cortes histológicos imunocorados, obtidos próximo ao nucleus post comissuralis. Nestes mesmos cortes foram observados alguns pericários parvocelulares imunorreativos à UI. Nos nuclei telencephalic ventralis, as fibras imunorreativas formam um cordão difuso (LEDERIS et alii, 1985a; KOBAYASHI et alii, 1986c; YULIS et alii, 1986; SAWCHENKO, 1987; McMASTER & LEDERIS, 1988; COHEN & KRIEBEL, 1989).

Algumas fibras nervosas imunorreativas a UI foram localizadas logo abaixo do cerebelo, por BERN et alii (1985) e LEDERIS et alii (1985b). Outro grupo de fibras mesencefálicas situa-se próximo ao nucleus interpendicularis, segundo BERN et alii (1985), LEDERIS et alii (1985b), SUESS et alii (1986), COHEN & KRIEBEL (1989).

No diencéfalo, LEDERIS et alii (1985b) e YULIS et alii (1986) observaram fibras finas e lisas na região ventral,

próximo ao epithalamus. Na região dorsal do thalamus, outras fibras nervosas foram encontradas principalmente na área prectalis. Esses mesmos pesquisadores descreveram numerosas fibras imunorreativas à UI no hipothalamus. Nas regiões caudal e ventral deste, visualizaram alguns pericários imunorreativos à UI, entre os neurônios parvocelulares do nucleus lateralis tuberis.

FRYER et alii (1985a), FRYER & LEDERIS (1985, 1988), SUESS et alii (1986) e McMASTER & LEDERIS (1988) observaram na hipófise de Carassius auratus imunorreatividade à UI, restrita às fibras presentes na proximal pars distalis, pró-ximo às células adeno-hipofisárias.

KRIEBEL et alii (1985) observaram a presença de pelo menos dois tipos de células neurossecretoras no sistema neurossecretor caudal dos peixes ósseos, uma vez que encontraram diferentes reações de coloração, tamanho e densidade dos grânulos elementares dos axônios terminais, e diferentes respostas eletrofisiológicas para as trocas osmóticas.

KOBAYASHI et alii (1986c) detectaram UI imunorreativa (UI-ir) em células do cérebro, medula espinhal e urófise do Cyprinus carpio e do Catostomus commersoni, porém não foram confirmadas imunorreações à UI em cortes histológicos do trato gastrointestinal e de órgãos endócrinos, realizados pelos mesmos autores.

LARSON et alii (1986), utilizando técnicas de imunofluorescência, empregaram como anti-soro o HLC de ovino, para reagir com a UI no teleósteo Gillichthys mirabilis. Na
análise dos resultados, as células neurossecretoras caudais

mostravam imunofluorescência, exceto a maioria das parvocélulas. Estas células Dahlgren não reativas podem corresponder à subpopulação descrita por OWADA et alii (1985a), que aparentemente secretam UII.

SAKANAKA et alii (1987b) localizaram estruturas imunorreativas ao HLC no colliculus inferior do rato e observaram a presença do HLC imunorreativo (HLC-ir) no cérebro do mesmo, o que sugere que o HLC, como outros neuro-hormônios e peptídios, deve atuar como neurotransmissor e/ou neuromodulador em numerosos circuitos extra-hipotalâmicos, como tam - bém participar da regulação neuroendócrina.

SAKANAKA et alii (1987a) identificaram a presença de UI-ir em cortes histológicos de retina de Carassius auratus, valendo-se de estudos imunocitoquímicos e de radioimunoensaio.

2.3.2 LOCALIZAÇÃO IMUNOCITOQUÍMICA DA UROTENSINA II

BERN & LEDERIS (1969) observaram que os neurônios secretores do sistema neurossecretor caudal apresentam imunorreatividade à UII. As células imunorreativas a UII são de tamanho e forma diversos. Esses estudos têm sido confirmados em vários experimentos (BERN et alii, 1973, 1985; VIGH et alii, 1977; BERN & LEDERIS, 1978; PEARSON et alii, 1980; LARSON et alii, 1984, 1986; ONSTOTT & ELDE, 1986a, 1986b; OWADA et alii, 1985a, 1985b; YAMADA et alii, 1985; KOBAYASHI et alii, 1986a; McMASTER et alii, 1986; YULIS & LEDERIS, 1986b, 1988a, 1988b; LEDERIS & YULIS, 1987).

Outra população celular imunorreativa a UII foi descrita por VIGH & VIGH-TEICHMANN (1973) e confirmada por VIGH et alii (1977), LEDERIS & YULIS (1987), YULIS & LEDERIS (1988b). Esses neurônios possuem dendrites que terminam no lúmen do canal central, e, por meio de uma protuberância bulbosa, contactam o líquido cerebrospinal.

BERN & LEDERIS (1978) admitem a presença de dois tipos celulares na região caudal da medula espinhal dos teleósteos: de acordo com a especificidade da imunorreação, um tipo deve produzir UI, e o outro, UII (LARSON et alii,1984; BERN et alii, 1985; YAMADA et alii, 1985; KOBAYASHI et alii, 1986a; ONSTOTT & ELDE, 1986a; YULIS & LEDERIS, 1986b; LEDERIS & YULIS, 1987).

OWADA et alii (1985a), examinando uma série de cortes do tecido nervoso do sistema neurossecretor caudal de peixes teleósteos preparados com o anti-soro UII de Gillichthys, observaram que o Cyprinus carpio, entre muitas outras espécies de peixes ósseos, possui neurônios secretores imunorreativos à UII.

ICHIKAWA **et alii** (1988) sugerem que a maioria dos neurônios caudais ativos sintetizam UI, UII- α e UII- γ ; porém, em alguns neurônios, todos ou alguns hormônios são rapidamente transportados para a urófise, resultando uma imunorreatividade baixa ou não detectável no pericário.

2.4 IMUNOCITOQUÍMICA

Há mais de 50 anos, MARRACK (1934) demonstrou que um anticorpo pode ser usado como reagente histoquímico, desde que marcadores apropriados sejam ligados à molécula do anticorpo, sem prejudicar sua capacidade de reagir com o antígeno específico. Entre vários marcadores testados por MARRACK (1934), somente os fluorescentes apresentaram a sensibilidade necessária para o êxito da reação.

O primeiro anticorpo marcado com isocianeto fluorescente foi usado por COONS **et alii** (1942) para localizar o antígeno pneumocócico em tecido infectado.

Os métodos imunocitoquímicos que influenciaram de modo marcante o curso da moderna neurociência, não foram usados originariamente para resolver questões neurobiológicas. As primeiras experiências imunocitoquímicas realizadas em histopatologia visavam detectar antígenos microbianos e auto-anticorpos. Posteriormente, na endocrinologia, as reações imunocitoquímicas tiveram por escopo identificar o lugar das sínteses de diversos hormônios (COONS et alii, 1942). Estes pesquisadores desenvolveram uma técnica indireta para imunocitoquímica, também chamada de "sanduíche".

Mais recentemente, HSU et alii (1981) introduziram uma técnica imunocitoquímica para a localização de antígenos, utilizando a avidina e a biotina. A avidina é uma glicoproteína da clara do ovo, com grande afinidade pela biotina, vitamina de baixo peso molecular, encontrada na

gema do ovo. A biotina pode ser acoplada à imunoglobulina, ou a marcadores como estreptovidina marcada com peroxidase (HRP = "Horseradish peroxidase-labelled streptavidin"). Por sua vez, a avidina pode ser acoplada a marcadores como o HRP.

Diferentes processos imunocitoquímicos utilizam princípios incluindo a avidina e a biotina como substrato básico. A técnica mais comumente utilizada é o complexo avidina-bio tina-peroxidase (ABC = "avidin-biotin-peroxidase complex").

MACMILLAN & CUELLO (1986) comentam que nos avanços tecnológicos imunocitoquímicos, a avidina foi substituída pela estreptovidina, uma proteína da parede celular de Streptomices avidinii, que tem as mesmas propriedades de ligação que a avidina, com a vantagem de que a interação com a carga das moléculas é minimizada. A introdução desta melhoria tecnológica eliminou os inconvenientes comumente presentes ao se usar o ABC.

A estrutura anatômica e histológica do cérebro, bem como suas conexões, foram estudadas durante um longo período por técnicas que utilizavam a impregnação pela prata; a coloração de fibras degeneradas; o transporte retrógrado de substâncias marcadas ou reações enzimáticas (GEFFEN, 1982). As investigações realizadas por estes meios permitiam admitir que a informação entre neurônios do cérebro ocorresse mais por um processo de transmissão química do que elétrica. Os pesquisadores em neurologia admitiam, também, que algumas substâncias pudessem estar envolvidas no processo transmis-

sor. Para demonstrar alguns desses verdadeiros transmissores, aperfeiçoaram-se as técnicas de coloração, tais como a reação de Falck-Hillarp, ou técnicas enzimoquímicas para os sistemas colinérgicos, ou a coloração Gomori para os sistemas neurossecretores. A introdução das técnicas imunocitoquímicas para estudos histológicos do sistema nervoso permitiu a localização das verdadeiras substâncias transmissoras e abriu novos caminhos para a neurobiologia (GEFFEN, 1982; CUELLO et alii, 1982; MACMILLAN & CUELLO, 1986).

MACMILLAN & CUELLO (1986) explicam que a imunocitoquímica é uma técnica sensível direta ou indireta, utilizada para detectar substâncias no tecido nervoso. As técnicas diretas são menos sensíveis, uma vez que não há ampliação de sinal e o processo de conjugação pode afetar a ligação anticorpo-antígeno.

As técnicas imunocitoquímicas diretas foram substituídas pelas indiretas, já que estas têm especificidade singular (SHIOSAKA & TOHYAMA, 1986). Estes autores demonstraram que as técnicas indiretas de imunocitoquímica utilizam uma primeira camada de anti-soro específico para o peptídio celular em estudo e uma segunda camada de anti-soro específico para a imunoglobulina. O segundo anti-soro é conjugado com uma enzima ou um marcador fluorescente, cujo efeito é ampliar o sinal do primeiro anti-soro. A terceira camada utiliza o complexo HRP e anti-soros contrários a ele. Essa técnica é chamada complexo peroxidase-antiperoxidase (PAP = "peroxidase antiperoxidase") e foi utilizada em experimentos realizados por YULIS et alii, 1986.

Outros procedimentos de identificação dos neurotrans missores em diferentes áreas do cérebro, conforme MACMILLAN & CUELLO (1986), utilizaram cromatografia líquida de alta eficiência, radioimunoensaio, ensaios para radioenzima ou a combi nação de uma dessa técnicas com microdissecção. Alguns desses procedimentos sao utilizados para quantificar as substâncias químicas em uma amostra. No entanto, nenhuma dessas técnicas analíticas permitem a localização das substâncias neurotrans missoras em uma subpopulação de neurônios. Métodos imunocito químicos têm sido utilizados com sucesso para este fim. forma, a localização de substâncias transmissoras no tecido nervoso, é efetivada por reaçoes imunocitoquímicas contra an ticorpos específicos.

2.4.1 TESTE DE CO-LOCALIZAÇÃO

Nos estudos imunocitoquímicos necessita-se, às vezes, demonstrar mais de um antígeno na mesma célula. A pesquisa de dois antígenos em uma mesma célula, explica VANDESANDE (1982), pode ser realizada pela coloração imunocitoquímica de cortes semifinos, dispostos de modo seqüencial e seriado, adjacente (MACMILLAN & CUELLO, 1986; SHIOSAKA & TOHYAMA, 1986). Usando cortes semifinos é possível identificar uma mesma célula em várias secçoes seriadas adjacentes, conforme foi demonstrado em pesquisas de LARSON et alii (1986), ONSTOTT & ELDE (1986a), YULIS & LEDERIS (1987), ICHIKAWA et alii (1988).

Para demonstrar dois ou mais antígenos diferentes em um mesmo corte de tecido, podem ser utilizados outros métodos, descritos por VANDESANDE (1982) e SHIOSAKA & TOHYAMA (1986).

2.4.2 TESTE DE ESPECIFICIDADE

A introdução das reações imunocitoquímicas permitiu caracterizar e identificar as substâncias antigênicas dos tecidos, graças à imunorreatividade aos anti-soros específicos (HSU et alii, 1981). POOL et alii (1982) explicam que uma das condições para a especificidade de uma imunorreação é a utilização de um componente imunorreativo que somente reage com o antígeno presente no tecido em investigação. Para os autores, a especificidade antigênica, característica que valorizou a técnica, é resultante da utilização de anticorpos compatíveis, responsáveis pela imunorreatividade.

MACMILLAN & CUELLO (1986) esclarecem que, quando o anti-soro é suficientemente puro e específico, somente reage com um único componente do tecido no teste de específicidade para o anti-soro. Segundo os pesquisadores, pode-se concluir então, que este anti-soro, consequentemente, tem uma localização monoespecífica para uma determinada substância, no tecido em estudo.

YULIS & LEDERIS (1987, 1988a), ARNT et alii (1990), através da aplicação de testes de especificidade em seus experimentos, concluíram que, devido às suas reações típicas,

características e específicas, os métodos imunocitoquímicos estão revolucionando a investigação biológica, em particular a neurobiologia.

2.5 MORFOMETRIA

A morfometria tem especial valor para correlacionar estrutura e função de uma célula ou de um tecido (WEIHEL & BOLENDER, 1970; RUBAL & VAL-SELLA, 1980; ZOLI et alii, 1986; TAM et alii, 1988).

Para obtenção de informações numéricas, vinculadas à estrutura anatômica, macroscópica ou microscópica, em termos quantitativos, tais como volume, área de uma superfície, número e tamanho dos componentes, um conjunto de técnicas morfométricas foi introduzido (AHERNE & DUNNILL, 1987).

3 MATERIAL E MÉTODOS

Foram utilizados 36 peixes adultos, teleósteos da espécie Carassius auratus (L.) (fig. 5), de ambos os sexos. Os espécimens, adquiridos comercialmente, foram conservados à temperatura de 19°C, em um tanque com capacidade de 800 l ("Living Stream" - 800 L unit, Blissfield Mfg. Co.), pertencente ao Biotério do Centro de Ciências da Saúde da Universidade de Ottawa, Canadá.

Os experimentos realizados no Laboratório dirigido pelo Professor Dr. James Nolan FRYER, da mesma Universidade, deram preferência ao peixe dourado, por ser de fácil obtenção e de melhor adaptação em cativeiro.

Os peixes, separados por uma parede de tela fina em três grupos de doze espécimens, foram alimentados diariamente com ração comercial e expostos a ambientes claro e escuro em períodos intercalados de 12 em 12 horas, durante 60 dias antes do experimento. Os grupos, formados ao acaso, eram constituídos por exemplares de tamanho variável, entre 10 e 20 cm, com peso entre 73 e 122 g (tabelas I e II).

Os peixes de cada um dos grupos foram tratados diariamente com drogas, durante seis dias. Os espécimens do grupo controle (grupo "A") receberam injeções, via perito-



Figura 5. Aspectos macroscópicos de um exemplar adulto de Carassius auratus.

TABELA Nº I

CARACTERÍSTICAS GERAIS DO EXPERIMENTO

REALIZADO COM Carassius auratus (L.)

						
m'	370 J		m - 1	D	Total de	Total de
Tipo de	Nº do	0	Tamanho	Peso	lâminas	cortes
tratamento	animal	Sexo	(cm)	(g)	preparadas	analisados
GRUPO "A"	51	feminino	12	92	15	105
(controle)	52	feminino	10	75	10	7 0
~	S 3	masculino	12	93	12	84
Injeções	54	feminino	11	85	15	105
V.P. de	S5	masculino	10	77	15	105
solução	56	masculino	10	77	13	91
salina	57	masculino	11	82	10	70
0,6%	58	feminino	13	117	15	105
	S 9	feminino	15	120	10	7 0
	510	feminino	13	118	9	63
	511	masculino	12	106	10	7 0
	S12	masculino	11	111	10	70
GRUPO "B"	M1	masculino	10	73	15	105
	M2	masculino	11	87	13	91
Injeções	М3	feminino	15	121	13	91
V.P. de	M4	feminino	14	120	15	105
metopirona	M5	feminino	10	125	15	105
	M 6	masculino	15	119	16	112
	M7	feminino	17	121	10	70
	MB	feminino	15	120	15	105
	M9	masculino	11	85	12	84
	M1 O	masculino	12	104	12	84
	M11+	masculino	14	115	-	-
	M12++masculino		13	107		<u> </u>
GRUPO "C"	D1	feminino	15	122	11	77
	D2	feminino	13	110	10	70
Injeções	D3	masculino	11	86	17	119
V.P. de	D4	masculino	10	79	15	105
dexametasona	D5	feminino	14	113	13	91
	D6	masculino	12	95	10	70
	D7	feminino	15	120	1'1	77
	D8	feminino	15	119	10	7 0
	D9	masculino	11	85	15	105
	D1 D	masculino	11	87	15	105
	D11	masculino	12	92	12	84
	D12	feminino	14	120	11	77

⁺ Morreu no quinto dia do tratamento

⁺⁺ Morreu no sexto dia do tratamento

V.P. - Via peritoneal

TABELA Nº II

DADOS GERAIS DAS AMOSTRAS DE Carassius auratus (L.)

Tamanho, peso e sexo

		Grupo "A"		Gr	Grupo "B"		Grupo "C"	
Tratamento		solução salina 0,6%		met	metopirona		dexametasona	
Dados		Ŋ	%	Ŋ	%	N		
Tamanho (cm)	10- 15	12	100,0	10	83,4	12	100,0	
	16- 20		0,0	2	16,6		0,0	
Peso (g)	71 - 80	3	25,0	1	8,4	1	8,3	
_	81 - 90	2	16,7	2	16,7	3	25,0	
	91-100	1	8,4	-	0,0	2	16,6	
	101-110	1	В,4	2	16,7	1	8,4	
	111 - 120	5	41,7	4	33,2	4	33,4	
	121-130	_	0,0	3	25,0	1_	<u>8,3</u>	
Sexo	feminino	6	50,0	5	41,6	6	50,0	
	masculino	6	50,0	7	58,4	6	50,0	

neal de 100 $\mu\ell$ de solução salina 0,6%; em outro grupo (grupo "B") foram aplicadas injeções, via peritoneal, de 100 $\mu\ell$ de solução de metopirona ("metyrapone") ("2-methyl-1, 2-di-3-pyridyl-1-propanone", Sigma Chemical Company, USA) diluída em solução salina 0,6% a 50 μ g/m ℓ ; e os peixes do terceiro grupo (grupo "C") receberam, também por via peritoneal, injeções de 100 $\mu\ell$ de uma solução contendo 500 μ g de dexametasona ("9-fluoro-16-methylprenisolone", Sigma), diluídos em 1 m ℓ de etanol e 100 $\mu\ell$ de óleo vegetal.

3.1 TÉCNICAS HISTO-IMUNOCITOQUÍMICAS

Os peixes, depois do tratamento com drogas, foram sacrificados no sétimo dia por decapitação, e a medula espinhal foi cuidadosamente dissecada. Após a exposição da sétima ou oitava vértebra da porção distal da coluna vertebral, retiraram-se aproximadamente os 2 cm terminais da medula espinhal, incluindo a urófise, que foram distendidos em uma placa de Petri, com gotas de Bouin. A seguir, o material foi transferido para frascos com solução Bouin e fixado por 3 horas. Retirado do fixador, foi deixado por 2 horas em solução salina tamponada com fosfato 0,1M, pH 7,4, (PBS="Phosphate buffered saline"), sendo, entao, pós-fixado em Bouin sem ácido acético, durante a noite, a 4°C, seguindo metodologia usada por FRYER*.

^{*} Metodologia demonstrada por James N. FRYER, por ocasião de meu estágio realizado na Universidade de Ottawa, Canadá, no período de maio a dezembro de 1989.

Na seqüência, prepararam-se os tecidos para inclusão em parafina, segundo CAMARGO (1979). Inicialmente o material foi desidratado em soluções crescentes de etanol (50%, 70%, 95%, puro), em banhos de 45 minutos cada um, e imersos em etanol e xilol (1:1) durante 30 minutos. Em seguida, as peças foram diafanizadas em xilol puro, com dois banhos de 45 minutos cada um, e a seguir deixadas no agente intermediário (xilol) saturado com parafina, por 30 minutos, à temperatura de 57°C. Finalmente, impregnaram-se as peças com parafina fundida a 57°C, em dois banhos de uma hora cada um. Para a inclusão e emblocagem na parafina, foram utilizadas caixas de plástico, do tamanho adequado às peças e estas, orientadas para cortes sagitais.

Uma vez solidificada a parafina, os blocos, retirados dos moldes e recortados em forma de pirâmide quadrangular, foram cortados com a espessura de 5 µm, em um micrótomo modelo Minot, depois do que foram colocados em lâminas previamente revestidas com uma camada de gelatina (GONZALEZ*) para sua posterior adesão. Cada corte das fitas de parafina foi isolado com o auxílio de um bisturi e estendido com a superfície brilhante para baixo, em banho-maria, à temperatura de 50°C.

Tanto para os testes de imunorreação, como para a análise morfométrica, ou para os testes de especificidade de um peptídio imunorreativo, com os anti-soros, foram utilizados

^{*}Opinião expressa por Guido GONZALEZ, por ocasião de minha estada no Laboratório do Professor Dr. Karl LEDERIS, do Departamento de Farmacologia e Terapeutica da Universidade de Calgary, Canadá, em julho de 1989.

sete cortes seriados (fig. 6). Para a pesquisa de co-localização dos peptídios urotensina I-imunorreativa (UI-ir) e/ou urotensina II-imunorreativa (UII-ir), os cortes foram distribuídos em quatro lâminas separadas, cada uma com dez cortes paralelos e adjacentes, em sequência alternada, gradualmente crescente (fig. 7).

Para retirar do banho maria os cortes seriados, mergulhava-se a lâmina na água e, com o auxílio de um pincel, depositava-se sobre ela a série de cortes. Para a retirada dos cortes adjacentes do banho maria, utilizaram-se quatro lâminas, sobre as quais foi depositado cada corte, de modo alternado, com o auxílio de um pincel.

Escorrido o excesso de água, as lâminas foram levadas à estufa, à temperatura de 37°C, durante uma noite, para secagem dos cortes. Estes, uma vez desparafinizados em xilol, passaram por uma série decrescente de soluções de etanol (puro, 95%, 70%, 50%) e, a seguir, foram lavados em água destilada, por 1 minuto, e submetidos a duas trocas de 10 minutos cada uma em PBS, cujo excesso foi retirado com papel absorvente. Uma fina camada de esmalte foi passada ao redor dos cortes, a fim de evitar que os ànti-soros aplicados sobre o tecido se espalhassem.

Para o estudo imunocitoquímico, utilizou-se o complexo avidina-biotina-peroxidase (ABC=" avidin-biotin-peroxidase complex"), seguindo técnica de MACMILLAN & CUELLO (1986) Usou-se, sem prévia seleção, uma série de cortes de sete dos doze peixes de cada grupo tratado, distribuídos em 149 lâmi-

REAÇÕES IMUNOCITOQUÍMICAS E TESTES DE ESPECIFICIDADE

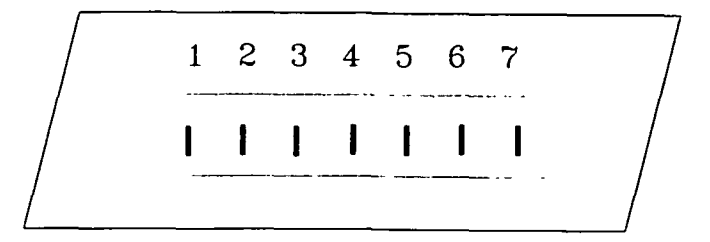


Figura 6. Representação esquemática de 7 cortes seriados utiliza - dos para reações imunocitoquímicas e para os testes de especificidade de um peptídio com o anti-soro específico.

TESTES DE CO-LOCALIZAÇÃO

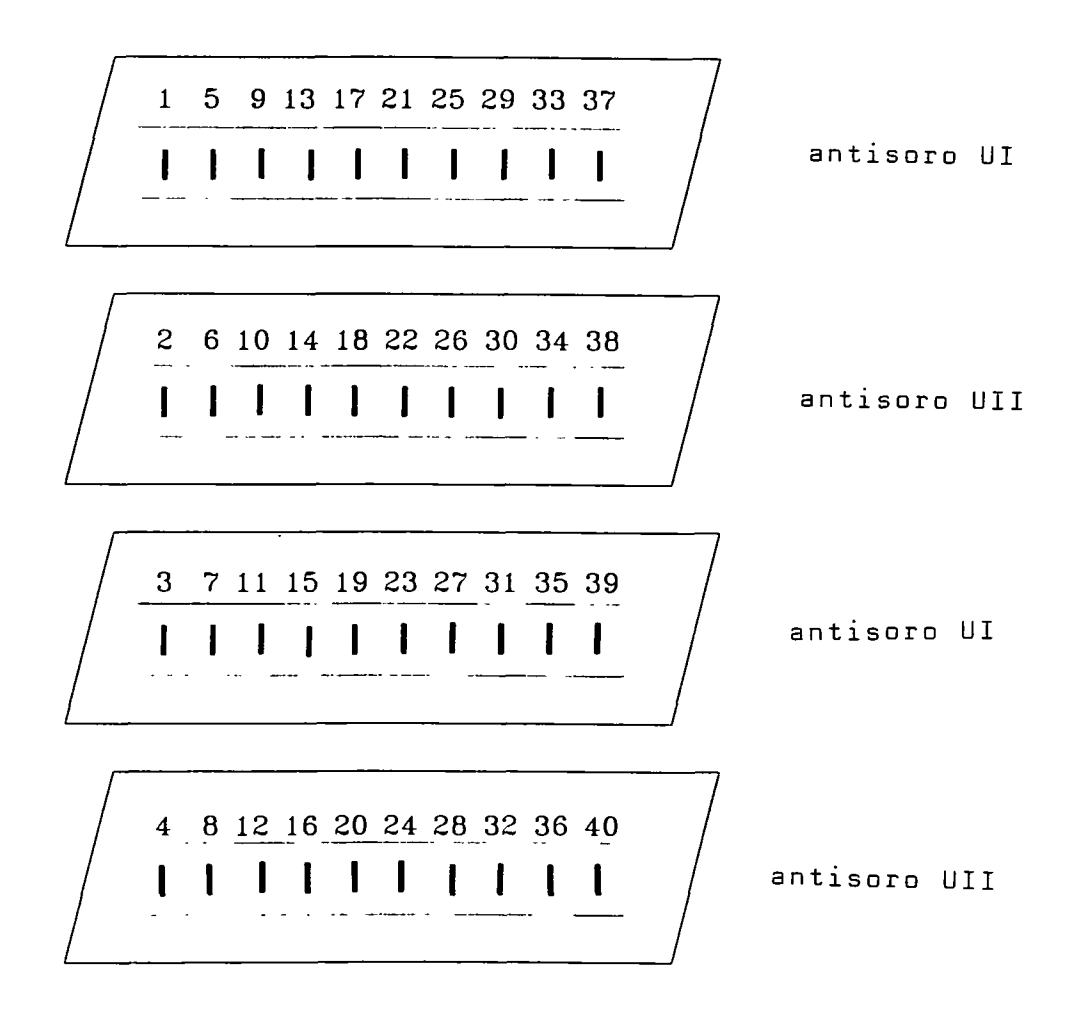


Figura 7. Representação esquemática dos 10 cortes paralelos e ad - jacentes numerados em sequência alternada, gradualmente crescente, utilizados para pesquisa de co-localização da UI-ir e/ou da UII-ir, em quatro lâminas separadas.

nas, cortes esses previamente incubados com anti-soro UI* de Catostomus commersoni (1:800) diluído em PBS contendo 0,3 % de Triton X-100 (Sigma) e 1% de albumina sérica bovina (Sigma), por um período de 18 horas, a 4°C. Outros cortes, dis tribuídos em 147 lâminas, foram pré-incubados no anti-soro UII* de Gillichthys mirabilis (1:400) diluído em solução PBS com 0,3% de Triton X-100 e 1% de albumina sérica bovina, durante 18 horas, a 4°C. A fim de evitar o ressecamento dos cortes, depositaram-se as lâminas assim preparadas em câmara úmida, guardadas em um compartimento com temperatura de 4°C.

Na etapa seguinte, os cortes foram lavados em PBS por 30 minutos (com troca de solução a cada 10 minutos), à temperatura ambiente, e incubados com anti-corpo biotinilado de burro, anticoelho ("biotinylated donkey, anti-rabbit", Amersham Canada Limited, Canadá) por 1 hora, à temperatura ambiente, em câmara úmida. Este anti-∞rpo foi diluído (1:100) em PBS contendo 0,3% de Triton x-100 e 1% de albumina sérica bovina. Na sequência, lavaram-se os cortes durante 15 minutos em PBS (com troca de solução a cada 5 minutos), incubando-os posteriormente com estreptovidina marcada com peroxidase ("horseradish peroxidase-labelled streptavidin", Amersham), diluida em PBS (1:100), por uma hora, à temperatura ambiente, em câmara úmida. Em seguida o material foi lavado em tampão Tris 50 mM, pH 7,4 ("Tris (hydroxymethyl)-aminomethane", Sigma), durante 15 minutos, com troca de solução a cada 5 minutos. Para ampliar a imunorreação, à última troca da solução de

 $^{^*}$ Os anti-soros UI e UII foram gentilmente cedidos pelo Professor Dr. Karl LEDERIS, do Departamento de Farmacologia e Terapeutica da Universidade de Calgary, Canadá, e eram estocados a 80° C negativos.

Tris adicionaram-se 0,2% de diaminobenzidina (Sigma) e 0,00045% de peróxido de hidrogênio (H₂O₂, Sigma), onde as lâminas permaneceram por 3 minutos. A seguir, os cortes foram lavados, rapidamente, com tampão Tris e passados por soluções decrescentes do mesmo tampão, diluído com água destilada (75%, 50%, 25%), desidratados, passando por banhos de soluções crescentes de etanol (50%, 70%, 95%, puro) e diafanizados em xilol puro. As lâminas foram montadas com Permount (Fisher Scientific Company, USA) e observadas ao microscópio óptico Zeiss (Ernest Leitz, Wetzlar, West Germany).

3.1.1 TESTE DE CO-LOCALIZAÇÃO

A fim de examinar a possibilidade da presença da UI-ir ou da UII-ir, ou de ambos os peptídios em um mesmo corte da medula espinhal caudal ou em um mesmo neurônio, foram realizados testes de co-localização, baseados nas investigações de YULIS & LEDERIS (1987).

Os cortes histológicos de um mesmo exemplar foram preparados pelas técnicas imunocitoquímicas já descritas, ordenados de modo adjacente, em quatro lâminas dispostas paralelamente (fig. 7). A imunorreatividade a UI, a UII ou a ambas foi testada, colocando-se os anti-soros específicos, intercalando uma lâmina com o anti-soro UI e outra com o anti-soro UII, conforme MACMILLAN & CUELLO (1986).

3.1.2 TESTE DE ESPECIFICIDADE

A especificidade de um processo de imunorreação pode ser comprovada por uma reação antígeno (peptidio celular — anticorpo (anti-soro reagente). A especificidade da reação para UI-ir e UII-ir foi avaliada, provocando-se uma reação in vitro. Os peptidios antigênicos dos neurônios foram testados, utilizando-se o anti-soro UI ou UII sobre o preparado celular.

Preparou-se, em um microtubo, uma solução com o peptídio UI diluído no anti-soro específico UI (1:800), na proporção de 10 μg/m², que após agitação foi estocada por uma noite, a 4°C. A seguir, esta solução, onde ocorreu uma reação antigênica, foi colocada sobre os cortes histológicos preparados.

Outro teste para a confirmação da especificidade das imunorreações da UI foi realizado, in vitro, provocando-se uma reação antigênica entre o hormônio liberador de corticotropina (HLC) e o anti-soro UI. Para isso, o HLC foi diluído na proporção de 10 µg/ml do anti-soro UI (1:800). Esta diluição foi incubada por uma noite, à temperatura de 4°C.

Utilizando técnica semelhante à acima descrita, procurou-se confirmar a presença de peptídio UII-ir do neurônio, realizando uma reação antigênica, in vitro, entre UII (peptídio), 10 µg/ml, e o anti-soro UII (1:400), incubados por uma noite, a 4°C.

Um teste para a confirmação, in vitro, da especificidade das imunorreações da UII, foi realizado provocando-se uma reação antigênica entre a somatostatina e o anti-soro UII. Usou-se nessa reação a somatostatina diluída na proporção de $10~\mu g/m\ell$, no anti-soro UII (1:400). A diluição foi incubada em temperatura de $4^{\circ}C$, por uma noite.

Os diferentes líquidos dos microtubos preparados, anteriormente descritos, onde se processaram as reações antigênicas, foram gotejados sobre os cortes histológicos da medula espinhal, iniciando-se nos tecidos o processo imunocitoquímico. Nas lâminas, depois de montadas em Permount para pesquisa, observou-se a ocorrência das imunorreações específicas.

3.2 MORFOMETRIA

A atividade secretora dos pericários e núcleos dos neurônios imunorreativos à UI e à UII da porção caudal da medula espinhal, das amostras de Carassius auratus, incluídas em cada grupo tratado, foi avaliada pela morfometria, de acordo com AHERNE & DUNNIL (1982) e ZOLI et alii (1986).

O contorno individual de 20 a 25 células, tomadas ao azar, e seus respectivos núcleos, foi traçado com o auxílio de uma câmara clara Zeiss, acoplada a um microscópio óptico composto Zeiss (Ernest Leitz, Wetzlar, West Germany) (fig. 8), com aumento de 1.250 vezes.

As áreas dos pericários e seus respectivos núcleos, nos cortes histológicos imunorreativos, foram determinadas

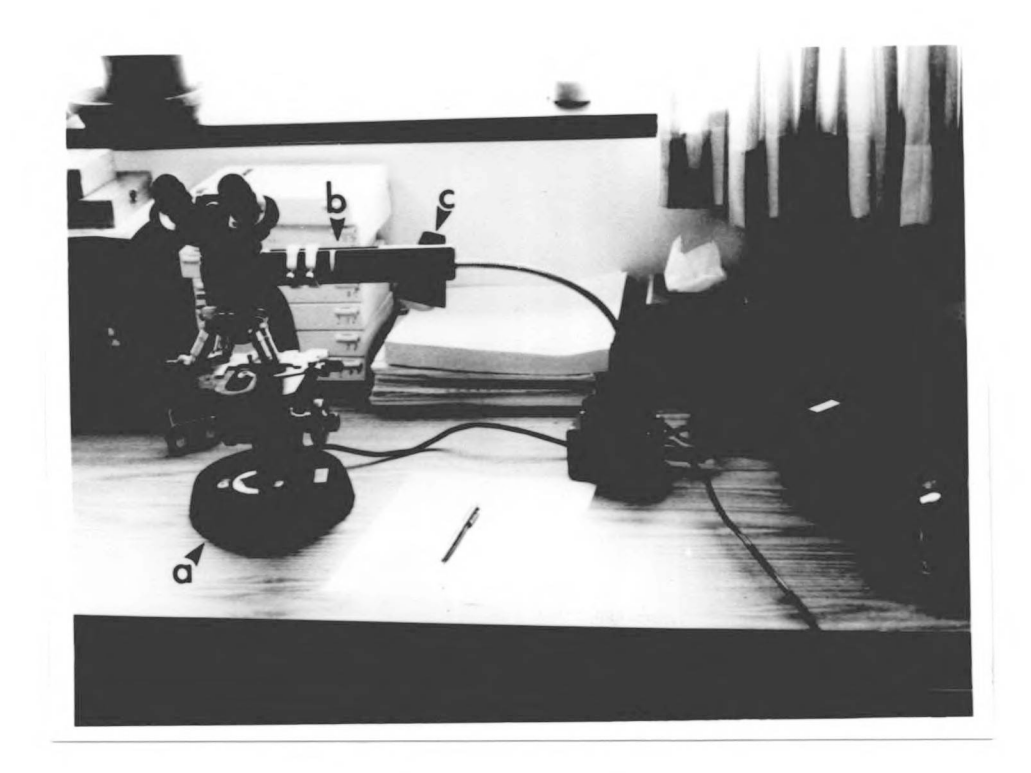


Figura 8. Microscópio composto Zeiss (a) com uma câmara clara (b) acoplada. O conjunto de lentes da câmara clara e a ilu - minação especial (c), permitem projetar sobre uma folha de papel branco os contornos celulares e nucleares.

pela planimetria, utilizando um analisador de imagens IBAS ("IBAS Image Analyser") e uma mesa magnética digital, adaptada a um computador programado para analisar imagens ("IBAS Videoplan Measuring Programme") * (fig. 9). O programa do computador fez a medição simultânea das áreas dos pericários e seus núcleos, através do traçado de seu perímetro.

A metodologia estatística para a avaliação dos resultados obtidos pelas medições morfométricas das superfícies celulares e nucleares, das células neurossecretoras imunorreativas, em estudo, dos diferentes grupos de peixes, incluiu o cálculo da média e do desvio padrão de cada uma das variáveis estudadas nos respectivos grupos.

A significância estatística da diferença entre as médias das medições realizadas e das variações das concentrações do cortisol no plasma sanguíneo, em amostras independentes, foi avaliada através do teste t de "Student", conforme programa do computador ("IBAS Videoplan Statistics Programme"), tendo sido adotado o nível de significância de 5%.

Sempre que a estatística calculada era maior que o valor crítico, fez-se um destaque no gráfico, com um asterisco.

As representações gráficas dos resultados estatísticos foram preparadas com o auxílio de um computador "Macintosh Personal".

^{*}Cedido pelo Laboratório de Microscopia Eletronica do Centro de Ciências da Saúde da Universidade de Ottawa.



Figura 9. Aspectos do conjunto eletrônico utilizado para medição dos neurônios imunorreativos e análise dos resultados.
a) Analisador de imagens IBAS ("IBAS Image Analiser");
b) Mesa magnética digital adaptada a um computador programado para analisar imagens ("IBAS Videoplan Measuring Programme").

3.3 AVALIAÇÃO QUANTITATIVA DO CORTISOL PLASMÁTICO POR RADIOIMUNOENSAIO

O nível do cortisol plasmático foi determinado por radioimunoensaio, por Bärbel TRAYNOR.*

Utilizando um conjunto ("kit") de radioimunoensaio para cortisol (ICN Biomedicals, Inc., distribuído por Bio-Ria, Montreal, Canadá), determinou-se o cortisol do plasma sanguíneo.

Foram coletados 70 µl de sangue de cada um dos 36 peixes estudados, com auxílio de uma cânula no momento do sacrifício do animal. O sangue foi levado imediatamente a um tubo da microcentrífuga (modelo Eppendorf). Após centrifugação de 30 segundos, coletaram-se 50 µl do plasma (sobrenadante), que foram divididos em alíquotas de 10 µl, distribuídas em 5 tubos de ensaio (12x75 mm) e armazenados à temperatura de 30°C negativos. As amostras de 10 µl de plasma foi adicionado cortisol marcado com iodo radioativo (125 I), e todos os tubos agitados vigorosamente. Depois de incubados por 45 minutos à temperatura de 37°C±1°C, decantouse o conteúdo dos tubos. Com o auxílio de um contador calibrado para 125 I, fez-se a avaliação do cortisol plasmático.

^{*} Bärbel TRAYNOR, técnica do Laboratório do Professor Dr. James N. FRYER, do Departamento de Anatomia da Universidade de Ottawa.

4 RESULTADOS

O Carassius auratus (L.), Cyprinidae, Cypriniformes (peixe dourado, "goldfish", "kinguio"), peixe selvagem dos rios do Sul da China, começou a ser domesticado em lagos, por volta do século IX. O peixe dourado tem sua origem em uma espécie de carpa selvagem, razão de sua primitiva denominação de Cyprinus auratus (HUNNAM et alii, 1981; TOSELLI, 1988). A presença de dois pares de barbilhos e o maior tamanho da carpa fazem a distinção entre as duas espécies.

Com a denominação de peixe japonês, foi introduzido no Japão por volta de 1500 (BURTON & BURTON, 1984).

Mais de cem variedades de cores e formas diferentes já foram identificadas. Seu aspecto externo é muito variável. Nos primeiros meses de vida apresenta coloração bronze-escuro e, ao atingir a fase adulta, aos doze meses de idade, adquire a cor definitiva. Pode apresentar escamas de diferentes tonalidades: do amarelo-latão ao vermelho-vivo. Por vezes, estão presentes escamas transparentes, marcadas por manchas pretas ou prateadas (BURTON & BURTON, 1984; WHEELER, 1985).

Seu tamanho, na idade adulta, pode variar entre 7 e 25 centímetros de comprimento. A diferenciação sexual externa

só é possível na época da reprodução (primavera e início do verão).

4.1 ASPECTOS GERAIS DO SISTEMA NEUROSSECRETOR CAUDAL DO Carassius auratus (1.)

Nos 36 exemplares de Carassius auratus selecionados para o experimento, observou-se que, macroscopicamente, a medula espinhal tem aspecto branco-leitoso e afina na porção distal, alargando em seguida para formar uma pequena dilatação terminal, a urófise. Extensa rede vascular irriga esse conjunto. A urófise está alojada na fossa urofisária.

Em cortes histológicos sagitais, foi observado, pela microscopia óptica, que a porção afilada anteriormente descrita constitui uma espécie de ponte entre a urófise e a porção proximal da medula. Em alguns cortes, o canal central do órgão pode ser observado.

As reações imunocitoquímicas, obtidas pela técnica com pelxo avidina-biotina-peroxidase (ABC), permitiram que, ao mi croscópio óptico, fossem observadas células neurossecretoras de diferentes tamanhos, dispostas ao longo da medula espinhal até a urófise. O sistema neurossecretor caudal dos peixes tratados com solução salina 0,6%, com metopirona ou com dexameta sona mostrou, em vários cortes histológicos, células Dahlgren de contorno irregular, com dendrites sem orientação definida e outras, também de contorno irregular, porém possuidoras de ramificações que se dirigem à luz do referido canal.

Foi possível também identificar, além da região rica - mente vascularizada junto à urófise, a presença de capilares nas regiões mais densamente povoadas com neurônios secretores.

Os mesmos peixes foram utilizados para investigar a presença de células neurossecretoras de urotensina I (UI) e de urotensina II (UII). Os neurônios secretores de UI e UII, após reagirem com os anti-soros específicos UI de Catostomus commersoni ou UII de Gillichthys mirabilis respectivamente, a presentaram coloração marrom-intensa sobre fundo bege.

4.2 ANÁLISE HISTOLÓGICA E MORFOMÉTRICA DOS NEURÔNIOS IMUNORREATIVOS À UROTENSINA I

4.2.1 PEIXES TRATADOS COM SOLUÇÃO SALINA 0,6% (GRUPO "A", CONTROLE)

As reações imunocitoquímicas, para verificação dos neurônios imunorreativos à urotensina I (UI), da região caudal
da medula espinhal dos C. auratus tratados com injeções peritoneais de solução salina 0,6% durante 6 dias, permitiram
a demonstração de células neurossecretoras de UI, dispostas
ao longo da medula espinhal, até a urófise (fig.10). Nesta,
as células e fibras neurossecretoras apresentaram intensa
imunorreação ao anti-soro específico UI (fig.11).

De acordo com o tamanho e a forma, dois grupos celulares se destacaram (fig.12): células neurossecretoras pequenas,

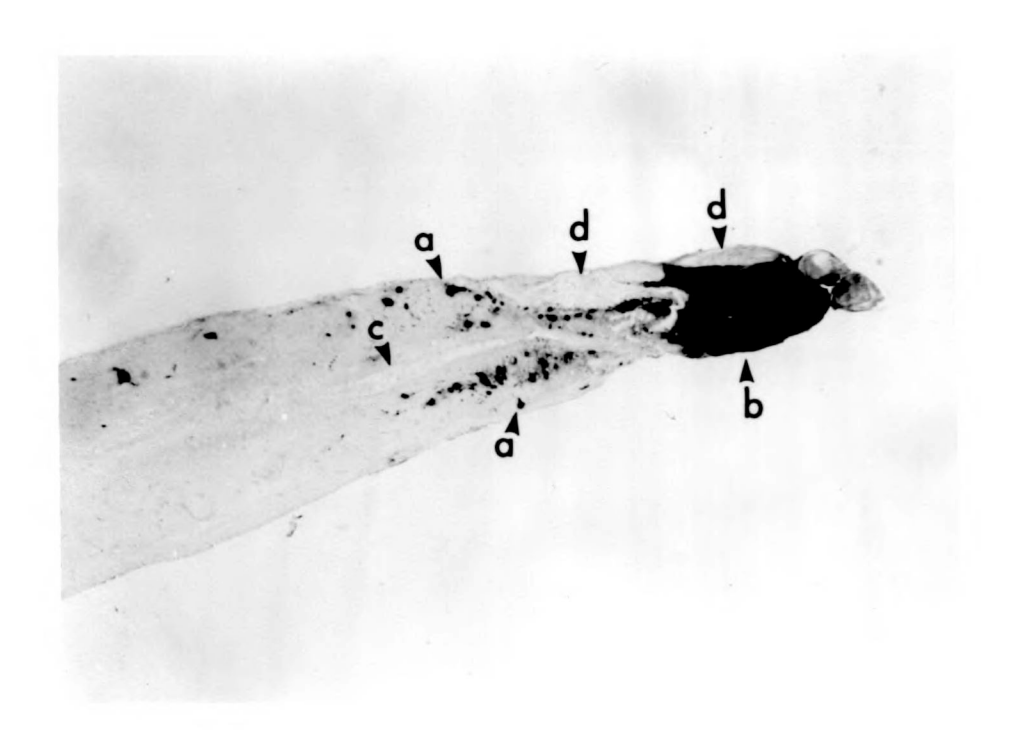


Figura 10. Corte histológico sagital do sistema neurossecretor caudal de **C. auratus** do grupo "A".

Teste imunocitoquímico para UI.

(a) Neurônios secretores imunorreativos à UI, dispostos ao longo da medula espinhal, formando dois grupos parassagitais, que se estendem até a urófise; (b) urófise com forte imunorreatividade à UI; (c) canal central; (d) vas cularização intensa da porção terminal da medula espinhal e parte dorsal da urófise.

Aumento: 40X.

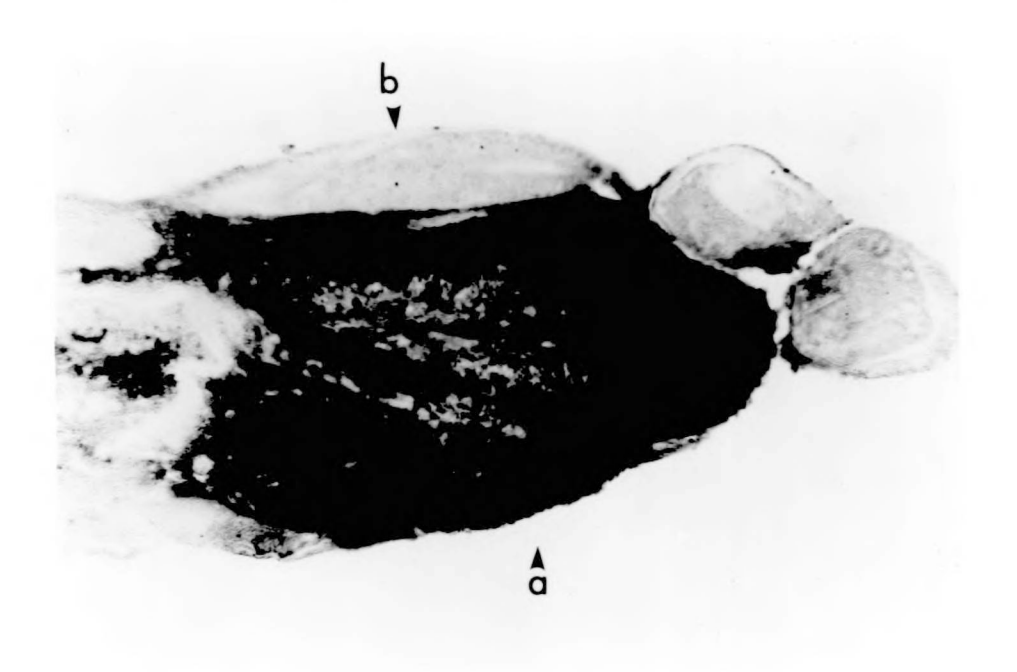


Figura 11. Corte histológico sagital da urófise de C. auratus do grupo "A".

Teste imunocitoquímico para UI.

(a) Urófise com intensa imunorreatividade à UI; (b) região dorsal da urófise com grande quantidade de tecido vascular.

Aumento: 160X.



Figura 12. Corte histológico sagital da região caudal da medula espinhal de C. auratus do grupo "A", incluindo parte do sistema neurossecretor caudal.

Teste imunocitoquímico para UI.

(a) Parvocélulas imunorreativas à UI de contorno irregular, com (b) núcleo também de formato irregular; (c) magnocélulas imunorreativas à UI, com (d) núcleo polimorfo; (e) canal central; (f) fibras com aspecto de rosário, imunorreativas à UI; (g) magnocélula com fraca imunorreatividade à UI.

Aumento: 160X.

parvocélulas*, distais à urófise, mostravam corpo celular e núcleo de forma irregular, com cromatina escassa, por vezes em grânulos grosseiros e aderida à membrana nuclear e um nucléolo grande e subperiférico (figs.12,13,14); Outras células, também imunorreativas à urotensina I, de maior tamanho, magnocélulas*, em geral próximas à urófise, possuiam um núcleo polimorfo, com cromatina e nucléolo apresentando o mes mo aspecto que nas parvocélulas (figs. 12, 14, 15).

Algumas fibras espalhadas ao longo da medula espinhal também apresentaram imunorreatividade à UI (fig. 14).

A análise morfométrica, tanto nos exemplares do sexo masculino, como nos do sexo feminino, confirmou a presença de um universo de células neurossecretoras imunorreativas de diferentes tamanhos e formas (tabela III; figs. 16,17). A distribuição das amostras celulares analisadas permitiu que os pericários fossem agrupados em duas populações: uma em que eles apresentavam áreas distribuídas entre 237 e 437 μ m², isto é, superfícies celulares pequenas (parvocélulas) (fig. 16); e outra população cujos pericários possuíam áreas entre 437 e 712 μ m² (magnocélulas) (fig. 16).

As parvocélulas apresentavam núcleos com áreas entre 55 e 115 μm^2 (fig.17), enquanto os pericários magnocelulares tinham núcleos com áreas distribuídas entre 115 e 205 μm^2 (fig. 17).

^{*} Denominação utilizada por James N. FRYER.

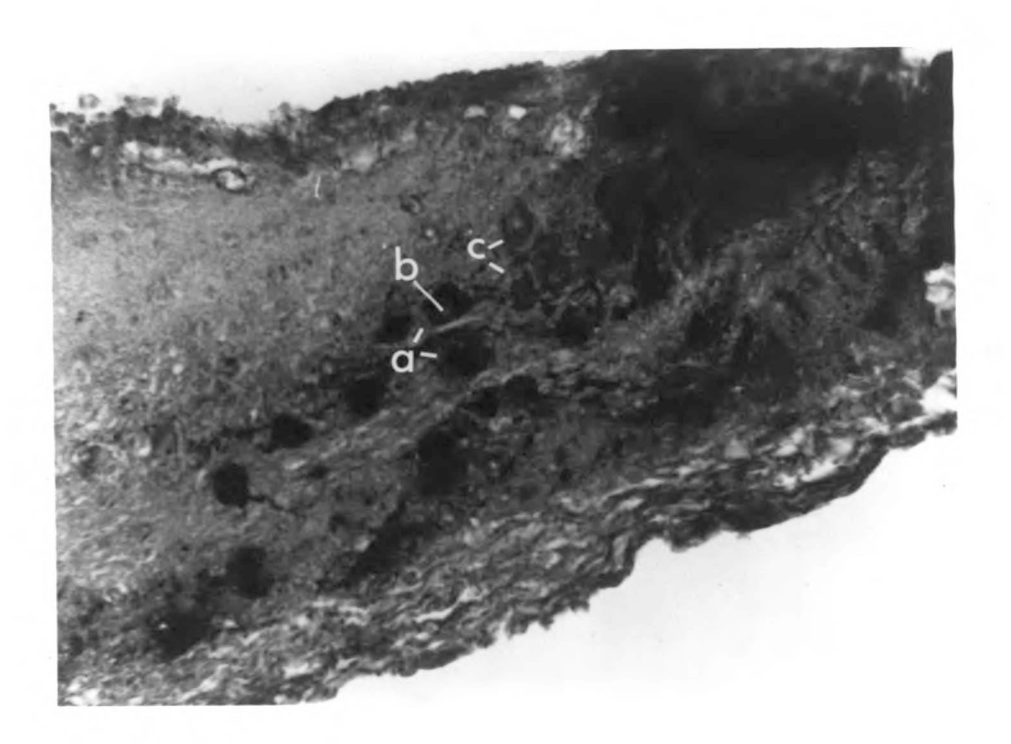


Figura 13. Corte histológico sagital de parte da medula espinhal de C. auratus do grupo "A".

Teste imunocitoquímico para UI.

(a) Parvocélulas imunorreativas à UI, com (b) núcleo de

(a) Parvocelulas imunorreativas a UI, com (b) núcleo de forma irregular; (c) neurônios sem imunorreatividade à UI.

Aumento: 160X.

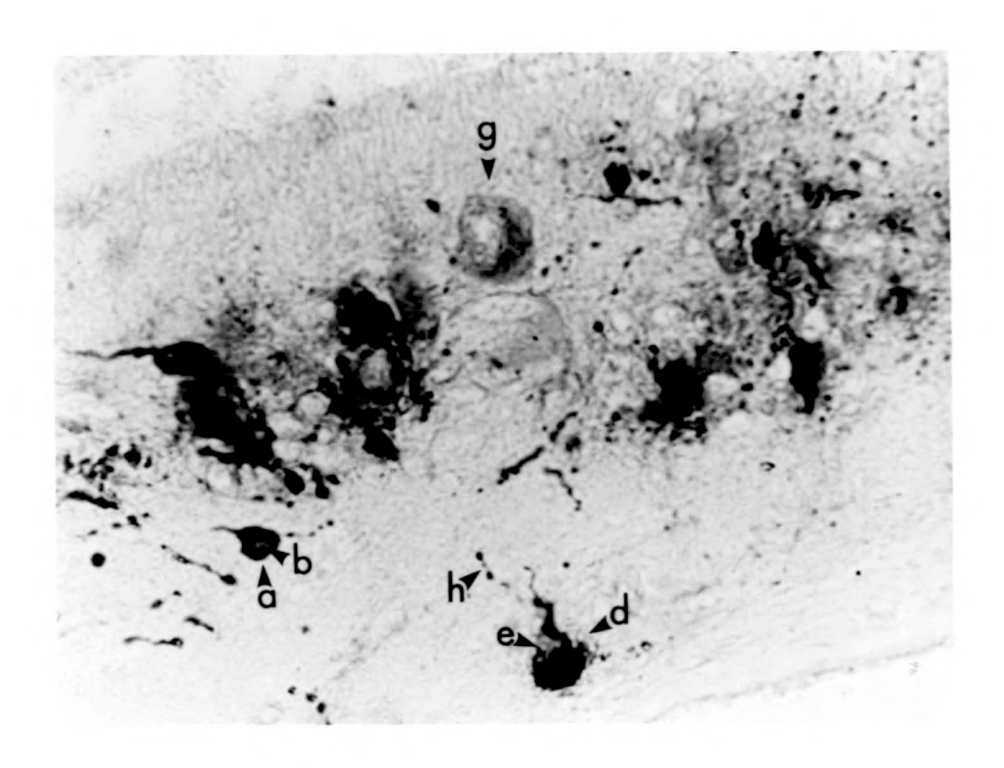


Figura 14. Detalhe de um corte histológico sagital da região caudal da medula espinhal de C. auratus do grupo "A".

Teste imunocitoquímico para UI.

(a) Parvocélulas imunorreativas à UI, com corpo celular e (b) núcleo de forma irregular, com (c) um nucléo lo grande e subperiférico; (d) magnocélulas imunorreativas à UI, com (e) núcleo polimorfo e (f) um nucléolo grande e subperiférico; (g) neurônio secretor grande sem imunorreatividade à UI; (h) fibras com aspecto de rosário, imunorreativas à UI.

Aumento: 400X



Figura 15. Aspecto parcial de um corte histológico sagital da região caudal da medula espinhal de **C. auratus** do grupo "A".

Teste imunocitoquímico para UI.

(a) Magnocélulas imunorreativas à UI; (b) fibras com aspecto de rosário, imunorreativas à UI. Aumento: 250X.

TABELA Nº III

ANÁLISE MORFOMÉTRICA DAS ÁREAS DAS CÉ-LULAS NEUROSSECRETORAS IMUNORREATIVAS À UROTENSINA I (PERICÁRIOS E NÚCLEOS)

			PERICÁRIOS NÚCLEOS			
			PERICÁRIOS .		NUCLE	
	Nº do	Nº de		Desvio		Desvio
Tipo de	animal no	neurônios	Média	padrão	Média	padrão
<u>tratamento</u>	<u>experimento</u>	<u>estudados</u>	(µm²)	(µm²)	(µm²)	(_{Um²)}
Solução	51	24	398,41	67,00	100,67	18,82
	53	25	389,71	83,67	88,44	25,24
salina	54	25	382,60	81,13	96,49	24,41
	S5	20	483,05	111,29	108,58	36,60
0,6%	S6	20	457,98	195,14	104,60	30,16
	57	20	404,32	103,00	102,62	31,34
	58	25	440,51	91,67	116,60	21,14
	M1	20	384,57	108,40	94,39	23,01
	M2	20	350,56	113,28	84,72	29,13
	M 3	20	352,73	114,40	79,99	23,98
Metopirona	M4	25	329,22	84,94	96,74	29,36
	M5	20	329,71	70,47	86,76	28,77
	M6	22	368,04	95,13	94,43	20,67
	M7	20	367,86	97,14	B1,12	23,51
	D1	20	481,78	109,30	119,90	32,57
	D3	20	581,87	135,50	112,11	21,53
	D4	20	475,47	72,57	132,88	.36 , 77
Dexametasona	D5	20	647,90	195,69	121,83	48,44
	D6	25	416,66	95,55	98,53	22,88
	D7	22	423,32	109,96	104,72	31,95
	DB_	25	500,71	170,11	140,13	34,90

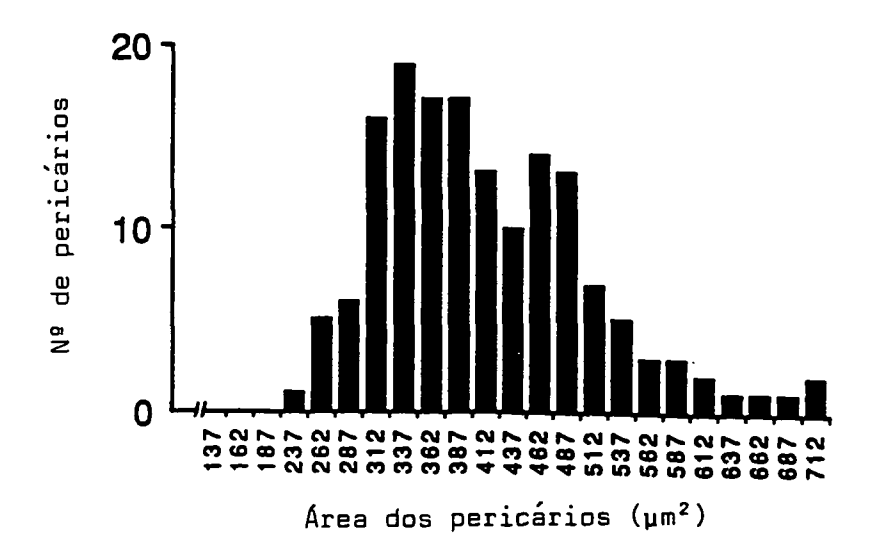


Figura 16. Áreas dos pericários secretores de UI-ir dos C. auratus do grupo "A"

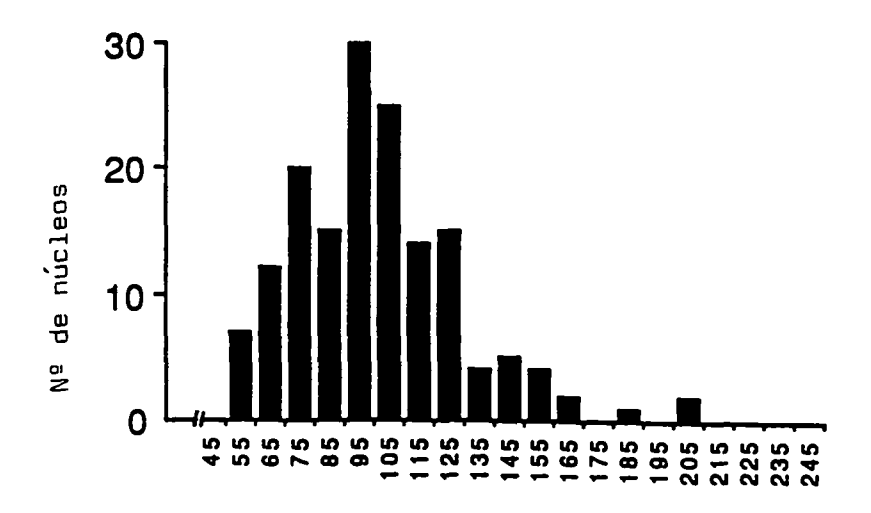


Figura 17. Áreas dos núcleos de neurônios se - cretores de UI-ir dos C. auratus do grupo "A"

Área dos núcleos (µm²)

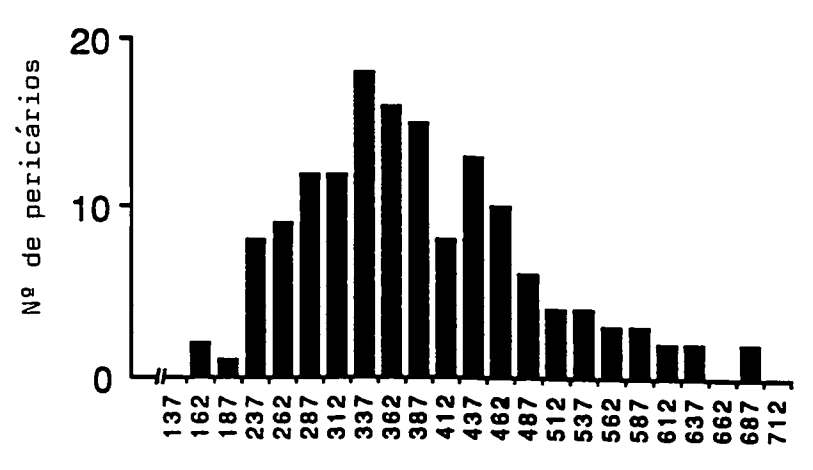
4.2.2 PEIXES TRATADOS COM METOPIRONA (GRUPO "B")

A ação da metopirona sobre as células neurossecretoras de C. auratus foi pesquisada em um grupo de peixes tratados com injeções peritoneais diárias desta droga, durante 6 dias. Os pericários imunorreativos a UI destas amostras apresentaram coloração mais intensa (marrom acentuado) e os nucléolos mais evidentes, quando comparados ao grupo controle.

As áreas medidas nos diversos pericários e em seus respectivos núcleos apresentaram variações neste grupo de peixes tratados (tabela III). A morfometria das superfícies celulares resultou em duas populações, com áreas menores que as das células dos peixes do grupo controle: células pequenas com áreas entre 162 e 412 μ m² (fig.18), com núcleos também pequenos, cujas áreas variavam entre 45 e 95 μ m² (fig.19), e magnocélulas, com áreas distribuídas entre os limites de 412 e 687 μ m² (fig. 18), as quais possuíam núcleo grande, com áreas entre 95 e 165 μ m² (fig.19).

O estudo morfométrico das superfícies celulares e nucleares das células Dahlgren imunorreativas a UI mostrou uma diminuição destas áreas nos peixes que foram tratados com metopirona, quando comparado aos peixes do grupo testemunha (figs. 20,21)

Os pericários imunorreativos a UI dos peixes tratados com metopirona foram observados com maior freqüência na região posterior da medula espinhal, mais próximos à urófise.



Área dos pericários (µm²)

Figura 18. Áreas dos pericários secretores de UI-ir dos C. auratus do grupo "B"

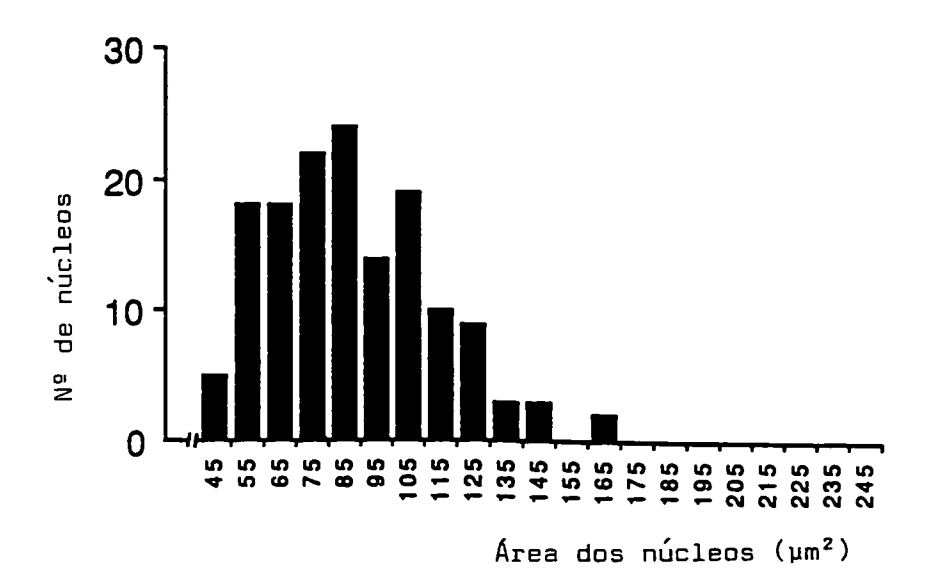


Figura 19. Áreas dos núcleos de neurônios se - cretores de UI-ir dos **C. auratus** do grupo "B"

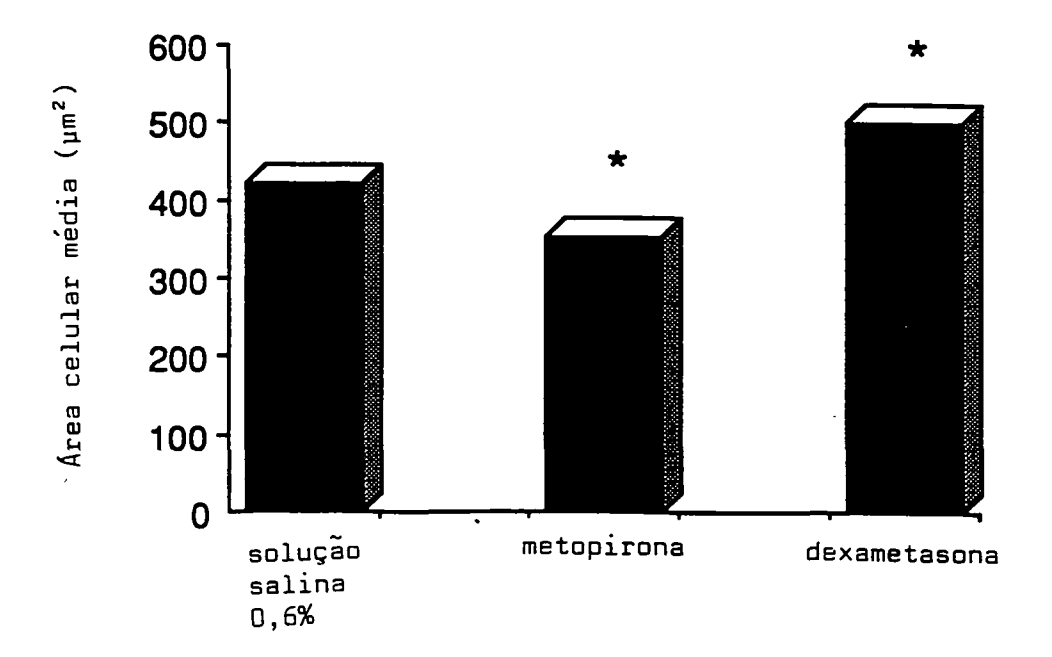


Figura 20. Média das áreas dos pericários secretores de UI-ir dos C. auratus tratados com solução salina 0,6% (grupo "A"); metopirona (grupo "B") e dexametasona (grupo "C").

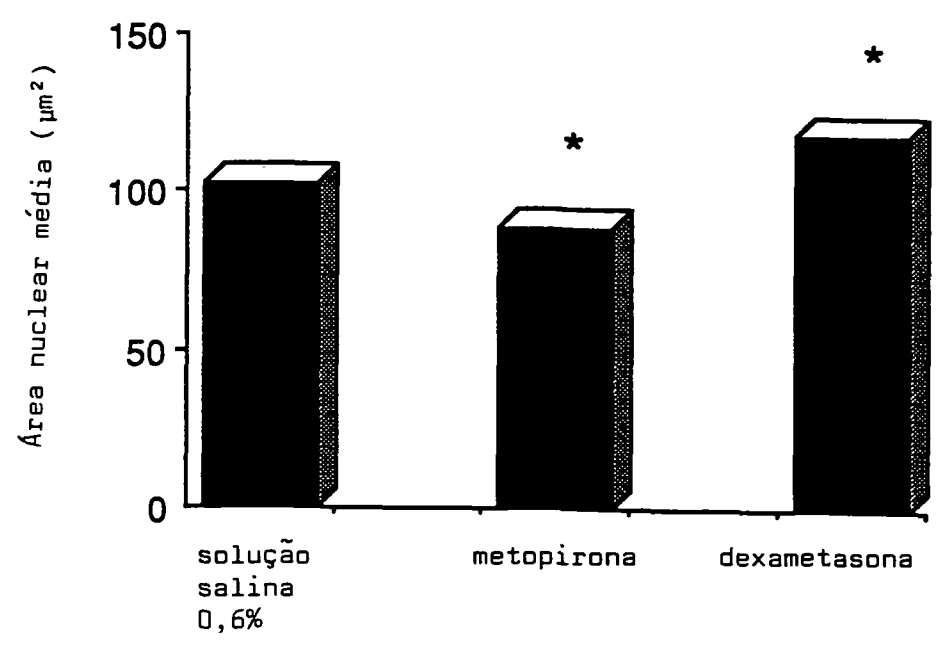


Figura 21. Média das áreas dos núcleos de neurônios secretores de UI-ir dos C. auratus tratados com solução salina 0,6% (grupo "A"); metopirona (grupo "B"; dexametasona (grupo "C")

Pode-se afirmar que as diferenças encontradas são estatisticamente significativas a um nível de probabilidades de p < 0.05 (tabelas IV e V).

4.2.3 PEIXES TRATADOS COM DEXAMETASONA (GRUPO "C)

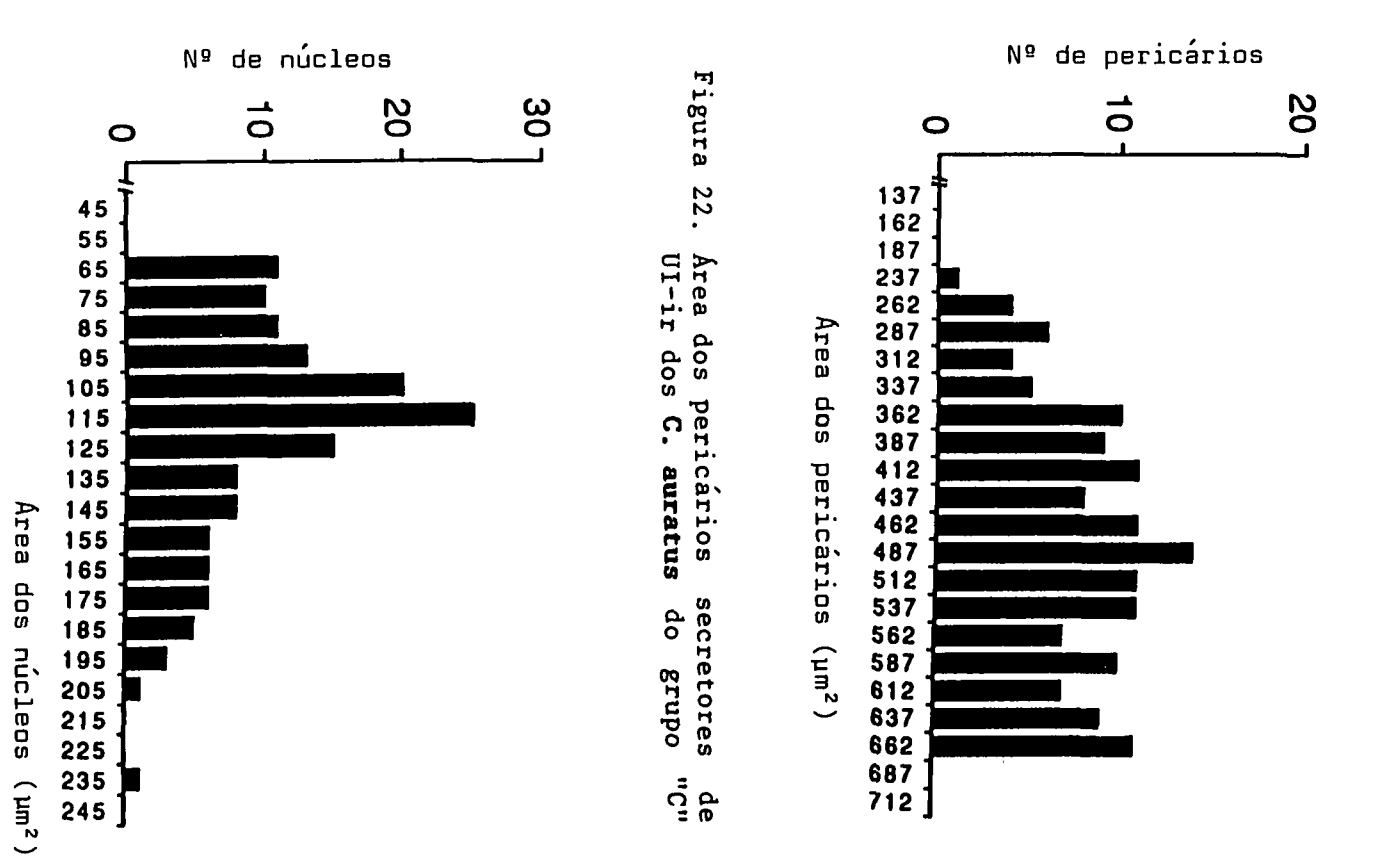
Outro grupo de peixes, tratado com injeções peritoneais de dexametasona durante 6 dias, foi posteriormente
sacrificado para analisar a ação da droga sobre as superfícies das células neurossecretoras de C. auratus.

A população dos peixes tratados com dexametasona apresentou em suas células imunorreativas à UI uma diminuição na intensidade da imunocoloração (marrom mais claro), bem como menor freqüência dos nucléolos visíveis, em relação ao grupo controle.

As injeções de dexametasona provocaram alterações de diferentes magnitudes na morfologia das células Dahlgren. Assim, através da morfometria, verificou-se que as áreas celulares (tabela III) situaram-se num intervalo de 237 e $662 \ \mu m^2$ (fig.22), e as áreas dos núcleos, em valores distribuídos entre 65 e $235 \ \mu m^2$ (fig.23).

No grupo "C", as células neurossecretoras imunorreativas à UI distribuíram-se de modo irregular ao longo da medula espinhal, margeando o canal central.

A análise estatística revelou um aumento significativo da área celular dos pericários (fig.20), após o tratamento hormonal, a um nível de probabilidade p < 0,05 (tabela VI).



Figura

23.

Áreas dos núcleos de neurônios secretores de UI-ir dos **C. auratus** do grupo "C"

TABELA Nº IV

ANÁLISE ESTATÍSTICA DAS ÁREAS DOS PERICÁRIOS NEUROSSECRETORES IMUNORREATIVOS À UROTENSINA I

COMPARAÇÃO DOS GRUPOS "A" E "B"

Teste t de "Student"

Grupo	Total de células medidas	Média (μm²)	Desvio padrão (µm²)	t	gl	р
GRUPO "A" (controle)						
7 peixes GRUPO "B" (metopirona)	159	420,06	112,0 <u>6</u>	5,50*	303	<0,05
7 peixes	147	353,99	98,16			
A diferença	entre os	grupos "A"	e "B" é	estatis	ticament	e sig -

A diferença entre os grupos "A" e "B" é estatisticamente significativa

TABELA Nº V

ANÁLISE ESTATÍSTICA DAS ÁREAS DOS NÚCLEOS DAS CÉLU-LAS NEUROSSECRETORAS IMUNORREATIVAS À UROTENSINA I

COMPARAÇÃO DOS GRUPOS "A" E "B"

Teste t de "Student"

Grupo	Total de núcleos medidos	Média (_{um²})	Desvio padrão (µm²)	t	g1	D
GRUPO "A" (controle)						
7 peixes GRUPO "B" (metopirona)	159	102,33	<u>27,7</u> 4	4,43*	304	<0,05
7 peixes	147	88,68	26,04			

A diferença entre os grupos "A" e "B" é estatisticamente sig - nificativa

TABELA Nº VI

ANÁLISE ESTATÍSTICA DAS ÁREAS DOS PERICÁRIOS NEUROSSECRETORES IMUNORREATIVOS À UROTENSINA I

COMPARAÇÃO DOS GRUPOS "A" E "C"

Teste t de "Student"

Grupo	Total de células medidas	Média (μm²)	Desvio padrão (µm²)	t	gl	D
GRUPO "A"						
(controle)						
7 peixes	159	420,06	112,06	5.57*	277	<0,05
GRUPO "C"				-,		· - ,
(dexametasona)						
7 peixes	152	499,92	151,46			
A diferenca en	tre os grup	os "A" e	"C" é es	tatístic	amente	sig -

A diferença entre os grupos "A" e "C" é estatísticamente significativa Por sua vez, a média das áreas dos núcleos das células neurossecretoras do grupo controle mostrou-se significativamente menor (ao nível de probabilidade de p < 0,05) (fig. 21),
do que a média das áreas dos núcleos dos neurônios que sofreram a ação da dexametasona (tabela VII). Pode-se aceitar
que a dexametasona age, direta ou indiretamente, como substância biologicamente ativa, sobre os pericários e os núcleos
das células Dahlgren.

Os resultados obtidos nos dois grupos de peixes injetados com metopirona ou dexametasona indicaram que a atividade secretora dos neurônios liberadores de UI é estimulada pelos hormônios adrenocorticosteróides.

4.3 ANÁLISE HISTOLÓGICA E MORFOMÉTRICA DOS NEURÔNIOS IMUNORREATIVOS À UROTENSINA II

As células Dahlgren do sistema neurossecretor caudal, presentes em C. auratus, também secretam UII. A presença desse peptídio foi detectada por uma imunorreatividade granular observada no interior do citoplasma dos neurônios dos exemplares que integravam o grupo controle. O anti-soro específico para UII, utilizado em reações imunocitoquímicas, revelou em cortes histológicos três tipos de células Dahlgren com tamanho e forma diversos (figs. 24,25). Células neurossecretoras de forma arredondada, de tamanho pequeno, possuindo um citoplasma reduzido e um núcleo circular, volumoso,

TABELA Nº VII

ANÁLISE ESTATÍSTICA DAS ÁREAS DOS NÚCLEOS DAS CÉLU-LAS NEUROSSECRETORAS IMUNORREATIVAS 'A UROTENSINA I

COMPARAÇÃO DOS GRUPOS "A" E "C"

Teste **t** de "Student"

Grupo	Total de núcleos medidos	Média (µm²)	Desvio padrão (µm²)	t_	gl	P
GRUPO "A"						
(controle)						
7 peixes	159	102,33	27,74	4,43*	284	<0.05
GRUPO "C"				,,	20.	10,00
(dexametasona)						
7 peixes	152	118,45	35,80			
A diferença en	tre os grup	os "A" e	"C" é est	tatistic	amente	sig -

nificativa

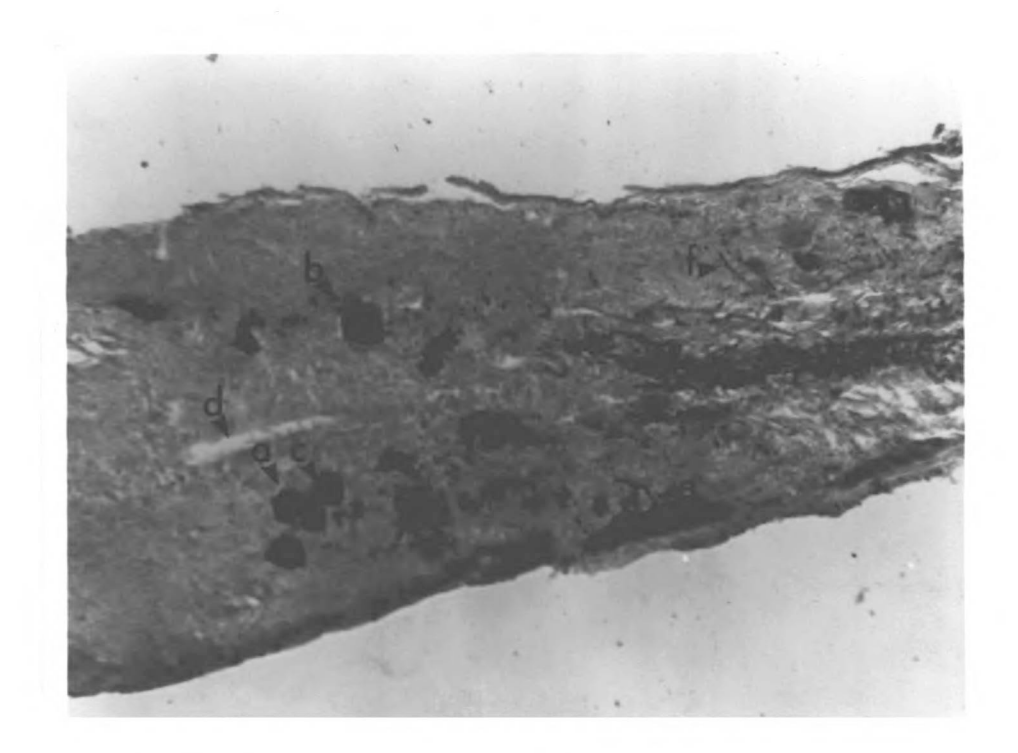


Figura 24. Corte histológico sagital próximo da linha mediana da porção caudal da medula espinhal de ${\bf C.}$ auratus do gru po "A".

Teste imunocitoquímico para UII.

(a) Células Dahlgren imunorreativas à UII, de tamanho médio e formato irregular; (b) neurônios secretores <u>i</u> munorreativos à UII, de tamanho grande, ovóides, com citoplasma abundante, (c) núcleo esférico; (d) vista parcial do canal central; (e) fibras imunorreativas à UII lisas e (f) em forma de rosário. Aumento: 160X.

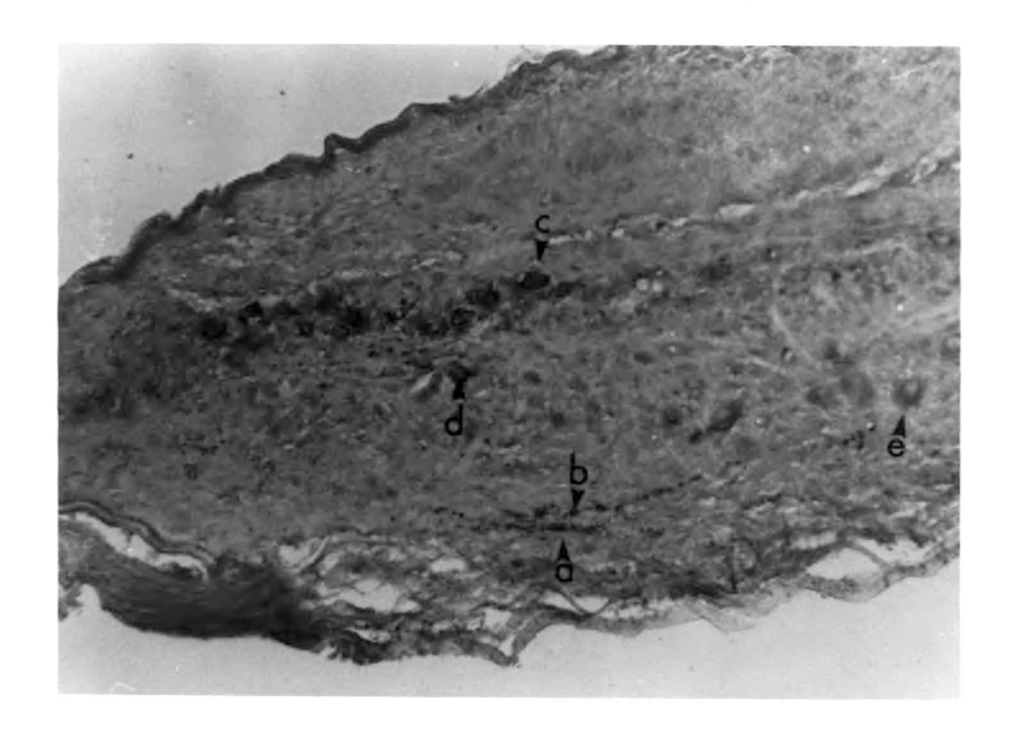


Figura 25. Corte histológico sagital da medula espinhal de C. auratus do grupo "A", mostrando diferentes populações ce lulares.

Teste imunocitoquímico para UII.

(a) Células neurossecretoras imunorreativas à UII pe quenas, de forma arredondada, citoplasma reduzido e (b) um núcleo circular volumoso; (c) neurônios secretores imunorreativos à UII de tamanho médio, com citoplasma reduzido, contendo (d) um núcleo esférico muito grande; (e) neurônios com fraca imunorreatividade à UII.

Aumento: 160X.

com escassa cromatina, no qual não foi possível visualizar nucléolo, foram observadas na porção dorsal da medula espinhal (fig.26). Não muito próximo à urófise, submarginais ao canal central, identificaram-se neurônios irregulares de tamanho médio, com citoplasma reduzido, contendo um núcleo esférico muito grande, com cromatina relativamente escassa (fig.27). Nucléolos não foram observados. Em ambos os lados da medula espinhal, em uma região proximal à urófise, encontraram-se células grandes, ovóides, com citoplasma abundante, núcleo esférico e excêntrico, contendo cromatina com aspecto de rede de malhas finas e um nucléolo geralmente central (fig. 28).

Alguns axônios das células maiores e das de tamanho médio estendem-se em direção à urófise, até atingi-la. Nas células neurossecretoras pequenas, alguns axônios de trajeto oblíquo aproximam-se do canal central e, sem atingi-lo, dirigem-se também para a urófise.

Alguns pericários magno e parvocelulares fortemente imunorreativos à UII possuem ramificações que, terminando como bulbos, chegam ao canal central e, atravessando as células de revestimento, entram diretamente em contacto com o fluido cerebrospinal (fig. 29). As magnocélulas são ovóides com citoplasma reduzido, núcleo ovalar grande, contendo cromatina esparsa (fig. 30). As parvocélulas, mais ou menos esféricas, também com escasso citoplasma, núcleo grande e esférico, apresentam cromatina espessa, em pequena quantidade (fig.30). Nessas células não foram visualizados nucléolos.

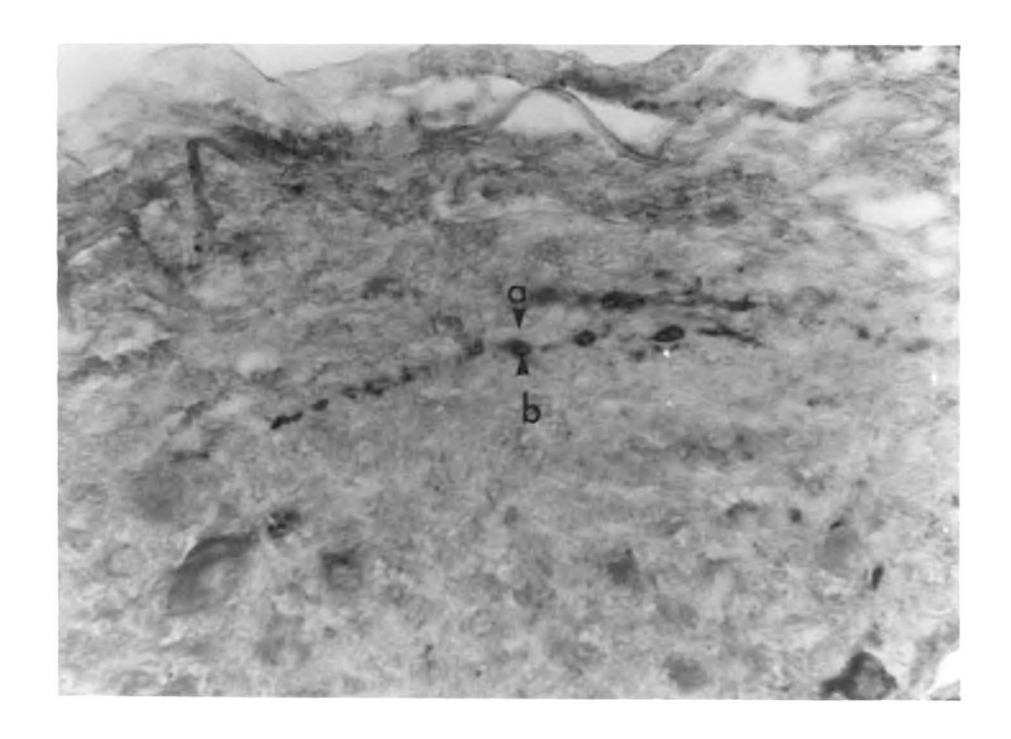


Figura 26. Detalhe de um corte histológico sagital da medula espinhal de C. auratus do grupo "A", mostrando os neurônios secretores imunorreativos à UII pequenos.

Teste imunocitoquímico para UII.

(a) células neurossecretoras imunorreativas à UII pequenas, de forma arredondada, citoplasma reduzido e (b) um núcleo circular, volumoso.

Aumento: 400X.

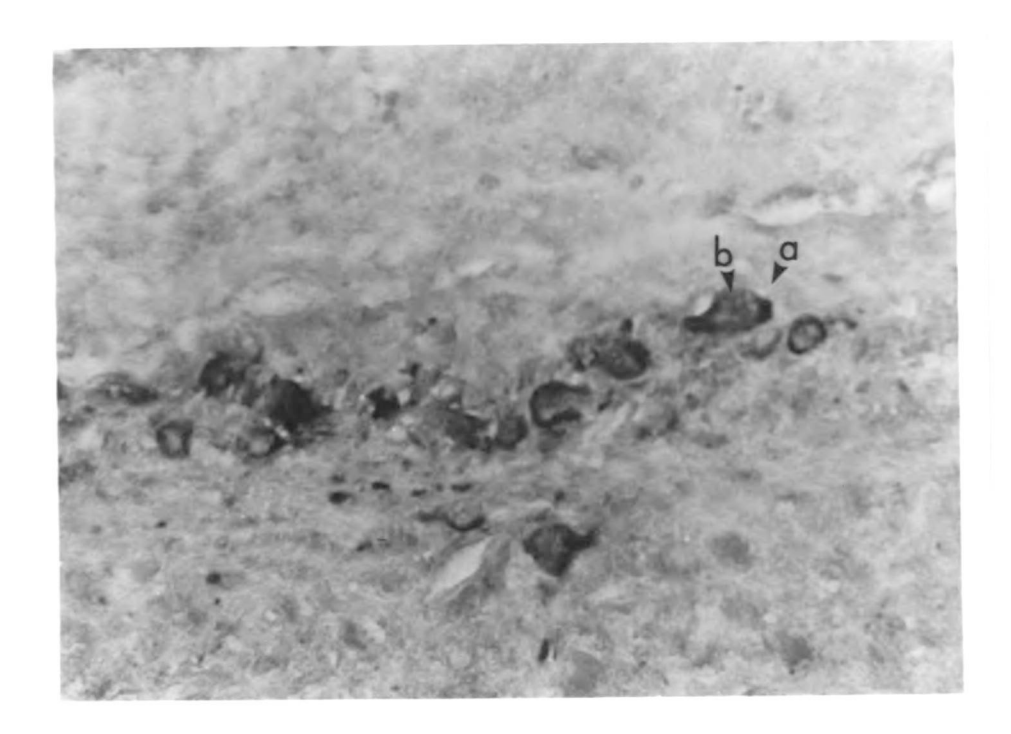


Figura 27. Detalhe de um corte histológico sagital da medula espinhal de C. auratus do grupo "A", mostrando as células Dahlgren imunorreativas à UII, de tamanho médio.

Teste imunocitoquímico para UII.

(a) Células neurossecretoras imunorreativas à UII, de tamanho médio, com citoplasma reduzido, contendo (b) um núcleo esférico muito grande.

Aumento: 400X

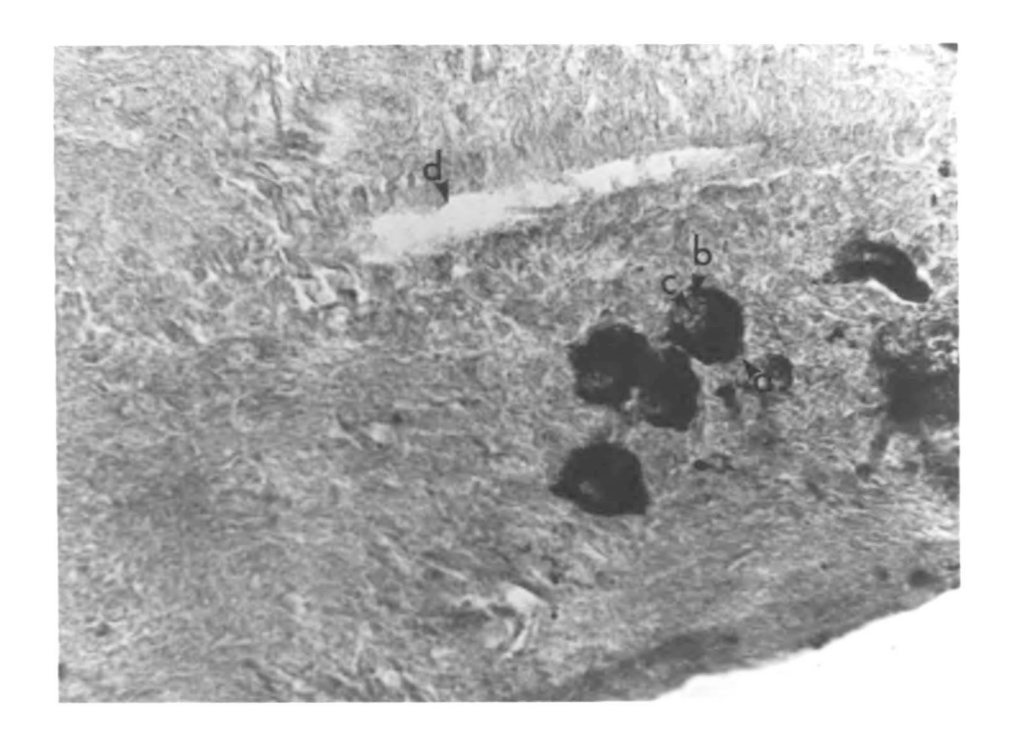


Figura 28. Aspecto dos pericários grandes da região caudal da medula espinhal de **C. auratus** do grupo "A"; corte histológico sagital.

Teste imunocitoquímico para UII.

(a) Pericários neurossecretores imunorreativos à UII grandes, com citoplasma abundante, (b) núcleo esférico, excêntrico, contendo cromatina com aspecto de rede de malhas finas e (c) um nucléolo central; (d) vista parcial do canal central.

Aumento: 400X.



Figura 29. Corte histológico sagital da porção caudal da medula espinhal de **C. auratus** do grupo "A", mostrando células neu rossecretoras que contactam o fluido cerebrospinal.

Teste imunocitoquímico para UII.

(a) Canal central; (b) magnocélula fortemente imunorreativa à UII; (c) parvocélulas secretoras imunorreativas à UII.

Aumento: 160X.



Figura 30. Aspecto de um corte histológico sagital, mostrando os pericários parvo e magnocelulares imunorreativos à UII que contactam o fluido cerebrospinal de C. auratus do grupo "A".

Teste imunocitoquímico para UII.

(a) Canal central; parvocélulas secretoras imunorreativas à UII, mais ou menos esféricas, com citoplasma escas so, (b) núcleo grande e esférico, com pequena quantidade de cromatina; (c) magnocélulas secretoras imunorreati vas à UII ovoides, com citoplasma reduzido, (d) núcleo ovalar grande, com cromatina esparsa.

Aumento: 400X.

A observação microscópica mostrou esses neurônios agrupados em contínua coluna de células, acompanhando lateralmente o canal central (fig. 30).

4.3.1 PEIXES TRATADOS COM SOLUÇÃO SALINA 0,6% (GRUPO "A", CONTROLE)

A pesquisa morfométrica realizada em células neuros-secretoras imunorreativas à UII da medula espinhal caudal dos C. auratus que compõem o grupo controle (Grupo "A) confirmou a presença de três populações de pericários: células neurossecretoras pequenas, com áreas distribuídas em um intervalo entre 12 e 187 μ m² (fig.31) e núcleos com área medindo entre 5 e 65 μ m² (fig.32). Outra população de células de tamanho intermediário mostrava área oscilando entre 187 e 387 μ m² (fig.31), cujos núcleos apresentaram área entre 65 e 105 μ m² (fig.32). Em um terceiro grupo com células neurossecretoras grandes, mediram-se áreas celulares variáveis entre 387 e 562 μ m² (fig.31), com núcleos cuja área estava distribuída entre 105 e 215 μ m² (fig.32).

Calculou-se a média e o desvio padrão das variáveis em estudo, isto é, a média das áreas dos pericários e dos seus respectivos núcleos (tabela VIII).

As células neurossecretoras imunorreativas à UII do grupo controle que possuem prolongamentos dendríticos que contactam o fluido cerebrospinal foram analisadas morfometricamente (tabela IX). Dois grupos de células destacaramse: neurônios parvocelulares possuidores de área celular in-

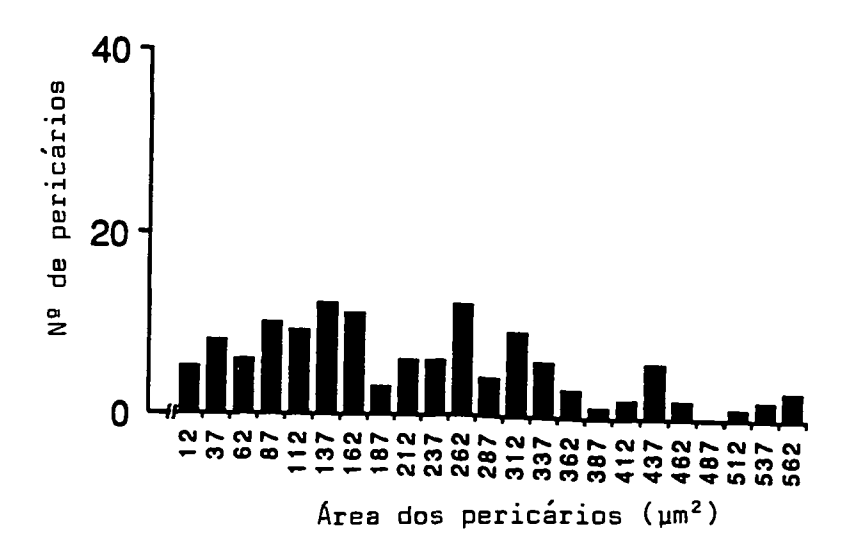


Figura 31. Área dos pericários secretores de UII-ir dos C. auratus do grupo "A"

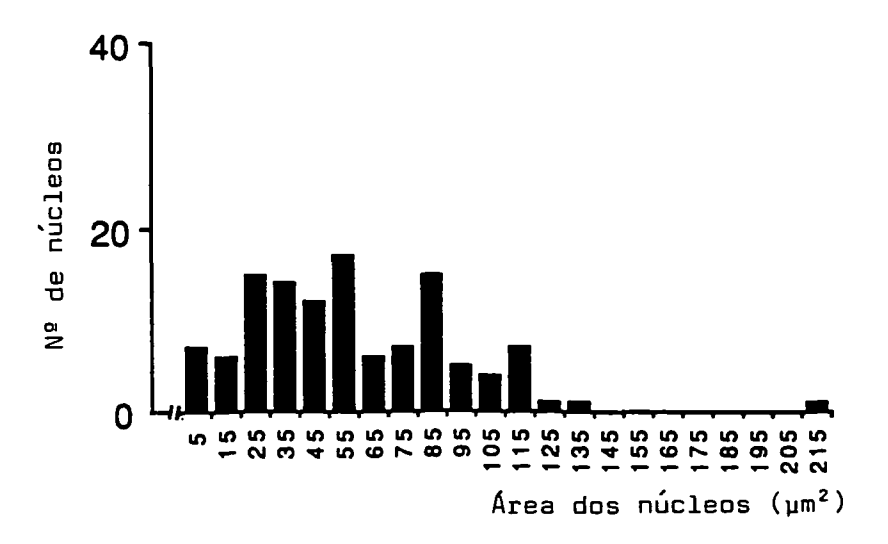


Figura 32. Áreas dos núcleos de neurônios secretores de UII-ir dos C. auratus do grupo "A"

TABELA Nº VIII

ANÁLISE MORFOMÉTRICA DAS ÁREAS DAS CÉ-LULAS NEUROSSECRETORAS IMUNORREATIVAS À UROTENSINA II (PERICÁRIOS E NÚCLEOS)

						
			PERICÁ		NÚCLE	
	Nº do	Nº de		Desvio		Desvio
Tipo de	animal no	neurônios	Média	padrão	Média	padrão
tratamento	<u>experimento</u>	estudados	(µm²)	(µm²)	(µm²)	(լլm²)
	52	23	211,26	130,86	61,51	33,92
Solução	S 5	20	235,71	148,58	60,06	34,68
salina	S6	20	306,23	130,20	66,90	26,78
0,6%	58	21	293,63	104,39	68,39	26,98
	S 9	20	160,85	77,57	56,60	41,19
	510	23	114,63	145,95	27,12	29,45
	М3	20	61,23	58,34	16,24	13,68
	M5	21	113,04	52,43	31,44	10,10
Metopirona	M6	25	52,46	37,13	17,14	10,95
•	M9	25	97,96	92,44	24,22	21,22
	M1 0	25	171,79	70,96	49,82	22,23
	D6	22	355,30	103,57	88,61	30,92
	D7	20	329,22	78,29	67,47	17,33
Dexametasona	D8	20	210,75	130,44	63,33	42,90
	D9	25	285,87	115,55	72,67	30,69
	D10	24	210,01	125,94	47,99	25,89
	D11	25	100,29	125,54	29,30	37,91

TABELA Nº IX

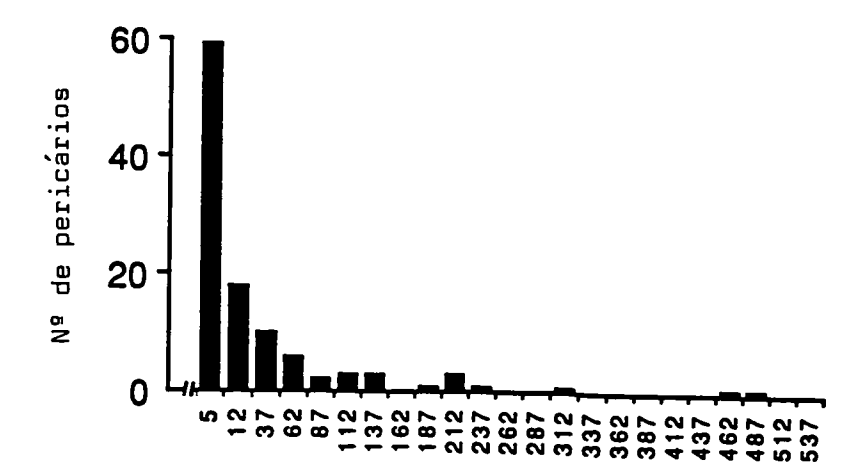
ANÁLISE MORFOMÉTRICA DAS ÁREAS DAS CÉLULAS NEUROSSECRETORAS IMUNORREATIVAS À UROTENSINA II QUE CONTACTAM O FLUIDO CEREBROSPINAL (PERICÁRIOS E NÚCLEOS)

			PERICÁ	RIOS	NÚCLEOS		
	Nº do	Nº de		Desvio		Desvio	
Tipo de	animal no	neurônios	Média	padrão	Média	padrão	
tratamento	experimento	estudados	(<u>µm²)</u>	(µm²)	(լլm²)	(_{um²)}	
	S2	25	44,15	57,89	10,32	9,24	
	53	8	283,52	151,04	62,58	25,79	
Solução	S5	25	30,01	22,43	8,52	4,73	
salina	S6	8	283,52	151,04	62,58	25,79	
0,6%	S 7	3	290,43	48,23	90,62	22,41	
	S8	14	16,26	В,79	5,19	3,32	
	S 9	7	95,21	29,33	30,78	11,47	
	S10	25	16,75	10,20	4,89	3,57	
	М3	25	52,39	26,16	16,10	9,39	
Metopirona	M 5	20	62,24	29,18	14,97	7,91	
	M9	25	117,71	90,88	34,88	<u>31,33</u>	
	D6	20	67,95	14,81	25,31	6,56	
	D7	25	172,54	88,85	47,21	23,90	
Dexametasona	DB	22	65,77	15,13	27,03	7,86	
	D9	21	65,99	15,26	27,33	7,25	
	D1 O	25	173,91	123,47	44,52	30,59	
	D11	22	170,40	90,85	58,51	27,52	
	D12	25	152,79	104,51	40,59	28,9D	

ferior a 112 μ m² (fig. 33), portadores de núcleo com área nuclear igualmente pequena, oscilando entre 5 e 65 μ m² (fig. 34); outros neurônios magnocelulares com área celular entre 112 e 487 μ m² (fig. 33) apresentavam núcleo com área entre 65 e 115 μ m² (fig. 34). A maior freqüência de amostras celulares desses neurônios secretores estudados no grupo "A" era de parvocélulas. A caracterização de um neurônio individual padrão foi dificultada, devido à distribuição dispersiva das amostras celulares estudadas (tabela IX).

4.3.2 PEIXES TRATADOS COM METOPIRONA (GRUPO "B")

Após as injeções de metopirona num grupo de C. auratus, observou-se, em microscopia óptica, que a ação desta droga reduziu o tamanho das áreas celulares nas células Dahlgren imunorreativas à UII. Entretanto, pela análise morfométrica, verificou-se que, embora reduzidas as superfícies dos neurônios e dos seus núcleos, foram mantidas as três populações: pequenos, médios e grandes. As áreas das células Dahlgren pequenas mediam entre 12 e 37 μm² (fig. 35) e a área nuclear tinha entre 5 e 15 μm² (fig. 36); neurônios de tamanho intermediário, com área dos pericários variando entre 37 e 162 μm² (fig. 35) e área nuclear entre 15 e 65 μm² (fig. 36), foram encontrados; as células neurossecretoras grandes apresentavam corpo celular com área entre 162 e 287 μm² (fig. 35) e núcleos variando entre 65 e 95 μm² (fig. 36).



Área dos pericários (µm²)

Figura 33. Área dos pericários dos neurônios que contactam o fluido cerebrospi - nal secretores de UII-ir dos C. auratus do grupo "A".

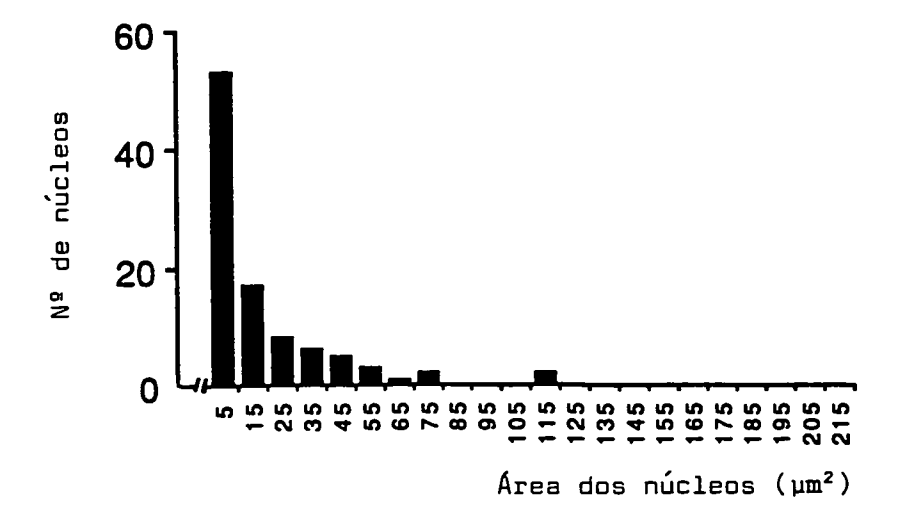
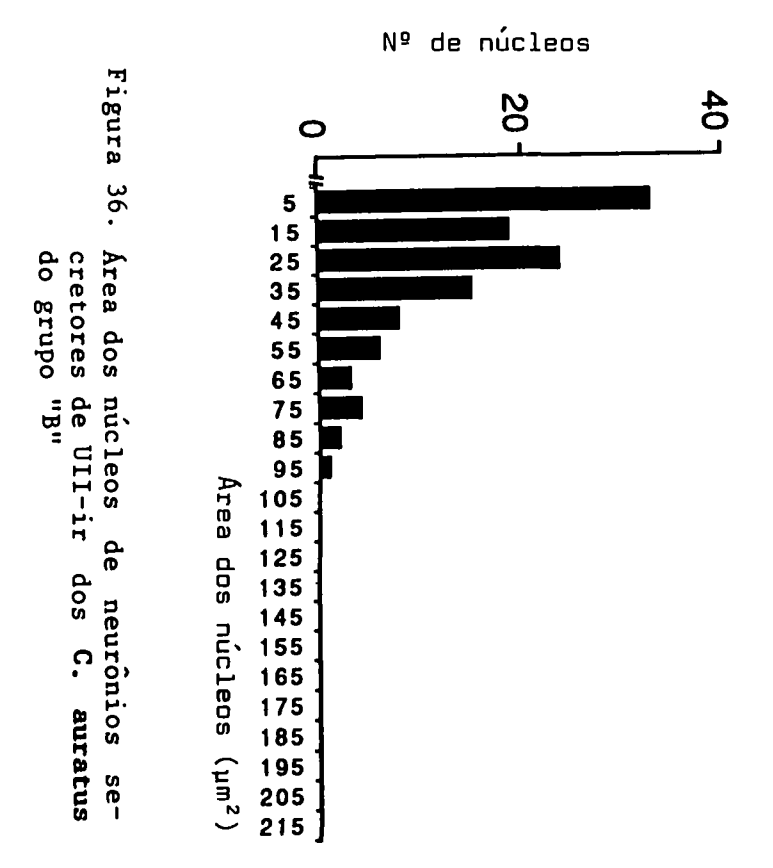


Figura 34. Área dos núcleos de neurônios que contactam o fluido cerebrospinal secretores de UII-ir dos C. auratus do grupo "A".



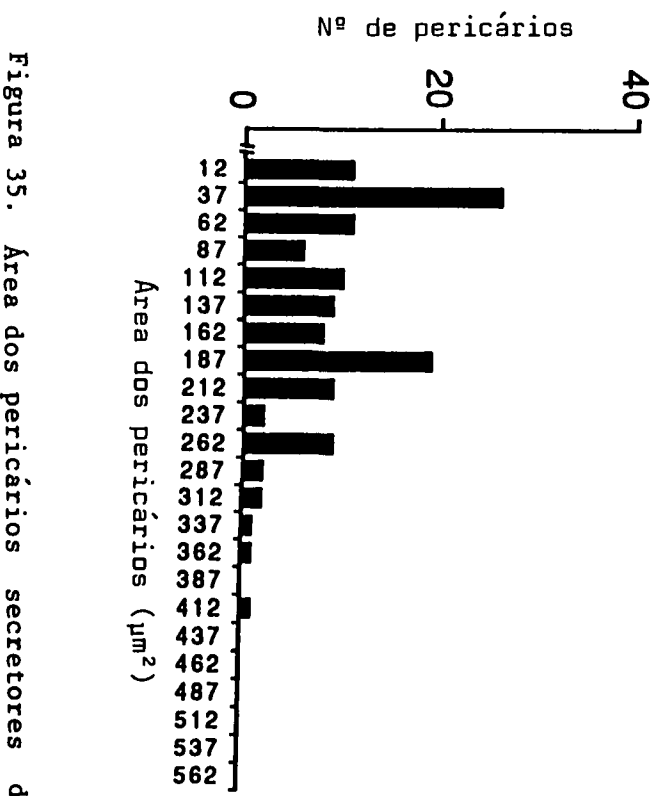


Figura 35. Área dos pericários UII-ir dos C. aurati auratus secretores s do grupo de "B"

As células Dahlgren dessas populações diminuíram significativamente sua área, a um nível de probabilidade p < 0,05 (tabela X, fig. 37), bem como as respectivas áreas nucleares (tabela XI; fig. 38), quando comparadas com a análise morfométrica das médias das mesmas variáveis estudadas no grupo testemunha.

Sob a ação da metopirona, a distribuição dos pericários e dos seus respectivos núcleos, ao longo da medula espinhal, bem como a intensidade da imunorreação à UII, não sofreram alterações em relação ao grupo controle.

As células neurossecretoras imunorreativas à UII que contactam o fluido cerebrospinal, dos C. auratus tratados com metopirona por seis dias, foram medidas morfometricamente. Esses neurônios apresentaram as mesmas características das populações celulares anteriormente descritas no grupo "A", observando-se, apenas, um pequeno aumento da área dos neurônios secretores e de seus respectivos núcleos (tabela IX).

A análise morfométrica das parvocélulas mostrou áreas celulares inferiores a 162 μm^2 (fig. 39) e áreas nucleares abaixo de 65 μm^2 (fig. 40). Os neurônios magnocelulares apresentaram área celular entre 162 e 287 μm^2 (fig. 39) e eram portadores de núcleo de área nuclear entre 65 e 135 μm^2 (fig. 40).

As análises morfométricas das áreas pericárias e nucleares, realizadas nos neurônios secretores incluídos neste grupo "B", mostraram que, após a injeção de metopirona, ocor-

TABELA Nº X

ANÁLISE ESTATÍSTICA DAS ÁREAS DOS PERICÁRIOS NEUROSSECRETORES IMUNORREATIVOS À UROTENSINA II

COMPARAÇÃO DOS GRUPOS "A" E "B"

Teste t de "Student"

Grupo	Total de células medidas	Média (µm²)	Desvio padrão (_{um²})	t	gl	p
GRUPO "A" (controle)					-	-
6 peixes GRUPO "B" (metopirona)	127	218,25	141,24	8,14*	199	<0,05
5 peixes	116	100,46	77,89			

A diferença entre os grupos "A" e "B" é estatisticamente signi - ficativa

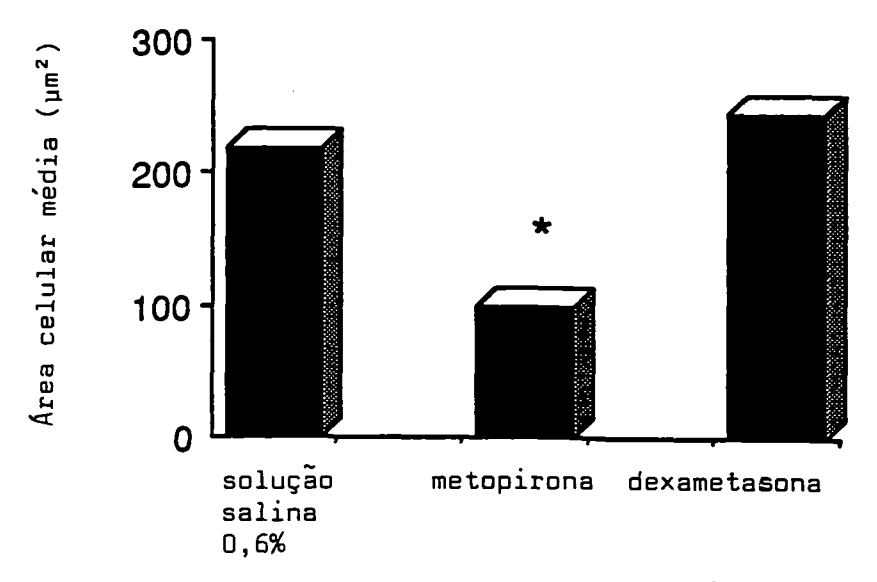


Figura 37. Média das áreas dos pericários se cretores de UII-ir dos C. auratus
tratados com solução salina 0,6%
(grupo "A"); metopirona (grupo "B")
e dexametasona (grupo "C").

TABELA Nº XI

ANÁLISE ESTATÍSTICA DAS ÁREAS DOS NÚCLEOS DAS CÉLU-LAS NEUROSSECRETORAS IMUNORREATIVAS À UROTENSINA II

COMPARAÇÃO DOS GRUPOS "A" E "B"

Teste t de "Student"

Grupo	Total de núcleos medidos	Média (μm²)	Desvio padrão (_{µm²})	t	gl	р
GRUPO "A"						
(controle)						
6 peixes GRUPO "B" (metopirona)	127	56,27	34,90	7,71*	208	<0,05
5 peixes	116	28,11	20,79		 	
A diferença	entre os grupo	s "A" e	"B" é es	tatistic	amente	signi -

A diferença entre os grupos "A" e "B" é estatisticamente significativa

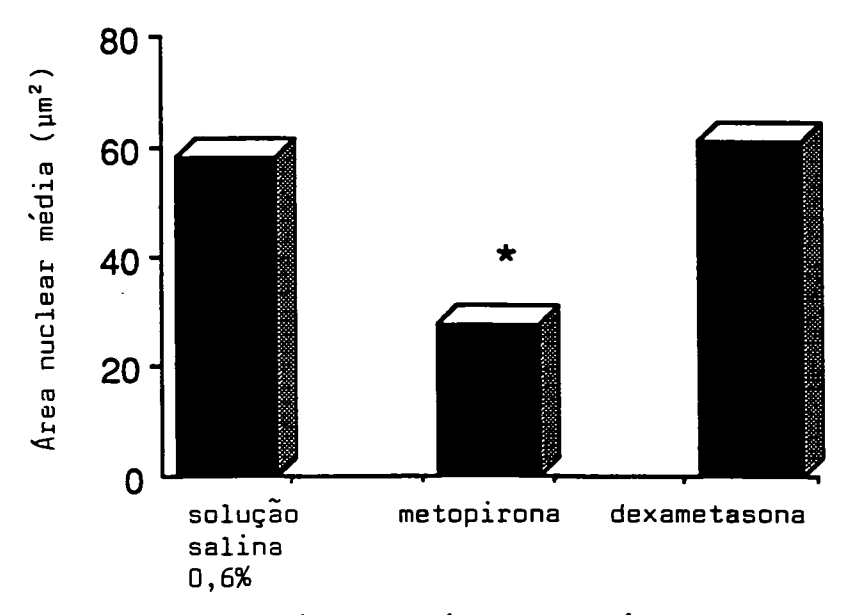
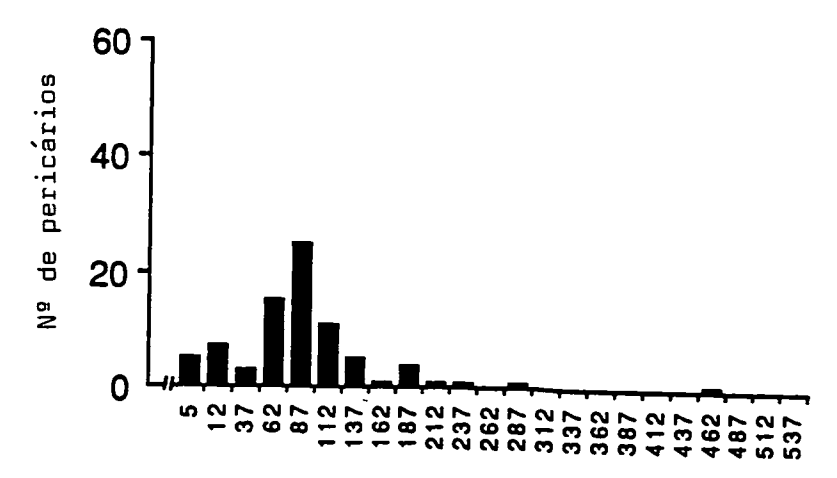
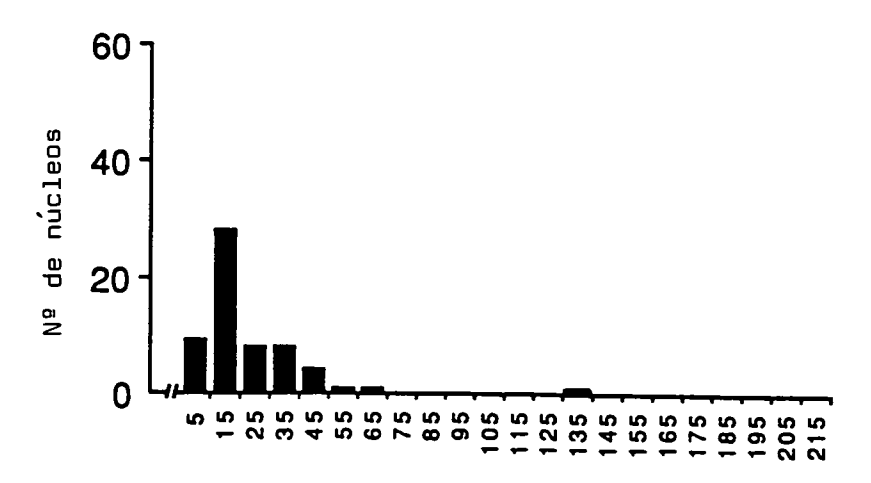


Figura 38. Média das áreas dos núcleos de neurônios secretores de UII dos C. auratus tratados com solução salina 0,6% (grupo "A"); metopirona (grupo "B") e dexametasona (grupo "C").



Área dos pericários (µm²)

Figura 39. Área dos pericários dos neurônios que contactam o fluido cerebrospi - nal secretores de UII-ir dos C. auratus do grupo "B".



Área dos núcleos (µm²)

Figura 40. Área dos núcleos de neurônios que contactam o fluido cerebrospinal secretores de UII-ir dos C. auratus do grupo "B".

reu um aumento não significativo das superfícies celulares e nucleares comparadas com a média das áreas pericárias e nucleares do grupo controle (figs. 41,42; tabelas XII e XIII).

As células neurossecretoras imunorreativas à UII que contactam o fluido cerebrospinal foram observadas somente em três peixes tratados com metopirona, apesar de pesquisadas em todos os cortes histológicos dos exemplares estudados neste grupo.

4.3.3 PEIXES TRATADOS COM DEXAMETASONA (GRUPO "C")

Ao serem analisados os resultados da análise morfométrica dos neurônios imunorreativos à UII dos peixes do grupo "C", tratados com dexametasona durante seis dias, observou-se que as superfícies celulares e nucleares não foram significativamente alteradas, em relação ao grupo controle (tabela VIII).

Com este tratamento, também foram encontradas três populações celulares: células pequenas, com área entre 12 e 187 μ m² (fig. 43), com núcleos de áreas igualmente pequenas, entre 5 e 55 μ m² (fig. 44); os neurônios de tamanho médio foram incluídos entre as células com áreas de 187 e 362 μ m² (fig. 43), tendo seus núcleos área entre 55 e 95 μ m² (fig. 44); por outro lado, as células grandes apresentaram áreas acima de 362 μ m² (fig. 43) e seus núcleos, áreas acima de 95 μ m² (fig. 44).

As células neurossecretoras imunorreativas à UII dos

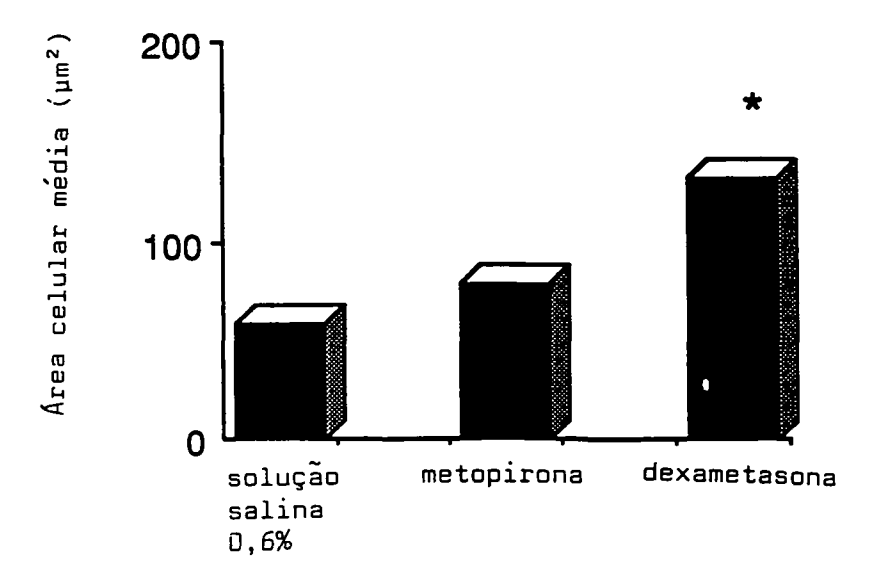


Figura 41. Média das áreas dos pericários dos neurônios que contactam o fluido cerebrospinal secretores de UII-ir dos C. auratus tratados com solução salina 0,6% (grupo "A"); metopirona (grupo "B") e dexametasona (grupo "C").

TABELA Nº XII

ANÁLISE ESTATÍSTICA DAS ÁREAS DOS PERICÁRIOS NEUROSSECRETORES IMUNORREATIVOS À UROTENSINA II QUE CONTACTAM O FLUIDO CEREBROSPINAL

COMPARAÇÃO DOS GRUPOS "A" E "B"

Teste t de "Student"

Grupo	Total de células medidas	Média (µm²)	Desvio padrão (_{um²})	t	gl	p
GRUPO "A" (controle)						
8 peixes GRUPO "B" (metopirona)	117	57,74	90,30	1,82	178	<0,05
3 peixes	70	78,53	65,00			

A diferença entre os grupos "A" e "B" não é estatisticamente signi - ficativa

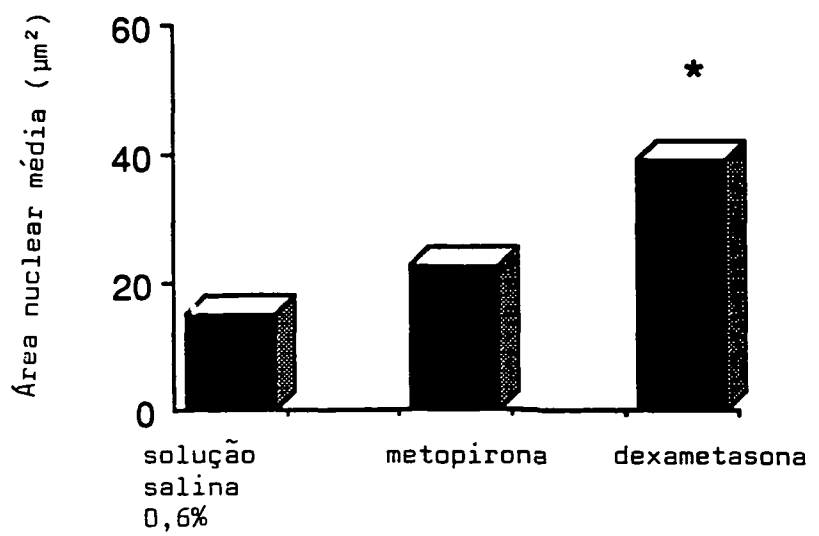


Figura 42. Média das áreas dos núcleos de neurônios que contactam o fluido cerebrospinal secretores de UII-ir dos
C. auratus tratados com solução salina 0,6% (grupo "A"); metopirona
(grupo "B")e dexametasona (grupo
"C").

TABELA Nº XIII

ANÁLISE ESTATÍSTICA DAS ÁREAS DOS NÚCLEOS DAS CÉLULAS NEUROSSECRETORAS IMUNORREATI VAS À UROTENSINA II QUE CONTACTAM O FLUI DO CEREBROSPINAL

COMPARAÇÃO DOS GRUPOS "A" E "B"

Teste t de "Student"

Grupo	Total de núcleos medidos	Média (μm²)	Desvio padrão (µm²)	t	gl	p
GRUPO "A"						
(controle)						
8 peixes GRUPO "B" (metopirona)	117	15,74	21,39	4,13	171	<0,05
3 peixes	70	22,48	21,81			
A diferença e ficativa	entre os gru	pos "A" e	B" não	é estatis	ticamente	signi -

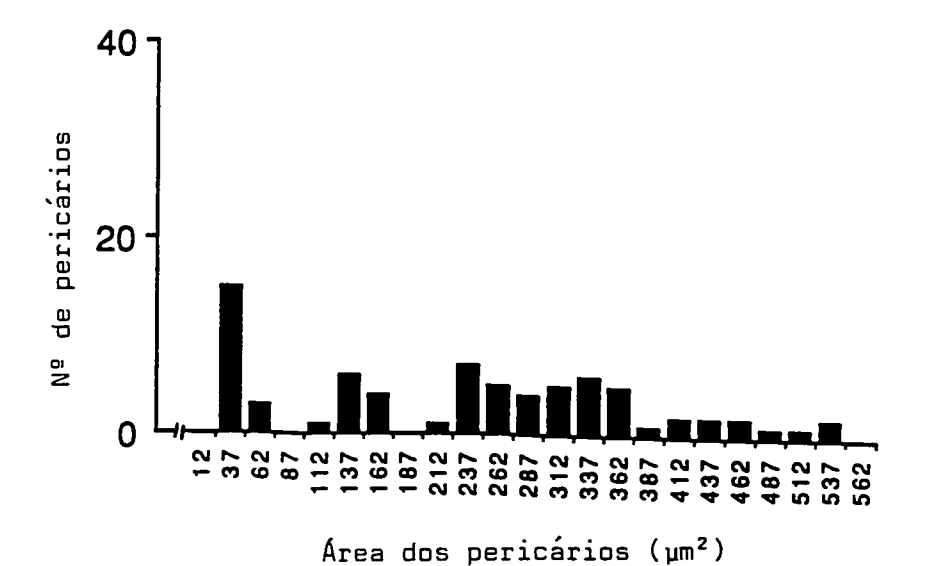


Figura 43. Área dos pericários secretores de UII-ir dos C. auratus do grupo "C"

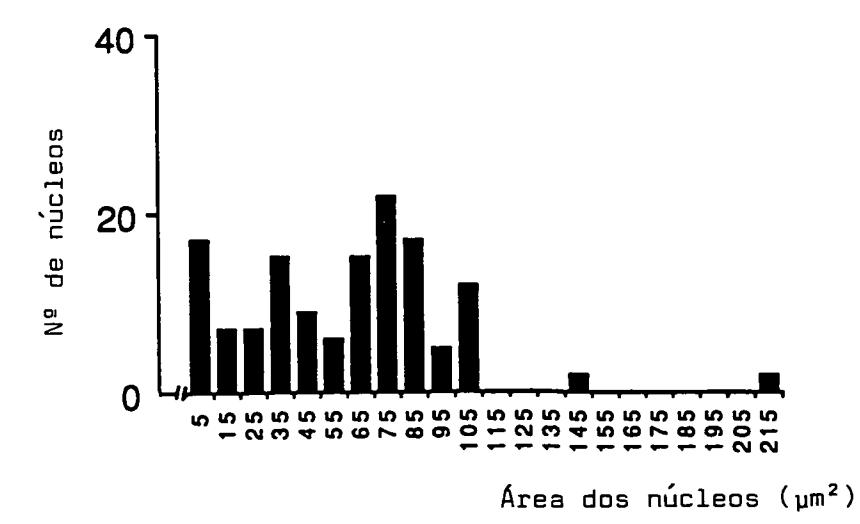


Figura 44. Área dos núcleos de neurônios secretores de UII-ir dos C. auratus do grupo "C"

peixes incluídos no grupo tratado com dexametasona são um pouco maiores que as células do grupo controle, porém não há significado estatístico para as diferenças de tamanho (tabela XIV). Os núcleos destes pericários também apresentaram aumento da área nuclear, porém sem significado estatístico (tabela XV).

Os resultados demonstraram que a atividade secretora dos neurônios liberadores da UII é pouco estimulada pela de-xametasona. Seus efeitos não provocam alterações estatisticamente significativas nas áreas celulares, nem nas nucleares, ao contrário do que foi observado nos pericários e núcleos das células secretoras de UII dos peixes tratados com metopirona (figs. 37,38).

A imunocoloração e a localização das células permaneceram inalteradas, quando comparadas com o grupo testemunha.

A atividade biológica desencadeada por injeções diárias de dexametasona, em um grupo de peixes, mostrou que é capaz de desencadear reações de diferente magnitude, que se traduzem em modificações neuro-hormonais, capazes de alterar a área da superfície celular dos neurônios e de seus respectivos núcleos.

A avaliação morfométrica das células imunorreativas à UII que contactam o fluido cerebrospinal demonstrou alterações nas áreas celulares, que variavam entre 5 e 137 μ m² nas parvocélulas, e de 137 a 462 μ m², nas magnocélulas (fig. 45). As variações das medidas de superfície realizadas nos núcleos das pequenas e grandes células acompanharam essa mesma

TABELA Nº XIV

ANÁLISE ESTATÍSTICA DAS ÁREAS DOS PERICÁRIOS NEUROSSECRETORES IMUNORREATIVOS À UROTENSINA II

COMPARAÇÃO DOS GRUPOS "A" E "C"

Teste t de "Student"

Grupo	Total de células medidas	Média (μm²)	Desvio padrão (µm²)	t	gl_	p
GRUPO"A"						
(controle)						
6 peixes GRUPO "C"	127	218,25	141,24	1,52	261	<0,05
(dexametasona)						
6 peixes	136	244,93	142,88			

A diferença entre os grupos "A" e "C" não é estatisticamente significativa

TABELA Nº XV

ANÁLISE ESTATÍSTICA DAS ÁREAS DOS NÚCLEOS DAS CÉLU-LAS NEUROSSECRETORAS IMUNORREATIVAS À UROTENSINA II

COMPARAÇÃO DOS GRUPOS "A" E "C"

Teste t de "Student"

Grupo	Total de núcleos medidos	Média (μm²)	Desvio padrão (μm²)	t	gl_	р
GRUPO "A" (controle)						·
6 peixes GRUPO "C" (dexametasona)	127	56,27	34,90	1,00	261	<0,05
6 peixes	136	60,78	37,84			

A diferença entre os grupos "A" e "C" não é estatisticamente signi - ficativa

variação, sendo que sua distribuição de freqüências caracterizava populações distintas, que iam de 5 a 65 μ m² nos núcleos das parvocélulas e de 65 a 115 μ m² dos neurônios magnocelulares (fig. 46).

A representação estatística de um valor central para a distribuição das superfícies pericárias na população em estudo foi obtida pela média de todas as análises morfométricas realizadas nas células Dahlgren que contactam o fluido cerebrospinal, incluídas no grupo "C". Igualmente, calculou-se a média das superfícies nucleares das amostras de células imunotratadas na população de peixes que recebeu injeções de dexametasona. Ao serem comparadas as médias do grupo "C" em estudo, com as médias do grupo testemunha (grupo "A"), pela utilização do teste t de Student, concluiu-se que há diferença estatisticamente significativa entre as duas populações, tanto na variável que representa a área celular, quanto na que representa a área nuclear (tabelas XVI e XVII).

Analisando as áreas celulares e nucleares dos neurônios imunorreativos à UII que contactam o fluido cerebrospinal, pode-se afirmar que os dois grupos, grupo "A" ou controle e o grupo "C", tratado com dexametasona, formam populações distintas (figs. 41,42).

Afere-se destes resultados que a dexametasona, um hormônio adrenocorticosteróide, possui significativa ação biológica sobre as áreas celular e nuclear dos neurônios que contactam o fluido cerebrospinal, imunorreativos à UII.

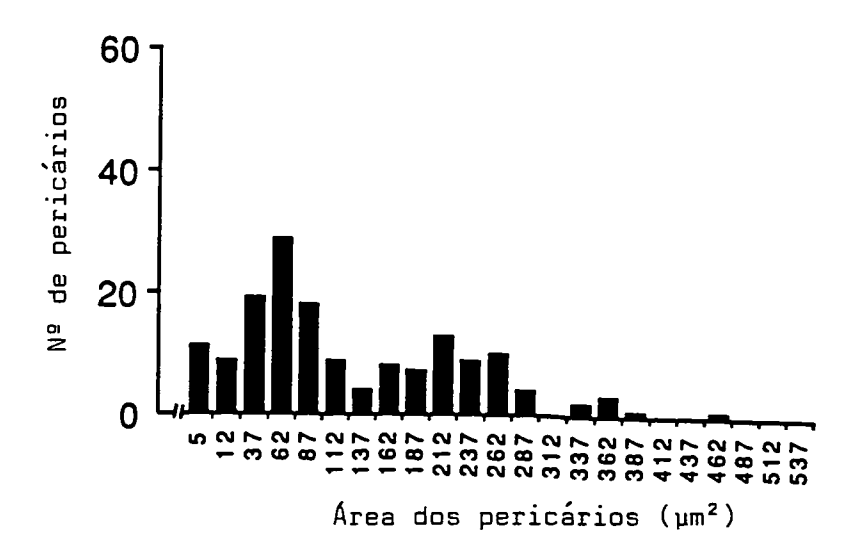


Figura 45. Área dos pericários dos neurônios que contactam o fluido cerebrospinal secretores de UII-ir dos C. auratus do grupo "C".

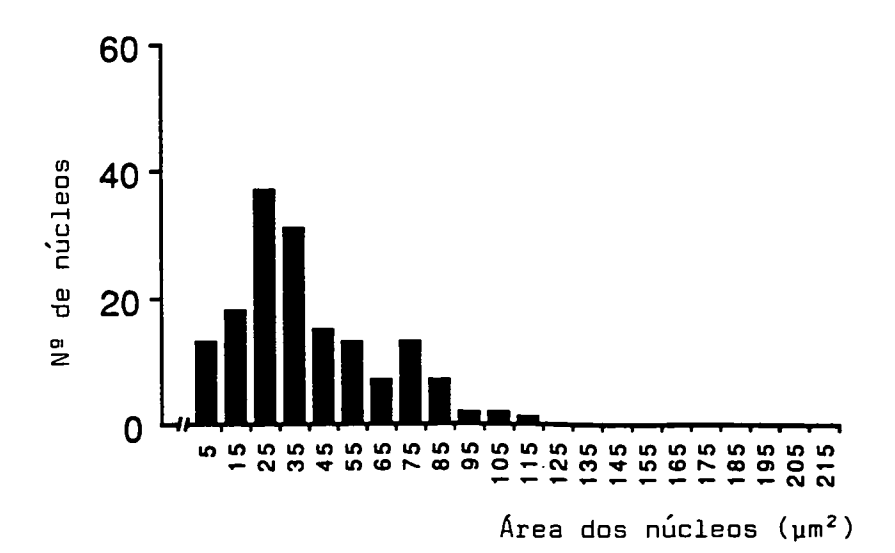


Figura 46. Área dos núcleos de neurônios que contactam o fluido cerebrospinal secretores de UII-ir dos C. auratus do grupo "C".

TABELA Nº XVI

ANÁLISE ESTATÍSTICA DAS ÁREAS DOS PERICÁRIOS NEUROSSECRETORES IMUNORREATIVOS À UROTENSINA II QUE CONTACTAM O FLUIDO CEREBROSPINAL

COMPARAÇÃO DOS GRUPOS "A" E "C"

Teste t de "Student"

	Total de		Desvio			
C	células	Média	padrão		-1	_
Grupo GRUPO "A"	medidas	(µm²)	(_{µm²})	τ	g1	<u> </u>
(controle)						
8 peixes	117	57,74	90,30	6,51*	275	<0,05
GRUPO "C" (dexametasona)						
7 peixes	160	131,62	95,36			
A diferença en	tre os grup	os "A" e	"C" é est	atisticame	nte sig	nifica -

tiva

TABELA Nº XVII

ANÁLISE ESTATÍSTICA DAS ÁREAS DOS NÚCLEOS DAS CÉLULAS NEUROSSECRETORAS IMUNORREATI VAS À UROTENSINA II QUE CONTACTAM O FLUI DO CEREBROSPINAL

COMPARAÇÃO DOS GRUPOS "A" E "C"

Teste t de "Student"

Total de núcleos medidos	Média (µm²)	Desvio padrão (µm²)	. t .	gl	p
117	15,74	21,39	8.63*	266	0.05
			2,00		-,
160	39,18	24,56			
	núcleos medidos	núcleos Média medidos (μm²)	núcleos Média padrão medidos (μm²) (μm²)	núcleos Média padrão medidos (μm²) (μm²) t	núcleos Média padrão medidos (μm²) (μm²) t gl 117 15,74 21,39 8,63* 266

A diferença entre os grupos "A" e "C" é estatisticamente significa - tiva

4.4 TESTE DE CO-LOCALIZAÇÃO

Na busca de neurônios que fossem simultaneamente imunorreativos à UI e UII, em um grupo de peixes tratados com solução salina 0,6%, foram realizados testes de co-localização. A imunorreação obtida nos cortes adjacentes, tratados com anti-soros para UI e para UII, observados em lâminas intercaladas e adjacentes, revelou a coexistência de UI-ir (fig. 47) e UII-ir (fig. 48) ao mesmo tempo, em muitas células. Contudo, pequeno número de pericários imunorreativos à UII mostrou imunorreação fraca ou ausente, na presença do anti-soro UI.

As células Dahlgren, imunorreativas à UII, portadoras das ramificações que atravessam o canal central, contactando o fluido cerebrospinal, armazenam e secretam somente UII-ir, apresentando imunorreações negativas à UI.

4.5 TESTE DE ESPECIFICIDADE

Com a imunocitoquímica procura-se um peptídio existente na célula. Na busca da especificidade da reação antígeno-anti-soro UI, procurou-se neutralizar, in vitro, as propriedades antigênicas dos peptídios, antes de levá-los a reagir diretamente sobre o corte histológico. Assim sendo, processando-se, em um microtubo, uma reação imunológica entre o antígeno UI e o anti-soro diluído desta mesma UI, obteve-

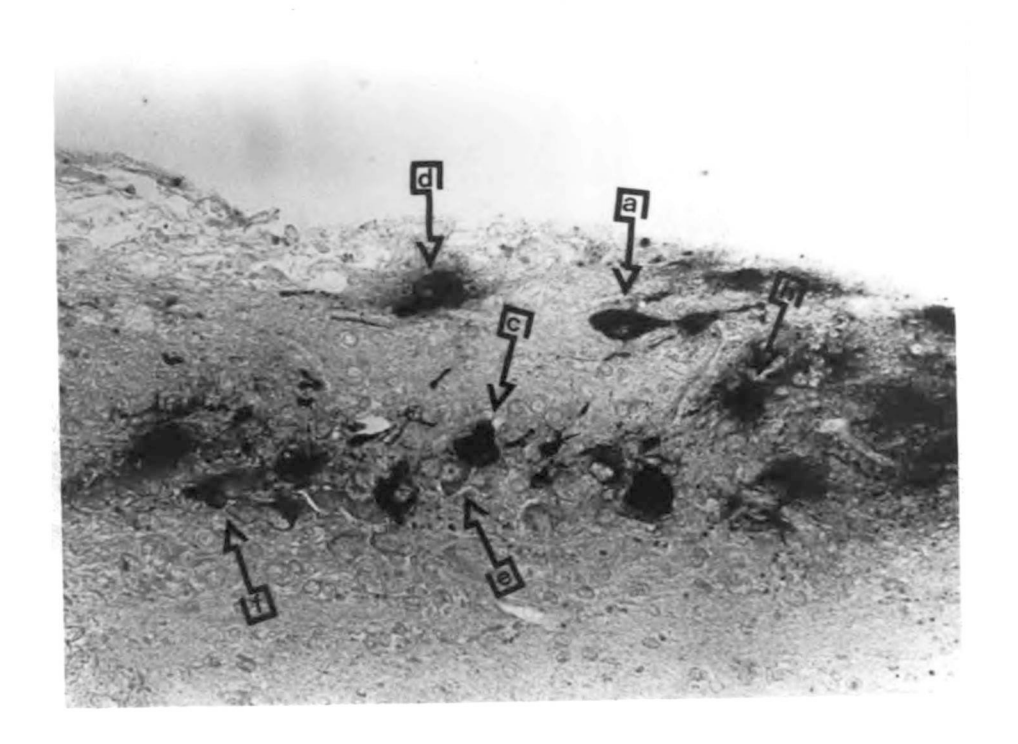


Figura 47. Neurônios secretores da região caudal da medula espinhal de C. auratus do grupo "A"; corte histológico sagital. Teste de co-localização com o anti-soro UI.

(a) Neurônios secretores com imunorreatividade ao anti-soro UI.

Aumento: 160X.

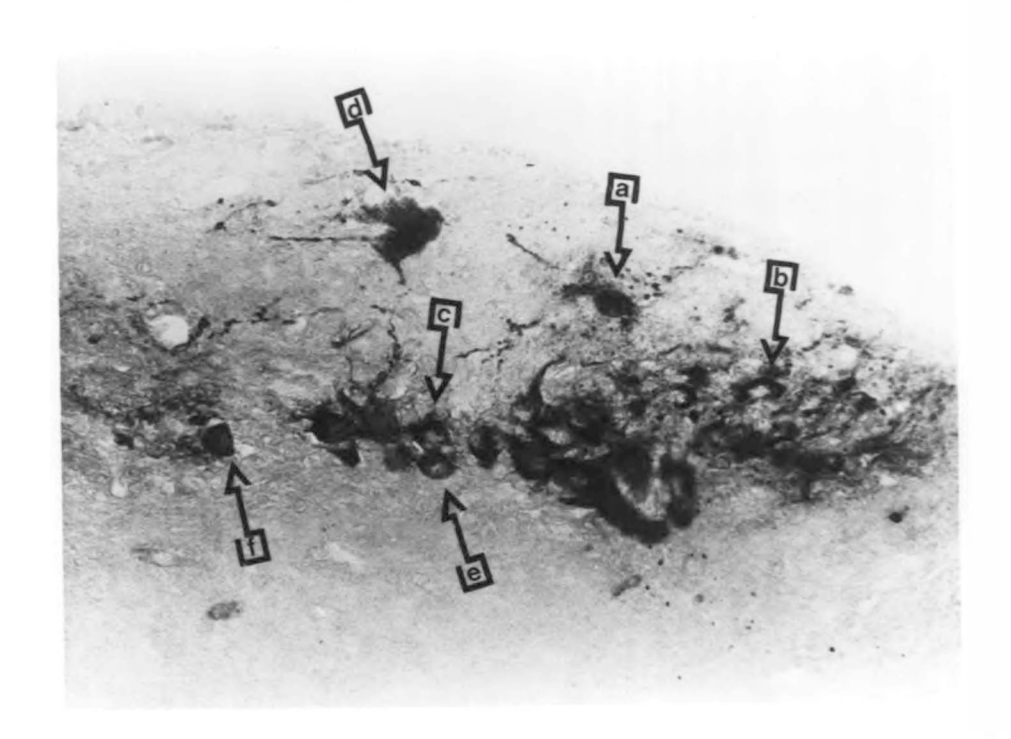


Figura 48. Células neurossecretoras da região caudal da medula espi de C. auratus do grupo "A"; corte histológico sagital. Teste de co-localização com anti-soro UII. (a) Células neurossecretoras com imunorreatividade ao anti-soro UII.

se uma perfeita imunorreação, após incubação de uma noite. Quando se aproveitou o líquido existente no microtubo, no qual já ocorrera a reação antígeno-anti-soro, para provocar nova reação imunocitoquímica, verificou-se que esta não aconteceu (figs. 49, 50). Os peptídios UI misturados no microtubo já haviam reagido com o anti-soro UI em toda a sua cadeia peptídica.

Teste in vitro foi realizado com o hormônio liberador de corticotropina (HLC), peptídio que reagiu com o anti-soro UI. Levando o líquido do microtubo onde se processou esta reação, após incubação, para gotejamento sobre o corte histológico, obteve-se imunorreação quase total à UI. O HLC em sua seqüência de aminoácidos tem marcada analogia estrutural com a UI, razão por que a imunorreação foi quase completa no microtubo (figs. 49,51).

Os resultados para a especificidade entre o peptídio UII e o anti-soro UII mostraram que não há imunorreação quando o líquido em que houve a reação antigênica entra em contacto com a célula preparada (figs. 52,53). Em peptídios com cadeia semelhante de aminoácidos, a primeira reação antígeno-anti-soro dá-se in vitro no microtubo, não sobrando resíduos de aminoácidos suficientes para a nova reação em contacto com os neurônios secretores de UII.

Em outro teste de especificidade realizado com peptídios não homólogos (UII e somatostatina), obtiveram-se resultados com duas reações antigênicas: uma in vitro e outra obtida utilizando-se sobre as células do corte histológico

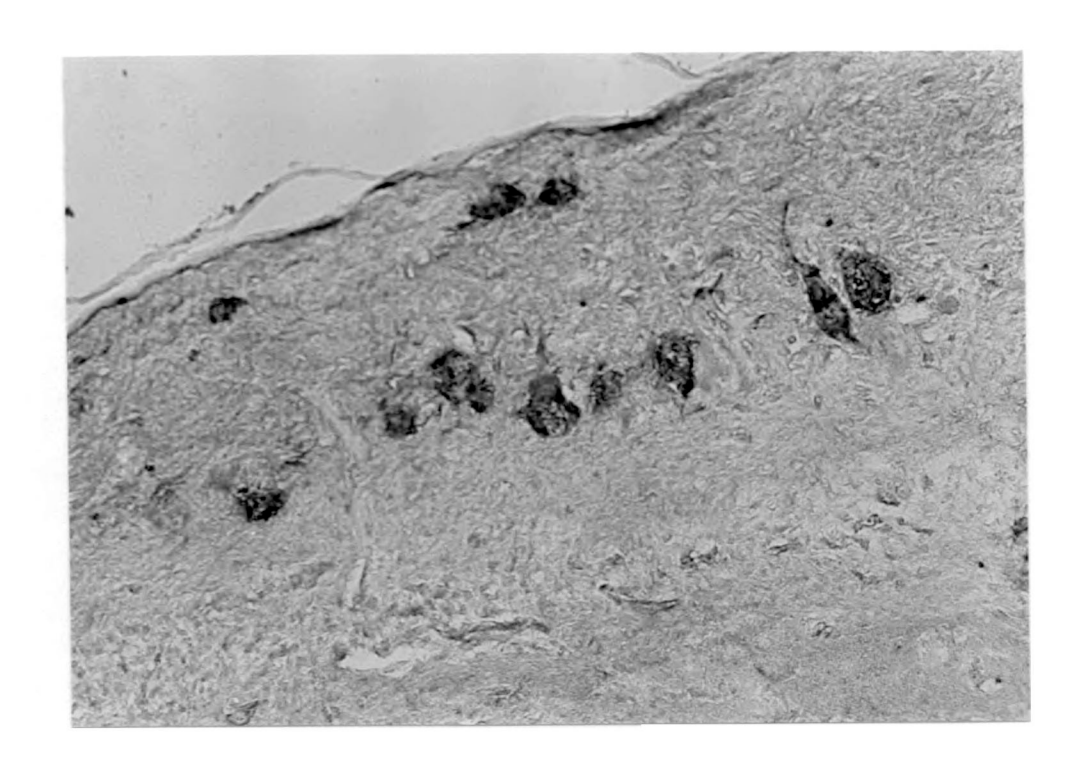


Figura 49. Corte histológico sagital da região caudal da medula espinhal de **C. auratus** do grupo "A".

Teste de especificidade com UI (anti-soro).

(a) Neurônios secretores imunorreativos à UI.

Aumento: 160X.



Figura 50. Corte histológico sagital da região caudal da medula espinhal de **C. auratus** do grupo "A".

Teste de especificidade com UI (peptídio) + UI (anti-soro). Ausência total de imunorreatividade.



Figura 51. Corte histológico sagital da região caudal da medula espinhal de C. auratus do grupo "A".

Teste de especificidade com HLC (peptidio) + UI (antisoro).

(a) Neurônios secretores apresentando intensa imunorreatividade.

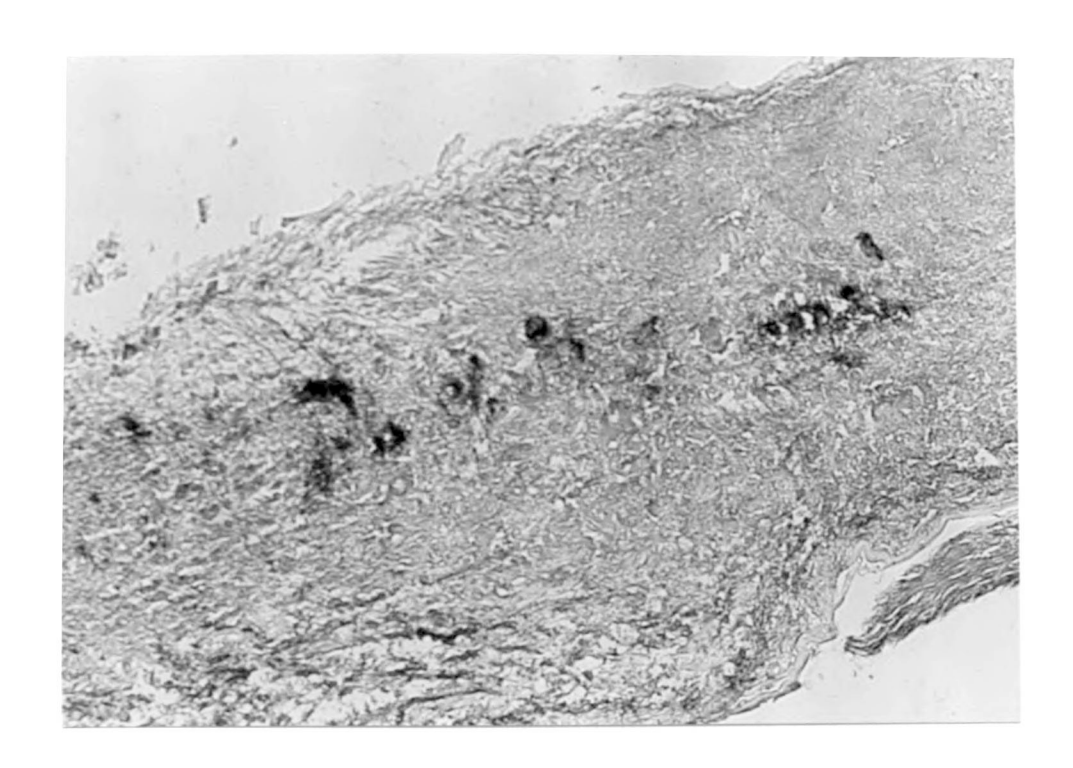


Figura 52. Corte histológico sagital da região caudal da medula espinhal de **C. auratus** do grupo "A".

Teste de especificidade com UII (anti-soro).

(a) Neurônios secretores imunorreativos à UII.

Aumento: 160X.

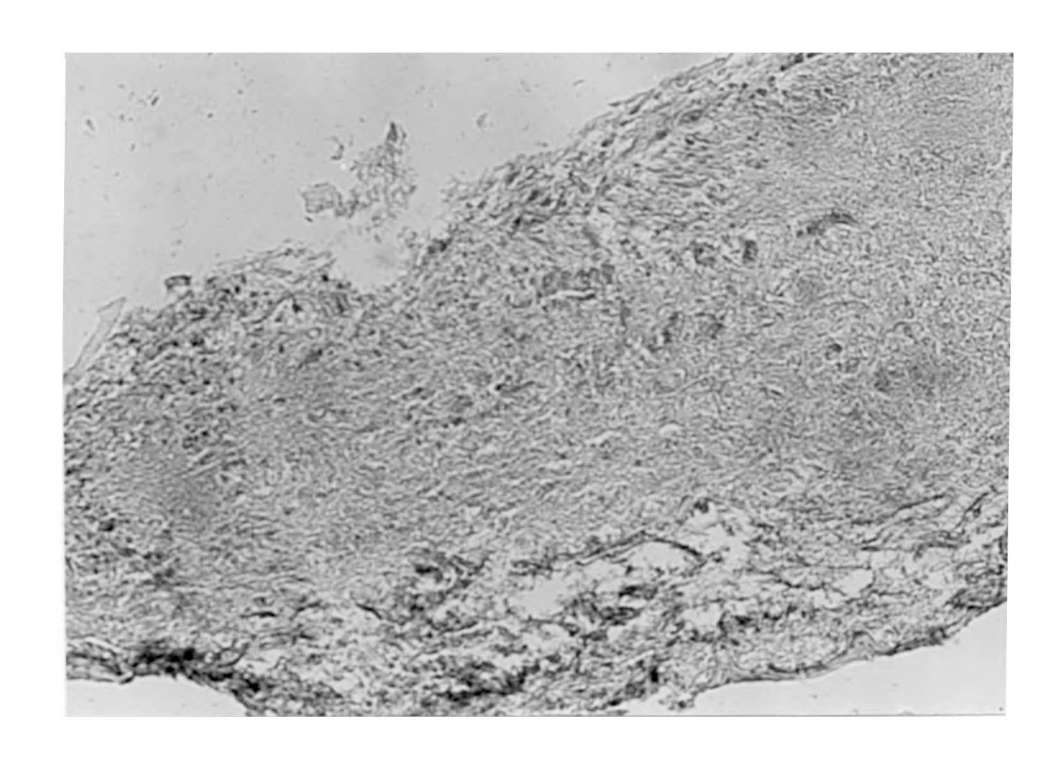


Figura 53. Corte histológico sagital da região caudal da medula espinhal de **C. auratus** do grupo "A".

Teste de especificidade com UII (peptídio) + UII (antisoro).

Ausência total de imunorreação.

o líquido onde já ocorrera, in vitro, uma primeira imunorreação. A presença de uma cadeia peptídica na somatostatina, em parte semelhante, porém com algumas diferenças fundamentais em relação à UII, permitiu a obtenção de dupla imunorreação (figs. 52,54).

Os resultados que demonstraram a especificidade das reações confirmam a presença de UI-ir e UII-ir nas células neurossecretoras da medula espinhal de C. auratus.

4.6 RADIOIMUNOENSAIO

A fim de confirmar os resultados obtidos com a morfometria das áreas pericárias e de seus respectivos núcleos, buscou-se encontrar explicação para as modificações observadas em cada grupo de peixes estudado.

A consequência da aplicação de drogas biologicamente ativas em C. auratus fez-se notar pelas alterações estatisticamente significativas, ou não, que ocorriam nos grupos de peixes tratados. Ao se injetar a metopirona, um potente inibidor do cortisol, obteve-se diminuição estatisticamente significativa nas áreas das células e núcleos imunorreativos à UI e à UII; e aumento não significativo nas áreas celulares e nucleares dos neurônios que contactam o fluido cerebrospinal, imunorreativos à UII.

Ao contrário, na população de peixes submetidos à ação da dexametasona, os resultados mostraram aumento significa-



Figura 54. Corte histológico sagital da região caudal da medula espinhal de **C. auratus** do grupo "A".

Teste de especificidade com somatostatina (peptídio) + UII (anti-soro).

(a) Neurônios secretores apresentando intensa imunorreatividade.

tivo das áreas celulares e nucleares de todos os neurônios imunorreativos à UI observados e das áreas das células neurossecretoras de UII que contactam o fluido cerebrospinal, bem como de seus núcleos; aumento não significativo foi observado nas áreas celulares e nucleares dos neurônios imunorreativos à UII que não contactam o fluido cerebrospinal.

A dexametasona suprime a secreção de ACTH através do efeito corticosteróide do "feedback" negativo sobre o hipotálamo e a glândula hipofisária. Assim sendo, deve ocorrer um aumento do nível plasmático do cortisol, hormônio este que participa da regulação neurossecretora que comanda as reações de síntese que têm como conseqüência o aumento das áreas celular e nuclear.

Para a determinação do nível de cortisol no plasma sanguíneo, pela técnica de radioimunoensaio, utilizou-se cortisol como padrão e cortisol complexado com iodo radioativo los I como marcador. O anticorpo cortisol, utilizado neste radioimunoensaio, mostrou 13,5% de reatividade com 11-desoxicortisol, o maior produto biossintético do tecido adrenocortical, na presença da metopirona. A excessiva produção do 11-desoxicortisol acumulado no sangue foi detectada pelo experimento feito com radioimunoensaio para cortisol.

A detecção do nível de cortisol no plasma sanguíneo dos peixes que receberam injeções de metopirona apresentou níveis de cortisol elevados significativamente (fig. 55).

No grupo de peixes tratados com dexametasona, os níveis de cortisol são muito baixos, ou até não detectáveis (fig. 55).

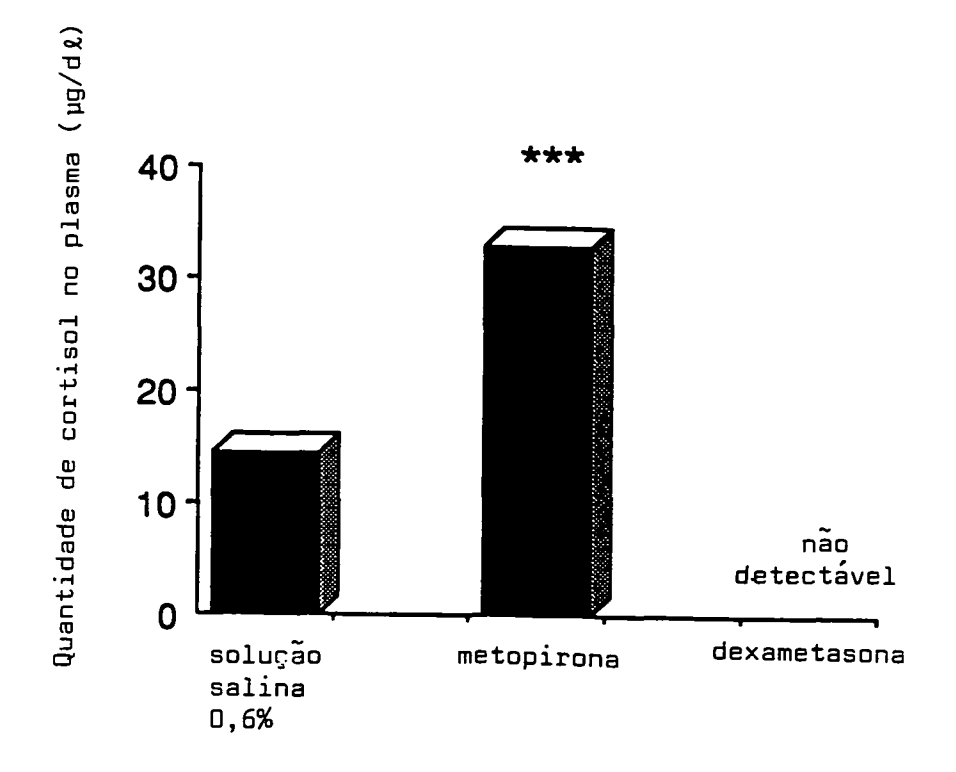


Figura 55. Nível médio de corticóide no plasma sanguíneo dos C. auratus tratados com solução salina 0,6% (grupo "A") metopirona (grupo"B") e dexametasona (grupo "C").

Estes dados indicam que a metopirona e a dexametasona administradas conforme protocolo deste experimento foram capazes de manipular, por sua atividade biológica, o estado adrenocortical da população de C. auratus, do experimento.

5 DISCUSSÃO

Entre os peixes utilizados para investigação endócrina, preferem-se aqueles de fácil obtenção e com melhor adaptação em cativeiro. O Carassius auratus (L.), vulgarmente conhecido como peixe dourado ("goldfish"), é um dos exemplares mais investigados quanto à regulação neuroendócrina e à neurofisiologia.

Os achados dos estudos imunocitoquímicos e neuroendócrinos realizados em C. auratus (FRYER, 1981, 1989; FRYER & BOUDREAULT-CHÂTEAUVERT, 1981; FRYER et alii, 1984, 1985a, 1985b; FRYER & LEUNG, 1982), revelaram semelhança com os resultados obtidos em pesquisas feitas no Catostomus commersoni (FISHER et alii, 1984; KOBAYASHI et alii, 1986a; LEDERIS et alii, 1982; McMASTER & LEDERIS, 1983, 1988; YULIS & LEDERIS, 1987). Porém a dificuldade da obtenção do C. commersoni e sua relutância em alimentar-se no cativeiro orientaram a escolha do C. auratus nesta investigação.

5.1 ASPECTOS GERAIS DO SISTEMA NEUROSSECRETOR CAUDAL

MIMURA et alii (1985), estudando a medula espinhal de Prochilodus affinis e de P. margravii, comenta que a mesma é achatada ventralmente, tendo o aspecto estrangulado anteriormente à urófise (P. affinis), ou uniforme (P. margravii).

Mais adiante, afirma que a medula espinhal é branco-leitosa quando fixada e branco-azulada in vivo, e que a urófise está alojada na fossa urofisária.

O Carassius auratus, objeto de pesquisa neste experimento, apresenta a porção caudal da medula espinhal muito semelhante à das espécies estudadas pelos autores anteriormente citados, porém a coloração in vivo é branco-leitosa.

BERN & LEDERIS (1969, 1978), KOBAYASHI et alii (1985 a, 1986b), YAMADA et alii (1985), YULIS et alii (1986), entre outros, utilizaram a técnica imunocitoquímica peroxidaseanti-peroxidase (PAP) para observação de células neurossecretoras imunorreativas do sistema neurossecretor caudal de peixes teleósteos. Neste experimento usou-se com sucesso, na busca de resultados semelhantes, a técnica complexo avidinabiotina (ABC), utilizando os anti-soros específicos urotensina I (UI) e urotensina II (UII).

Entre os autores consultados, não se encontraram referências detalhadas à morfologia das células Dahlgren, nem ao aspecto de sua "coloração" após reação imunocitoquímica, com técnicas semelhantes às descritas nesta pesquisa.

Os resultados obtidos no presente trabalho confirmam a presença do sistema neurossecretor caudal em teleósteos, constituído por neurônios secretores (células Dahlgren) da medula espinhal, e a urófise, órgão de produção, armazenamento e secreção de neuro-hormônios, pesquisados anterior-

mente por ARNT et alii (1990), ARSAKI (1813), BERN (1969), BERN & LEDERIS (1978), DAHLGREN (1914), FISHER et alii (1984), FRIEDBERG & BERN (1968), KOBAYASHI et alii (1986b), KRIEBEL et alii (1979), LEDERIS et alii (1974), MIMURA (1978, 1985), YAMAMOTO (1979), YULIS & LEDERIS (1986a, 1986b, 1988b), YULIS et alii (1986c).

5.2 ANÁLISE HISTOLÓGICA E MORFOMÉTRICA DOS NEURÔNIOS IMUNORREATIVOS À UROTENSINA I E À UROTENSINA II

Os 36 exemplares de C. auratus foram tratados com fármacos para investigação de seus efeitos biológicos sobre as células neurossecretoras imunorreativas à UI e à UII. Para isso, usaram-se injeções de solução salina 0,6% (grupo "A", controle), metopirona (grupo "B") e dexametasona (grupo "C").

As reações imunocitoquímicas para verificação dos neurônios imunorreativos à UI da região caudal da medula espinhal dos peixes tratados com solução salina 0,6% permitiram demonstrar que eles estão dispostos em dois grupos celulares parassagitais, que se estendem até a urófise, confirmando os achados de YULIS et alii (1986c), realizados no "white sucker" (Catostomus commersoni), sem tratamento prévio.

FRYER & LEDERIS (1988) realizaram estudos imunocitoquímicos e morfométricos no hipotálamo de C. auratus tratado com solução salina 0,6%, onde constataram a presença de magno e parvocélulas. No presente trabalho, foram identifica-

das, através de técnicas imunocitoquímicas e de análise morfométrica, diferentes populações de neurônios, no sistema
neurossecretor caudal.

De acordo com o tamanho e a forma, foi possível reconhecer dois tipos de células neurossecretoras de urotensina I-imunorreativa (UI-ir), parvocélulas e magnocélulas, distribuídas na porção caudal da medula espinhal e na urófise. Pôde-se observar intensa rede capilar nas regiões mais densamente povoadas com células neurossecretoras, além de rica vascularização junto à urófise, coincidindo, em todos os aspectos, com as observações de vários autores, entre eles: ARNT et alii (1990), em C. auratus; FISHER et alii (1984), em C. commersoni, HONMA & TAMURA (1967); em Salvelinus leucamaenis; ICHIKAWA et alii (1988), em Cyprinus carpio.

BERN et alii (1985), LEDERIS (1984), LEDERIS et alii (1974, 1985a, 1985b) encontraram no C. commersoni, parvo e magnocélulas exibindo processos lisos ou em forma de rosário, entre os quais existiam gotículas de aspecto coloidal, que não apresentavam imunocoloração. No presente experimento, foram observadas, além de processos lisos ou em forma de rosário, fibras imunorreativas à UI espalhadas ao longo da medula espinhal e na urófise.

Nesta pesquisa estudou-se, também, a localização dos neurônios secretores de urotensina II-imunorreativa (UII-ir). Valendo-se das mesmas técnicas imunocitoquímicas e morfométricas utilizadas para observação das células Dahlgren que secretam UI-ir, foram identificadas três populações de célu-

las neurossecretoras imunorreativas. Estes achados são muito semelhantes aos obtidos por YULIS et alii (1986c), no C. commersoni, contudo diferem das conclusões de OWADA et alii (1985b) que negam a presença de neurônios imunorreativos à UII, localizados anteriormente ao sistema neurossecretor caudal de nove espécies de peixes teleósteos, inclusive do C. auratus. A discrepância fundamental pode ser devida a procedimentos metodológicos ou características do anti-soro UII utilizado.

Na presente investigação foi observada a ocorrência de axônios oriundos de neurônios grandes e de tamanho intermediário, imunorreativos à UII, projetando-se em direção à urófise, até atingi-la. Outros axônios das células neurossecretoras pequenas, imunorreativas à UII, de trajeto oblíquo, que se aproximam do canal central sem, entretanto, atingi-lo, dirigem-se também à urófise.

Coincidindo com os resultados de outros pesquisadores, como LEDERIS & YULIS (1987), YULIS & LEDERIS (1986b, 1988b), foram encontradas neste trabalho células Dahlgren parvo e magnocelulares imunorreativas à UII, com ramificações dendríticas, que, projetando-se para dentro do canal central, terminavam em contato direto com o fluido cerebrospinal. Nos C. auratus estudados, as ramificações apresentaram em sua porção terminal um pequeno bulbo que amplia a superfície de contacto com o líquido cerebrospinal. Estes resultados diferem dos obtidos por YULIS & LEDERIS (1988a), no C. commersoni e no Oncorhynchus kisutch. Os autores referem-se às termina-

ções dendríticas que contactam o fluido cerebrospinal, apresentando formas em haste, parcialmente bulbar, ou em cabeleira. Essas terminações são mais proeminentes e visíveis nos peixes de água doce, segundo trabalho realizado por OWADA et alii (1985a).

Diferentes estudos, realizados por FRYER (1981), FRYER & BOUDREAULT-CHÂTEAUVERT (1981), FRYER et alii (1983, 1984), FRYER & LEUNG (1982), demonstraram que o estresse, de qualquer origem, aumenta o hormônio adrenocorticotrópico (ACTH) secretado pela hipófise anterior. Como a secreção do principal glicocorticóide das secreções adrenocorticais, o cortisol, é controlada pelo ACTH, a resposta ao estresse terá como conseqüência um aumento deste glicocorticóide.

As respostas dos hormônios adrenocorticotrópicos e glicocorticóides ao estresse são proporcionais ao estímulo (injeções de drogas, choque elétrico, hemorragia e outros), podendo ser avaliadas pelas concentrações do ACTH ou do cortisol no plasma sanguíneo, conforme resultados obtidos por BALL et alii (1971) no Anguilla anguilla, FRYER (1981), FRYER & BOUDREAULT-CHÂTEAUVERT (1981), FRYER et alii (1984), FRYER & MALER (1982), no C. auratus.

A maioria das condições que causam elevação dos níveis de secreção de ACTH provocam-na, através de sinais que se iniciam em centros hipotalâmicos e são transmitidos à hipófise anterior pelo hormônio liberador de corticotropina (HLC), segundo MOORE (1986). Por sua vez, afirma o autor, a secreção do cortisol, também conhecido como corticotropina ou adrenocorticotropina, é controlada quase que inteiramente

pelo ACTH secretado pela hipófise anterior.

Segundo experimentos de REBAR (1986), algumas drogas, injetadas no homem, influenciam a secreção do ACTH, através de uma ação direta na atividade adrenocortical, como, por exemplo, a inibição da 11-β-hidroxilase pela metopirona. A metopirona, bloqueando a 11-β-hidroxilação, oposta a síntese do cortisol e dos corticosteróides, influencia a secreção do ACTH. Em indivíduos normais, a diminuição do nível de cortisol estimula o aumento da secreção do ACTH. Como a metopirona é um bloqueador enzimático relativamente fraco, dozes elevadas devem ser dadas, a intervalos freqüentes, para produzir bloqueio.

Nos mecanismos do estresse fisiológico sobre a secreção do ACTH, o cortisol desempenha um mecanismo regulador. Imediatamente após o estímulo estressante, ocorre um aumento do ACTH, seguido de grandes quantidades de glicocorticóides no sangue. O cortisol desempenha, a partir de então, um papel inibidor sobre o hipotálamo e a hipófise anterior, causando a diminuição da secreção do ACTH. Os efeitos reguladores produzidos pelo cortisol elevado estão ligados a mecanismos de realimentação negativa direta sobre o hipotálamo, diminuindo a formação do HLC, e sobre a glândula hipofisária anterior, para diminuir a formação do ACTH. Estes mecanismos de realimentação também contribuem para regular a concentração de cortisol no plasma.

Aproveitando esses princípios farmacológicos e fisiológicos, foram aplicadas injeções de metopirona, em um grupo de doze espécimens de C. auratus. As células Dahlgren do sistema neurossecretor caudal dos peixes em estudo, preparadas por ténicas imunocitoquímicas, foram analisadas através de microscopia óptica, e as áreas das superfícies celulares e nucleares medidas pela morfometria, para verificação de possíveis alterações nesses neurônios, causadas pela aplicação da droga. As áreas celulares e nucleares dos neurônios imunorreativos à UI e UII apresentaram-se significativamente menores, quando comparadas às dos peixes tratados com solução salina 0,6% (grupo controle). Por outro lado, aumento não significativo das áreas celulares e nucleares dos neurônios imunorreativos à UII que contactam o fluido cerebrospinal foi observado. Um aumento na intensidade da imunorreação das células Dahlgren que secretam UI-ir também foi visualizado.

Estas observações sugerem que o metabolismo e a conseqüente atividade secretora dos neurônios que elaboram, armazenam e secretam UI e UII no sistema neurossecretor caudal dos teleósteos são influenciados pelos hormônios adrenocorticais e adrenocorticotrópicos (ACTH). Os primeiros estudos realizados por FRYER & LEDERIS (1985) e FRYER et alii (1983) em C. auratus, demonstraram que a UI pode afetar a liberação do ACTH da hipófise desses peixes. A possibilidade de que a UI, de origem urofiseal, possa estar envolvida na regulação funcional do eixo hipotálamo-hipófise-adrenal nos peixes teleósteos foi sugerida, mais diretamente, pelos resultados obtidos após uma urofisectomia realizada em C. auratus, por WOO et alii (1985). Com a retirada da urófise, o conteúdo

do ACTH hipofisário e os níveis de cortisol circulantes aumentaram, bem como o conteúdo da UI no hipotálamo. Estes dados sugerem que a remoção da urófise, pela urofisectomia, pode trazer aumento compensatório da secreção de UI e, talvez também, do HLC, pelo hipotálamo. Nestes conceitos estão baseadas as observações de um aumento marcante no número de neurônios imunorreativos a UI, após urofisectomia, em experimentos realizados no hipotálamo de "sucker" (C. commersoni), por YULIS & LEDERIS (1986a).

A "adrenalectomia farmacológica" com metopirona foi utilizada em investigações de ARNT et alii (1990), FRYER & BOUDREAULT-CHÂTEAUVERT (1981), FRYER & LEDERIS (1985, 1988), FRYER et alii (1983).

Para FRYER & LEUNG (1982), os corticosteróides sintéticos dexametasona e β-metasona suprimem a secreção endógena do ACTH através de sua ação a nível hipotalâmico e hipofisário. Estes autores observaram que a dexametasona, um glicocorticóide que atua sobre o ACTH, inibe a secreção exógena do ACTH no C. auratus e bloqueia o aumento desse hormônio, induzido pelo estresse. Os pesquisadores demonstraram, ainda, que no bloqueio da liberação do ACTH, induzido pelo estresse, a dexametasona atua suprimindo o HLC, o qual é estruturalmente homólogo aos peptídeos neuro-hipofisários e ao peptídio UI.

REBAR (1986) comenta que, em indivíduos humanos normais, a dexametasona, como glicocorticóide, inibe a secreção do ACTH hipofisário através de um efeito "feedback" ne-

gativo dos corticosteróides no hipotálamo e na glândula hipofisária.

FRYER et alii (1985b) demonstraram que alguns peptídios naturais do nucleus preopticus de C. auratus, como arginina vasotocina e isotocina, e o peptídio neuro-hipofisário de mamíferos, arginina vasopressina, injetados no C. auratus, estimulam a secreção do cortisol nesse peixe cuja atividade secretora endógena de ACTH estava bloqueada pela dexametasona. Os autores demonstraram que os peptídios neuro-hipofisários estimulam a secreção do cortisol no C. auratus e sugeriram que, em teleósteos, a arginina vasotocina e a isotocina possuem atividade sobre o HLC.

A capacidade da droga em estimular a secreção do ACTH em animais bloqueados pela β -metasona ou pela dexametasona é extensivamente usada como teste, in vivo, da ação do HLC em mamíferos e em teleósteos.

No presente experimento, após injetar dexametasona em um grupo de doze C. auratus, observou-se, à microscopia óptica, que os neurônios secretores de UI, preparados com técnicas imunocitoquímicas, mostraram diminuição na intensidade da imunorreação, quando comparados ao grupo controle. A morfometria desses neurônios e das células neurossecretoras de UII que contactam o fluido cerebrospinal revelou aumento significativo de suas áreas celulares e nucleares, quando comparadas com o grupo testemunha.

Aumento não significativo foi observado nas áreas celulares e nucleares das células Dahlgren imunorreativas à UII que não contactam o fluido cerebrospinal. Esses resultados sugerem que a inibição da secreção hipotalâmica de UI e, talvez, de UII pode ter induzido uma secreção compensatória de UI por parte do sistema neurossecretor caudal, como conseqüência da administração de dexametasona. Este pressuposto é reforçado pelos resultados de outros autores, que demonstraram que, após a administração de metopirona, um potente estimulador da secreção do ACTH, e do HLC do C. auratus (FRYER BOUDREAULT-CHÂTEAUBERT, 1981) e, talvez, da UI hipotalâmica, resultam na diminuição da secreção de UI pelo sistema neurossecretor caudal (FRYER & LEUNG, 1982).

A transferência de peixes da água doce para a água salgada, nos trabalhos de FORREST et alii (1973) foi acompanhada por aumento da secreção do hormônio adrenocorticosteróide, que, provavelmente, promove a adaptação ã água do mar. O papel da UI e da UII na osmorregulação é descrito em várias outras pesquisas (BALDISSEROTTO et alii, 1987; BERN et alii, 1985; LEDERIS, 1984; LEDERIS et alii, 1974, 1985a, 1985b).

FRYER & LEDERIS (1985, 1988) e FRYER et alii (1983) admitem a possibilidade de que as alterações na atividade secretora dos neurônios que sintetizam UI e UII podem refletir distúrbios induzidos na osmorregulação dos peixes teleósteos, provocados pela administração de metopirona e dexametasona.

Seguramente, mais pesquisas deverão ser desenvolvidas a fim de esclarecer a influência do estado cortical (adreno-corticotrópico-adrenocortical) nas secreções de UI e UII pe-

las células da medula espinhal, da urófise e do eixo hipotálamo-hipofisário.

5.3 TESTE DE CO-LOCALIZAÇÃO

Os resultados de vários experimentos demonstraram a possibilidade da existência de mais de um antígeno em uma mesma célula (BERN et alii, 1985; ICHIKAWA et alii, 1988; LARSON et alii, 1986; ONSTOT & ELDE, 1986a, 1986b; YAMADA et alii, 1985; YULIS & LEDERIS, 1987). Através de reações imunocitoquímicas, foi confirmado neste experimento que, em um mesmo neurônio ocorre a presença de antígenos diferentes. A comprovação deste fato foi evidenciada nas células neuros-secretoras imunorreativas dos peixes do grupo controle. Experimentalmente, a co-localização admitida para os peptídios foi comprovada, utilizando-se imunorreações em cortes seriados, semifinos, adjacentes, dispostos de maneira seqüencial, conforme metodologia de VANDESANDE (1982).

5.4 TESTE DE ESPECIFICIDADE

A capacidade do sistema imunológico dos vertebrados em produzir anticorpos que reagem à ação de uma substância antigênica estranha, com uma ordem quase infinita de ligações específicas, permitiu que, através da imunocitoquímica, fossem desvendadas incógnitas da neurobiologia.

A distribuição imunocitoquímica de UI nas células do sistema neurossecretor caudal dos teleósteos foi observada por ARNT et alii, 1990; BERN et alii, 1985; FISHER et alii, 1984; LEDERIS, 1984; LEDERIS et alii, 1974, 1985a, 1985b, confirmando a presença de neurônios secretores na porção caudal da medula espinhal, descrita por DAHLGREN (1914) e SPEIDEL (1919, 1922). A evidência indireta da localização da UI nas células da medula espinhal caudal e na urófise foi obtida por ONSTOTT & ELDE (1984), usando o anti-soro HLC que fez reação cruzada com a UI.

A UI, segundo LEDERIS & YULIS (1987), tem estrutura similar biologicamente análoga ao HLC dos mamíferos. A ocorrência e a especificidade da UI e do HLC-imunorreativos foram estudadas no C. commersoni, por LEDERIS et alii (1987). Para os autores, os cortes da região caudal da medula espinhal, ao reagirem com os anti-soros específicos UI e HLC, revelaram que ambos os tipos de anti-soros são capazes de corar as mesmas estruturas do peixe pesquisado. Isto confirma que os dois peptídios têm ações antigênicas semelhantes.

Testes de especificidade similares ao acima citado foram realizados por LEDERIS et alii (1985b), YAMADA et alii (1985), YULIS et alii (1986c), utilizando outras técnicas, em diferentes teleósteos. A especificidade da reação imunológica pode ser obtida neutralizando-se, in vitro, as propriedades antigênicas dos peptidios, antes de reagirem sobre o antigeno existente no corte histológico. Isto feito em nosso experimento, verificou-se que a UI (peptidio), neutralizada in

vitro com o anti-soro UI, não apresentou reação, ao ser aplicada sobre os cortes histológicos, cujas células continham UI. Por outro lado, o uso do peptídio homólogo HLC, bloqueado in vitro com o anti-soro UI, quando gotejado sobre as células neurossecretoras portadoras do peptídio UI, revelou imunorreatividade nestas células, coincidindo com os resultados de LEDERIS et alii (1985b, 1987), no C. commersoni.

O primeiro dos princípios urofisários bem caracterizados biologicamente, e sequenciado, foi a UII (ICHIKAWA et alii, 1988; McMASTER et alii, 1986; McMASTER & LEDERIS, 1983; MUNEKATA et alii, 1981).

A UII, dodecapeptídio isolado e sequenciado da urófise de Gillichthys mirabilis, Cyprinus carpio e C. commersoni, é parcialmente homóloga e análoga à somatostatina-14.

Para localizar a UII no sistema neurossecretor caudal de algumas espécies de peixes ósseos, OWADA et alii (1985b) usaram anti-soro gerado contra a UII sintética do Gillichthys mirabilis.

No presente experimento, foi encontrado o peptídio UII-ir em células do sistema neurossecretor caudal do C. auratus. Ao buscar-se a especificidade nos neurônios secretores de UII da porção caudal da medula espinhal e da urófise, foi realizado teste in vitro, com um peptídio heterólogo (somatostatina).

A reação in vitro, entre a UII (peptídio) e a UII (anti-soro), foi completa, não sendo possível observar imu-norreação nos tecidos imunotratados com esta solução. A rea-

ção in vitro, entre a somatostatina (peptídio) e a UII (antisoro) não foi completa, razão por que a solução obtida in vitro, quando levada a reagir com o antígeno UII dos cortes histológicos, apresentou imunorreatividade. É importante destacar que a somatostatina e a UII, apesar de sua similaridade, diferem em importantes aspectos. O pequeno número de amostras estudadas neste experimento não permitiu encontrar resultados conclusivos nestes testes de especificidade. As investigações de especificidade, localização e analogia com outros peptídios, desenvolvidas por McMASTER et alii (1986), McMASTER & LEDERIS (1983) e YULIS & LEDERIS (1988a), admitem a presença de dois sistemas imunorreativos, a UII-ir e a somatostatina-imunorreativa, aparentemente interligados.

A utilização da imunocitoquímica em pesquisas, como instrumento para estudar a localização de um peptídio e esclarecer sua presença ou ausência, conduziu a caminhos que levaram à descoberta de um número sem precedentes de ligações, inter-relações, funções e secreções de células e seus anexos e tecidos em diferentes órgãos ou sistemas, especialmente no sistema nervoso. O advento dos anticorpos monoclonais expandiu as possibilidades de produzir preparações imunocitoquímicas. Em todas as técnicas, a otimização de cada etapa e a escolha dos agentes, corantes ou drogas, são importantes para tornar o melhor possível o resultado obtido com a metodologia empregada.

5.5 RADIOIMUNOENSAIO

Após as injeções de metopirona, observou-se, nesta investigação, que os níveis de cortisol no plasma sanguíneo, medidos por radioimunoensaio com 125 I, elevaram-se significativamente, quando comparados com os níveis de cortisol plasmático, do grupo controle. A metopirona, sendo um inibidor da $11-\beta$ -hidroxilase, impede a síntese do cortisol e da corticosterona, resultando em uma acumulação de 11-desoxicortisol no plasma sanguíneo.

et alii (1984), que, em investigações in vivo no C. auratus, usando implantes de cortisol no nucleus preopticus, bloquearam o estresse induzido, elevando o nível de cortisol no plasma sanguíneo. Nestes mesmos experimentos, os resultados demonstraram que o estresse, ou a administração de metopirona, resultava em uma ativação dos neurônios do nucleus preopticus.

Para FRYER et alii (1985b), os peptídios neuro-hipofisários de teleósteos, a arginina vasotocina e a isotocina produzem aumentos do cortisol plasmático, mais rápido que o peptídio de mamíferos, a arginina vasopressina.

Vários pesquisadores utilizaram a dexametasona, com a finalidade de alterar a secreção do ACTH, em diferentes animais (ARNT et alii, 1990; CARNES et alii, 1987; FRYER et alii, 1983). A dexametasona causou baixas significativas nos níveis de ACTH periférico medidos no plasma sanguíneo de rato, após quatro dias de tratamento (CARNES et alii, 1987). Neste

experimento, realizado no C. auratus, foi medido o nível de cortisol plasmático através do radioimunoensaio com ¹²⁵I, após injeções diárias de dexametasona. O nível do cortisol no plasma sanguíneo dos peixes tratados com esta droga apresentou-se muito baixo e não foi detectado em alguns exemplares.

A ativação do eixo hipofisário inter-renal dos teleósteos ocorre em resposta a uma vasta gama de agentes estressantes (PETER & FRYER, s.d.). Agentes estressantes não
específicos, choque elétrico, choque térmico ou abruptas variações na salinidade resultaram em alterações neurossecretoras do sistema neuro-hipofisário da enguia (Anguilla anguilla) (FORREST et alii, 1973). Estímulos elétricos na porção ventral do hipotálamo de teleósteos, realizados por PETER
& FRYER, s.d.), mostraram um aumento do cortisol no plasma
sanguíneo.

Os pesquisadores têm procurado definir o papel do sistema neurossecretor caudal e dos produtos secretados no sistema endócrino dos peixes, relacionando-os com a função fisiológica de cada um dos peptídios que integram o sistema. Até hoje, porém, pouco foi esclarecido, o que justifica que as pesquisas se multipliquem, para que se possa entender tão importantes mecanismos reguladores neuroendócrinos e neurofisiológicos.

CONCLUSÕES

1. Em relação ao tamanho das células Dahlgren:

a) Neurônios imunorreativos à urotensina I: Pericários parvocelulares Duas populações

Pericários magnocelulares

b) Neurônios imunorreativos à urotensina II:

Pericários pequenos Pericários médios Três populações

Pericários grandes

c) Neurônios imunorreativos à urotensina II que contactam o fluido cerebrospinal:

Duas populações

Pericários parvocelulares Pericários magnocelulares

- 2. A maioria dos pericários neurossecretores da medula espinhal caudal do Carassius auratus são imunorreativos à urotensina I e à urotensina II. É possível que todas as células Dahlgren sintetizem os peptídios urotensina l e urotensina II. As diferenças de imunorreatividade podem refletir diferentes estados de atividade celular.
- 3. Os resultados obtidos demonstram que os hormônios adrenocorticosteróides influenciam a atividade secretora do sistema neurossecretor caudal de Carassius auratus

6 APÊNDICE

1 Fixador Bouin

- 15 partes de ácido pícrico saturado;
- 5 partes de formaldeido;
- 1 parte de ácido acético.

2 Gelatina

- 0,5 g de gelatina;
- 50 mg de sulfato de cromo e potássio;
- 100 ml de água destilada.

Aquecer à temperatura de 55°C; filtrar em filtro Fisher, número 5.

3 Solução salina tamponada com fosfato (PBS)

- 1 l de água destilada;
- 1,15 g de fosfato monobásico de sódio;
- 0,26 g de fosfato dibásico de sódio;
- 8 g de cloreto de sódio;
- 0,2 g de cloreto de potássio.

4 Tampão Tris (TRIS) 50 mM

- 2 l de água destilada;
- 15,16 g de Trizma 7,4.

REFERÊNCIAS BIBLIOGRÁFICAS

- 1 AHERNE, W.A. & DUNNILL, M.S. Morphometry. London, Edward Arnold, 1987. 205 p.
- 2 ARNT, L.R.G.; FRYER, J.N.; LEDERIS, K. Effect of corticoid status on urotensin I- and urotensin II-immuno reactive neurons in the goldfish spinal cord. No pre lo, Cell and Tissue Research, 1990.
- 3 ARSAKY, A. De piscium cerebro et medulla spinali. Dissertatio inauguralis, Halae, 1813. n.p.
- 4 BAKER, B.I. The evolution of ACTH, MSH, and LPH structure, function, and development. In: BARRINGTON, E.J.W., ed. Hormones and Evolution. New York, Academic Press, 1979. p.643-722.
- 5 BAKER, B.I.; BIRD, D.J.; BUCKINGHAM, J.C. Salmonid melanin-concentrating hormone inhibits corticotropin release. J.Endocrinol., 106:R5-8, 1985.
- 6 BAKER, B.I. & RANCE, T.R. Effect of background colour on plasma cortisol levels in teleosts. **J.Endocrinol.**, 81:166-7, 1978.
- BALDISSEROTTO, B.; GRAU, E.G.; MIMURA, O.M.; SALOMÃO, L.C.; NISHIOKA, R.S. Urophyseal control of plasma ionic and osmotic concentrations in the tilapia, Oreochromis mossambicus, transferred from freschwater to brackish water. In: CONGRESSO BRASILEIRO DE ZOO-LOGIA, 14., Juiz de Fora, 1987. Resumos. Universidade Federal de Juiz de Fora, 1987. p.119.
- 8 BALDISSETOTTO, B.; NIMURA, O.M.; MARTINS, A.F.; RAKOSKI, R.J.; FERNANDES, C.S. Ação do sistema neuro-secretor caudal no transporte de água no intestino e vesícula biliar de Hoplias malabaricus. In: CONGRESSO BRASI-LEIRO DE ZOOLOGIA, 17., Londrina, 1990. Resumos. Universidade Estadual de Londrina, 1990. p.297.
- 9 BALL, J.N.; CHESTER JONES, I.; FORSTER, M.E.; HAWKINS, E.F.; HARGREAVES, G.; MILNE, K.P. Measurement of plasma cortisol levels in the ell Anguilla anguilla in relation to osmotic adjustments. J.Endocrinol., 50:73-96, 1971.

- 10 BENNETT, M.V.L. & FOX. S. Eletrophysiology of caudal neurosecretory cells in the skate and fluke. Gen. Comp.Endrocrinol., 2:77-95, 1962.
- BERN, H.A. Urophysis and caudal neurosecretory sistem. In: HOAR, W.S. & RANDALL, D.J., eds. Fish Physiology. New York, Academic Press, 1969. v.2, p.399-418.
- BERN, H.A.; GUNTHER, R.; JOHNSON, D.W.; NISHIOKA, R.S. Occurrence of urotensin II (bladder-contracting activity) in the caudal spinal cord of anamniote vertebrates. Acta Zool., 54:15-9, 1973.
- BERN, H.A. & LEDERIS, K. A reference preparation for the study of active substances in the caudal neurosecretory system of teleosts. J.Endocrinol., 45: xi-xii, 1969. Resumo.
- . The caudal neurosecretory system of fishes in 1976. In: BARGMANN, W.; OKSCHE, A.; POLENOV, A.; SCHARRER, B., eds. Neurosecretion and neuroendocrine activity: evolution, structure and function. Berlin, Springer-Verlag, 1978. p.341-9.
- BERN, H.A.; NISHIOKA, R.S.; CHESTER, J.; CHAN, D.K.O.; RANKIN, J.C.; PONNIAH, S. The urophysis of teleost fish. J.Endocrinol., 37:xl-xli, 1967. Resumo.
- BERN, H.A.; PEARSON, D.; LARSON, B.A.; NISHIOKA, R.S. Neurohormones from fish tails the caudal neurosecretory system. In: GREEP, R.O., ed. Recent progress in hormone research. Orlando, Academic Press, 1985. v.41, p.533-51.
- BURTON, M. & BURTON, R. Goldfish. In: ____. Encyclo-pedia of fish. New York, BPC Publishers, 1984. p.90-1.
- 18 CAMARGO, M.L.Z. Guia de técnicas citológicas e histológicas. Curitiba, 1979. 20 p. Datilografado.
- 19 CARNES, M.; BARKSDALE, C.M.; KALIN, N.H.; BROWNFIELD, M.S.; LENT, S.J. Effects of dexamethasone on central and peripheral ACTH systems in the rat. Neuroendocrinology, 45:160-4, 1987.
- 20 CASSELMAN, W.G.B. Histochemical technique. London, Methuen, 1959. 205 p.
- 21 CLEMENTE, E. Crise da pesquisa na Universidade. Zero Hora, Porto Alegre, 12 ago.1984. p.3, c.1.
- 22 COHEN, S.L. & KRIEBEL, R.M. Brainstem location of serotonin neurons projecting to the caudal neurosecretory complex. Brain Res.Bull., 22:481-7, 1989.
- 23 COONS, A.A.; CREECH, H.J.; JONES, R.N.; BERLINER, E. The demonstration of pneumococcal antigen in tissues by the use of fluorescent antibody. J.Immunol., 45: 159-70, 1942.

- 24 CUELLO, A.C.; MILSTEIN, C.; GALFRÉ, G. Preparation and application of monoclonal antibodies for immunohistochemistry and immunocytochemistry. In: CUELLO, A.C., ed. Immunohistochemistry, Chichester, John Wiley, 1982. p.215-56. (IBRO Handbook Series: Methods in the Neurosciences. v.3).
- DAHLGREN, U. The electric motor nerve centers in the skates (Rajidae). Science, 40:862-3, 1914.
- DI FIORE, M.S.H.; MANCINI; R.E.; DE ROBERTIS, E.D.P. Novo atlas de histologia - microscopia óptica, histoquímica e microscopia eletrônica. 5.ed. Rio de Janeiro, Guanabara Koogan, 1982. 335 p.
- 27 DIXON, W.J. & MASSEY Jr., F.J. Introduction to statistical analysis. 2.ed. New York, McGraw-Hill, 1957. 488 p.
- 28 ENAMI, M. Studies in neurosecretion. II. Caudal neurosecretory system in the ell (Anguilla japonica). Gunma J.Med.Sci., 4:23-36, 1955.
- In: GORBMAN, A., ed. Comparative endocrinology.

 New York, Wiley, 1959. p.697-724.
- 30 EVANS, A. Peixes vermelhos. In: ____. ABC do aquário. Lisboa, Presença, 1984. p.97-108. (Colecção Cultura e Tempos Livres).
- 31 FALKMER, S.; EL-SALHY, M.; TITLBACH, M. Evolution of the neuroendocrine system in vertebrates. In: FALKMER, S.; HÄKANSON, R.; SUNDLER, F., eds. Evolution and tumour pathology of the neuroendocrine system. Amsterdam, Elsevier, 1984. p.59-84.
- 32 FAVARO, G. Contributi allo studio morfologico dell' ipofisi caudale (rigonfiamento caudale della midolla spinale) dei teleostei. Atti Accad.Naz. Lincei, Cl. Sci.Fis., Mat.Nat., Mem, 1:30-72, 1925.
- FISHER, A.W.F.; WONG, K.; GILL, V.; LEDERIS, K. Immuno-cytochemical localization of urotensin I neurons in the caudal neurosecretory system of the white sucker (Catostomus commersoni). Cell Tissue Res., 235:19-23, 1984.
- FORREST, J.N.; MacKAY, W.C.; GALLAGHER, B.; EPSTEIN, F.H. Plasma cortisol response to saltwater adaptation in the American ell, Anguilla rostrata. Am.J.Physiol., 224:714-20, 1973.
- FRIDBERG, G. Studies on the caudal neurosecretory system in teleosts. Acta Zool., Stockholm, 43:1-77,1962.
- . Morphological studies on the caudal neurosecretory system in teleosts and elasmobranchs. Stockholm, Ake Nyblom, 1963. p.1-20.
- 37 FRIDBERG, G. & BERN, H.A. The urophysis and the caudal neurosecretory system of fishes. Biol.Rev.Cambridge Philosophic Soc., 43:175-99, 1968.

- FRIDBERG, G.; NISHIOKA, R.S.; BERN, H.A.; FLEMING, W.R. Regeneration of the caudal neurosecretory system in the cichlid teleost **Tilapia mossambica**. **J.Exp.Zool.**, **162**:311-35, 1966.
- 39 FRYER, J.N. Hypothalamic lesions stimulating growth hormone cell activity in the goldfish. Cell Tissue Res., 214:387-95, 1981.
- 40 ____. Neuropeptides regulating the activity of gold-fish corticotropes and melanotropes. Fish Phisiol. and Biochem., 7:21-7, 1989.
- 41 FRYER, J.N. & BOUDREAULT-CHÂTEAUVERT, C. Cytological evidence for activation of neuroendrocrine cells in the parvocellular preoptic nucleus of the goldfish hypothalamus following pharmacological adrenalectomy. Cell Tissue Res., 218:129-40, 1981.
- FRYER, J.N.; BOUDREAULT-CHÂTEAUVERT, C.; KIRBY, R.P. Pituitary afferents originating in the paraventricular organ (PVO) of the goldfish hypothalamus. J.Comp. Neurol., 242:475-84, 1985a.
- FRYER, J.N. & LEDERIS, K. Urotensin I and corticotropin secretion: comparative actions in fishes and mammals. In: KOBAYASHI, H., ed. Neurosecretion and the biology of neuropeptides. Tokyo, Japan Sci.Soc., 1985. p.464-70.
- . Comparison of actions of posterior pituitary hormones in corticotropin secretion in mammals and fishes. In: YOSHIDA, S. & SHARE, L., eds. Recent progress in posterior pituitary hormones. Amsterdam, Elsevier Science, 1988. p.337-44.
- 45 FRYER, J.; LEDERIS, K.; RIVIER, J. Urotensin I, a CRF-like neuropeptide, stimulates ACTH release from the teleost pituitary. Endocrinology, 113:2308-10, 1983.
- 2. Cortisol inhibits the ACTH-releasing activity of urotensin I, CRF and sauvagine observed with superfused goldfish pituitaryy cells. **Peptides**, 5:925-30, 1984.
- . ACTH-releasing activity of urotensin I and ovine CRF: interactions with arginine vasotocin, isotocin and arginine vasopressin. Regul. Pept., 11:11-5, 1985b.
- 48 FRYER, J.N. & LEUNG, E. Neurohypophysial hormonal control of cortisol secretion in the teleost Carassius auratus. Gen.Comp.Endocrinol., 48:425-31, 1982.
- 49 FRYER, J. & MALER, L. Enhanced uptake of HRP by hypophysiotropic neurons following stress and adrenalectomy. Brain Res., 242:179-83, 1982.
- 50 FRYER, J.N.; NISHIOKA, R.S.; BERN, H.A. Somatostatin inhibition of teleost growth hormone secretion. Gen. Comp.Endocrinol., 39:244-6, 1979.

- FRYER, J.N.; TAM, W.H.; VALENTINE, B.; TIKKALA; R.E. Prolactin cell cytology, plasma electrolytes, and wholebody sodium efflux in acid-stressed brook trout (Salvelinus fontinalis). Can. J. Fish. Aquat.Sci., 45: 1212-21, 1988.
- 52 GEFFEN, L. In: CUELLO, A.C., ed. Immunohistochemistry. Chichester, John Wiley, 1982. p.xi-xiii. (IBRO Handbook Series: Methods in the Neurosciences. v.3).
- 53 GOMORI, G. Microscopic histochemistry; principles and practice. Chicago, The University of Chicago, 1952. 273 p.
- GONZALEZ, G.C. & LEDERIS, K. Sauvagine-like and corticotropin-releasing factor-like immunoreactivity in the brain of the bullfrog (Rana catesbeiana). Cell Tissue Res., 253:29-37, 1988.
- GORBMAN, A. Roots of fish endocrinology, a perspective. Fish.Physiol.Biochem., 7:3-10, 1989.
- 56 GRAU, E.G. & HELMS, L.M.H. The tilapia prolactin cell: a model for stimulus-secretion coupling. Fish Physiol. Biochem., 7:11-9, 1989.
- 57 GURR, E. Methods of analytical histology and histochemistry. Baltimore, The Williams and Wilkins, 1959. 327 p.
- 58 GURR, E. Staining animal tissues practical and theoretical. London, Leonard Hill, 1962. 631 p.
- 59 GUYTON, A.C. Sistema nervoso. In: ____. Tratado de fisiologia médica. Rio de Janeiro, Interamericana, 1984. p.484-515.
- do de fisiologia médica. Rio de Janeiro, Interamericana, 1984. p.792-805.
- 61 HAMANA, K. Über die neurophysis spinalis caudalis bei fischen. J.Kyoto Prefect.Univ.Med., 71:478-90, 1962.
- 62 HOLMGREN, U. On the caudal neurosecretory system of the ell, Anguilla rostrata. Anat.Rec., 135:51-9, 1959.
- 63 HOLTZMAN, E. & NOVIKOFF, A.B. Células e estrutura celular. 3.ed. Rio de Janeiro, Interamericana, 1985. 630 p.
- 64 HONMA, Y. & TAMURA, E. Studies on japanese chars of the genus Salvelinus. IV. The caudal neurosecretory system of the Nikkô-iwana, Salvelinus leucamaenis pluvius (Hilgendorf). Gen.Comp.Endocrinol., 9:1-9, 1967.
- 65 HSU, S.M.; RAINE, L.; FANGER; H. Use of avidin-biotin-peroxidase complex (ABC) in immunoperoxidase techniques: a comparison between ABC and unhabelled antibody (PAP) procedures. J.Histochem.Cytochem., 29: 557-80, 1981.

- 66 HUNNAM, P.; MILDE, A.; STEBBING, P. El acuario vivo: agua dulce y salgada. Madrid, Raices, 1981. 240 p.
- 67 ICHIKAWA, T.; ISHIDA, I.; OHSAKO, S.; DEGUCHI, T. In situ hybridization demonstrating coexpression of urotensins I, II-α, and II-γ in the caudal neurosecretory neurons of the carp, Cyprinus carpio. Gen.Comp.Endocrinol., 71:493-501, 1988.
- 68 ICHIKAWA, T.; LEDERIS, K.; KOBAYASHI, H. Primary structures of multiple forms of urotensin II in the urophysis of the carp, Cyprinus carpio. Gen.Comp. Endocrinol., 55:133-41, 1984.
- ISHIKAWA, T.; McMASTER, D.; LEDERIS, K.; KOBAYASHI, H. Isolation and amino acid sequence of urotensin I, a vasoactive and ACTH-releasing neuropeptide, from the carp (Cyprinus carpio) urophysis. Peptides, 3:859-67, 1982.
- 70 ICN BIOMEDICALS, INC. Immuchem cortisol coated tube 1251 radioimmunoassay direct method of quantitating cortisol from serum/plasma samples-for in vitro diagnostic use only. Carson, 1989. 14 p. Catálogo.
- 71 ISHIBASHI, T. Electrical activity of the caudal neurosecretory cells in the ell **Anguilla japonica** with special reference to synaptic transmission. **Gen.Comp. Endocrinol.**, 2:415-24, 1962.
- 72 ITOH, H. & LEDERIS, K. Relationship of urotensin I induced vasodilatory action in rat thoracic aorta to Ca²⁺ regulation. Can.J.Physiol.Pharmacol.,65:298-302, 1987.
- JUNQUEIRA, L.C.U. & CARNEIRO, J. Métodos de estudo. In:

 Biologia celular e molecular. Rio de Janeiro,
 Guanabara Koogan, 1983. p.1-47.
- 74 KOBAYASHI, Y.; LEDERIS, K.; RIVIER, J.; KO, D.; McMASTER, D.; POULIN, P. Radioimmunoassays for fish tail neuropeptides: II. Development of a specific and sensitive assay for and the occurrence of immunoreactive urotensin II in the central nervous system and blood of Catostomus commersoni. J.Pharmacol.Methods, 15: 321-33, 1986a.
- 75 KOBAYASHI, H.; MATSUI; T.; HIRANO, T.; IWATA, T.; ISHII, S. Vasodepressor substance in the fish urophysis. Annot. Zool.Jpn., 41:154-8, 1968.
- 76 KOBAYASHI, H.; OWADA, K.; YAMADA, C.; OKAWARA, Y. The caudal neurosecretory system in fishes. In: PANG, P.K.T. & SCHEREIBMAN, M.P., eds. Vertebrate endocrinology: fundamentals and biomedical implications. New York, Academic Press, 1986b. v.1, p.147-74.

- 77 KOBAYASHI, Y.; WOO, N.Y.S.; ISHIMURA, K.; POULIN, P.; HONTELA, A.; LEDERIS, K. Immunoreactive urotensin I, a corticotropin-releasing factor-like peptide, in fish brain. In: YOSHIMURA, F. & GORBMAN, A., eds. Pars distalis of the pituitary gland-structure, function and regulation. Amsterdam, Elsevier Science, 1986c. p.267-9.
- 78 KRIEBEL, R.M.; BURKE, J.D.; MEETZ, G.D. Morphologyc features of the caudal neurosecretory system in the blueback herring, **Pomolobus aestivalis**. **Anat.Rec.**, 195:553-71, 1979.
- 79 KRIEBEL, R.M.; PARSONS, R.L.; MILLER, K.E. Innervation of caudal neurosecretory cells. In: KOBAYASHI, H.; BERN, H.A.; URANO, A., eds. Neurosecretion and the biology of neuropeptides. Tokyo, Jpn.Sci.Soc.Press, 1985. p.205-11.
- 80 LAGLER, K.F.; BARDACH, J.E.; MILLER, R.R. Ichthyology: the study of fishes. New York, John Wiley, 1962. 545 p.
- 81 LARSON, B.A.; BERN, H.A.; LIN, R.J.; NISHIOKA, R.S. A double sequential immunoflourescence method demonstrating the co-localization of urotensin I and II in the caudal neurosecretory system of the teleost, Gillichthys mirabilis. Cell Tissue Res., 247:233-9, 1987.
- 82 LARSON, B.A.; NISHIOKA, R.S.; PEARSON, D.; BERN, H.A. Urotensins I and II: presence in the same or different neurons of a fish caudal neurosecretory system. Amer. Zool., 24:54A, 1984.
- 83 LEDERIS, K. Teleostean urophysis: stimulation of contractions of bladder of the trout (Salmo gairdnerii). Science, 163:1327-8, 1969.
- system of bony fishes. In: BENSON, G. & PHILLIPS, J., eds. Hormones and the environment. s.l., Mem.Soc. Endocrinol., 1970. v.18, p.465-84.
- . The fish urotensins: hypophyseal and peripheral actions in fishes and mammals. In: MARTINI, L. & GANONG, W.F. Frontiers in neuroendocrinology. New York, Raven, 1984. v.8, p.247-63.
- Non-mammalian corticotropin release-stimulating peptides. Annals NY Acad.Sci., 512:129-38, 1987.
- 87 LEDERIS, K.; BERN, H.A.; MEDAKOVIC, M.; CHAN, D.K.O.; NISHIOKA, R.S.; LETTER, A.; SWANSON, D.; GUNTHER, R.; TESANOVIC, M.; HORNE, B. Recent functional studies on the caudal neurosecretory system of teleost fishes. In: KNOWLES, F. & VOLLRATH, L., eds. Neurosecretion: the final neuroendocrine pathway. Berlin, Springer-Verlag, 1974. p.94-103.

- 88 LEDERIS, K.; FRYER, J.; RIVIER, J.; MACCANNEL, K.L.; KOBAYASHI, Y.; WOO, N.; WONG; K.L. Neurohormones from fish tails. II. Actions of urotensin I in mammals and fishes. In: GREEP, R.O., ed. Recent progress in hormone research. Orlando, Academic Press, 1985a. p.553-76.
- 89 LEDERIS, K.; FRYER, J.N.; YULIS, C.R. The fish neuropeptide urotensin I: its physiology and pharmacology. Peptides, 6:353-61, 1985b.
- 90 LEDERIS, K.; KO, D.; RIVIER, J.; MELCHIORRI, P.; NEGRI, L. Specificity and sensitivity of antisera produced against non-conjugated urotensin I and related peptides. Proc.West.Pharmacol.Soc., 30:187-9, 1987.
- 91 LEDERIS, K.; LETTER, A.; McMASTER, D.; ICHIKAWA, T.; MACCANNELL, K.L.; KOBAYASHI, Y.; RIVIER, J.; RIVIER, C.; VALE, W.; FRYER, J. Isolation, analysis of structure, synthesis and biological actions of urotensin I neuropeptides. Can.J.Biochem.Cell Biol., 61:602-14, 1983.
- 92 LEDERIS, K.; LETTER, A.; McMASTER, D.; MOORE, G.; SCHLESIN-GER, D. Complete amino acid sequence of urotensin I, a hypotensive and corticotropin releasing neuropeptide from Catostomus. Science, 218:164-6, 1982.
- 93 LEDERIS, K. & YULIS, C.R. The distribution of urotensins in the central nervous system of teleosts, with special reference to a separate, CSF-contacting urotensin II; specific neuronal system in the spinal cord and brain of some fishes. Wiss.Z.Karl-Marx-Univ.Leipzig, Math.-Naturwiss.R., 36:207-13, 1987.
- 94 LEHNINGER, A.L. Hormônios. In: ____. Principios de bioquimica. São Paulo, Sarvier, 1986. p.513-34.
- 95 LEVIN, J. Estatística aplicada a ciências humanas. São Paulo, Harper & Row do Brasil, 1977. 310 p.
- 96 MACMILLAN, F.M. & CUELLO, A.C. Monoclonal antibodies in neurohistochemistry: the state of the art. In: PANULA, P.; PÄIVÄRINTA, H.; SOINILA, S. Neurohistochemistry: modern methods and applications. New York, Alan R. Liss, 1986. p.49-74.
- 97 MAETZ, J.; BOUGUET, J.; LAHLOUH, B. Action de l'uroypophyse sur les échanges de sodium (édudiés à l'aide du ²⁴Na) et sur l'excrétion urinaire du téléostéen Carassius auratus. J.Physiol., Paris, 55:159-60,1963.
- 98 MARDONES, J. & ALDUNATE, J. Valoración biológica. Chile, Stanley, 1958. 80 p.
- 99 MARRACK, J. Nature of antibodies. Nature, London, 133: 292-3, 1934.

- 100 McMASTER, D.; KOBAYASHI, Y., RIVIER, J.; LEDERIS; K. Caracterization of the biologically and antigenically important regions of urotensin II. Proc.Wet.Pharmacol. Soc., 29:205-8, 1986.
- 101 McMASTER, D. & LEDERIS, K. Isolation and amino acid sequence of two urotensin II peptides from Catostomus urophysis. Peptides, 4:367-74, 1983.
- . Urotensin I- and CRF-like peptides in Catostomus commersoni brain and pituitary HPLC and RIA characterization. Peptides, 9:1043-8, 1988.
- 103 McMASTER, D.; RIVIER, J.; LEDERIS, K. Isolation, amino acid sequence and synthesis of urotensin I from Hippoglossoides elassodon. In: SHIBA, T. & SAKAKIBARA, S., eds. Peptide chemistry. Osaka, Protein Research Foundation, 1987. p.145-8.
- 104 McMASTER, D.; RORSTAD, O.P.; SUZUKI, Y.; LEDERIS; K. Isolation of highly purified iodinated peptides by high pressure liquid chromatography. Proc.West. Pharmacol.Soc., 27:237-41, 1984.
- 105 MEUNIER, M. & LABRIE, F. Multiple hormonal control of pars intermedia cell activity. Can.J.Biochem.Cell Biol., 61:516-31, 1983.
- 106 MIDDLEBROOK, P. & FRYER, J.N. Facilitation and inhibition of plasma cortisol following electrical stimulation of the goldfish forebrain. Brain Research, 297:201-5, 1984.
- 107 MIMURA, O.M. Ocorrência do sistema neurossecretor caudal em Lepidosiren paradoxa (peixe dipnóico) em fase estival. Bol.Fisiol.Anim., Univ.S.Paulo, 2:43-8,1978.
- MIMURA, O.M. & SALOMÃO, M.G. Sistema neuro-secretor caudal de **Prochilodus affinis** e **Prochilodus margravii**. In: CONGRESSO BRASILEIRO DE ZOOLOGIA, 12., Campinas, 1985. **Resumos**. Universidade Estadual de Campinas, 1985. p.206.
- 109 MINNITI, F.; DONATO, A.; D'ESTE, L.; RENDA, T. Sauvagine/
 urotensin-I-like immunoreactivity in the caudal neurosecretory system of a seawater fish Diplodus sargus
 L. in normal and hyposmotic milieu. Peptides, 10:
 383-9, 1989.
- 110 MOORE, R.Y. Neuroendocrine mechanisms: cell and systems. In: YEN, S.S.C. & JAFFE, R.B. Reproductive endocrinology, physiology, pathophysiology and clinical management. 2.ed. Philadelphia, W.B. Saunders, 1986. p.3-29.
- 111 MORITA, H.; ISHIBASHI, T.; YAMASHITA, S. Synaptic transmission in neurosecretory cells. Nature, London, 191:183, 1961.

- 112 MUNEKATA, E.; OHTAKI, T.; ICHIKAWA, T.; McMASTER, D.; LEDERIS, K. Isolation, characterization and synthesis of urotensin II peptides. In: RICH, D.H. & GROSS, E., eds. Proceedings of the 7 th American Peptides Symposium. Rockford, I.L.; Pierce Chemical, 1981. p.69-72.
- 113 OKAWARA, Y.; MORLEY, S.D.; BURZIO, L.O.; ZWIERS, H.; LEDERIS, K.; RICHTER, D. Cloning and sequence analysis of cDNA for corticotropin-releasing factor precursor from the teleost fish Catostomus commersoni. Proc. Natl.Acad.Sci, USA, 85:8439-43, 1988.
- 114 OLIVEREAU, M. & OLIVEREAU, J. Quantitative changes of CRF-like immunoreactivity in ells treated with reserpine and cortisol. **Peptides**, 9:1261-7, 1989.
- ONSTOTT, D. & ELDE, R. Immunohistochemical localization of urotensin I/corticotropin-releasing factor immunoreactivity in neurosecretory neurons in the caudal spinal cord of fish. Neuroendocrinology, 39:503-9, 1984.
- . Coexistence of urotensin I/corticotropin-releasing factor and urotensin II immunoreactivities in cells of the caudal neurosecretory system of a teleost and an elasmobranch fish. Gen.Comp.Endocrinol., 63: 295-300, 1986a.
- . Immunohistochemical localization of urotensin I/
 corticotropin-releasing factor, urotensin II, and
 serotonin immunoreactivities in the caudal spinal cord
 of nonteleost fishes. J. Comp. Neurol., 249:205-25,
 1986b.
- 118 ORR, R.T. Peixes e vertebrados semelhantes a peixes.
 In: ____. Biologia dos vertebrados. São Paulo, Roca,
 1986. p.27-72.
- OWADA, K.; KAWATA, M.; AKAJI, K.; TAKAGI, A.; MORIGA, M.; KOBAYASHI, H. Urotensin II-immunoreactive neurons in the caudal neurosecretory system of freshwater and seawater fish. Cell Tissue Res., 239:349-54, 1985a.
- 120 OWADA, K.; YAMADA, C.; KOBAYASHI, H. Immunoreactivity to antisera of urotensin II and corticotropin-releasing factor in the caudal neurosecretory system of the elasmobranchs and the dorsal cells of the lamprey. Cell Tissue Res., 242:527-30, 1985b.
- 121 PEARSON, D.; SHIVELY, J.E.; CLARK, B.R.; GESCHWIND, I.I.; BARKLEY, M.; NISHIOKA, R.S.; BERN, H.A. Urotensin II: A somatostatin-like peptide in the caudal neurosecretory system of fishes. Proc.Natl.Acad.Sci., USA, 77: 5021-4, 1980.
- 122 PESCA, A. Estatistica fundamental. 3.ed. Porto Alegre, Sulina, 1976. 131 p.

- 123 PETER, R.E. & FRYER, J.N. Endocrine functions of the hypothalamus of actinopterygians. s.n.t.
- 124 PEYROT, A. Il sistema neurosecernente caudale degli ittiopsidi: osservazioni sulla lampreda di ruscello (Lampetra zanandrei Valdikov). Boll. Soc. Ital.Biol. Sper., 40:207-11, 1964.
- 125 POOL, C.W.; BUIJS, R.M.; SWAAB, D.F.; BOER; G.J.; VAN LEEUWEN, F.W. On the way to specific immunocyto-chemical localization. In: CUELLO, A.C., ed. Immuno-histochemistry. Chichester, John Wiley, 1982. p.1-46. (IBRO Handbook Series: Methods in the neurosciences. v.3).
- 126 PRESCOTT, D.M. Cells-principles of molecular structure and function. Boston, Jones and Bartlett, 1988. 621 p.
- 127 REBAR, R.W. Practical evaluation of hormonal status. In: YEN, S.S.C. & JAFFE, R.B. Reproductive endocrinology, physiology, pathophysiology and clinical management. 2.ed. Philadelphia, W.B.Saunders, 1986.p.683-733.
- 128 RENTA, T.; D'ESTE, L.; NEGRI, L.; LOMANTO, D. Sauvaginelike immunoreactivity in the bony fish urophysis and caudal neurosecretory system. Basic Appl.Histochem., 26:89-98, 1982.
- 129 RODRIGUES, P.C. **Bioestatística**. Niterói, Universidade Federal Fluminense, 1986. 227 p.
- 130 RUBAL, E.E.M.; BARACAT, I.; VAL-SELLA, M.V. Morfologia funcional da adenohipófise do cascudo, **Plecostomus albopunctatus** (Val., 1840). **Bol.Fisiol.Animal**, Univ. S.Paulo, 8:119-30, 1984.
- 131 RUBAL, E.E.M.& VAL-SELLA, M.V. Morfologia e morfometria da hipófise de **Plecostomus albopunctatus** (Val. 1840) no estádio de repouso do ciclo gonadal. **Bol.Fisiol. Animal**, Univ.S.Paulo, 5:89-97, 1980.
- 132 ROSS, M.H. & REITH, E.J. **Histology**: a text and atlas. 2.ed. Baltimore, Williams & Wilkins, 1989. 783 p.
- 133 ROY, B.B. Action of zinc on the hypothalamo-pituitary-adrenal axis of the fish, guinea-pig and dog and on different experimental preparations. Proc.Natl.Acad. Sci.IndiaB., 28:13-28, 1962.
- 134 SAKAKURA, M.; YOSHIOKA, M.; KOBAYASHI, M.; TAKEBE, K. Degree of inhibition of ACTH release by glucocorticoids in adrenalectomized rats. Neuroendocrinology, 32:38-41, 1981.
- 135 SAKANAKA, M.; McMASTER, D.; CHOHAN, K.; SHIBASAKI, T.; STELL, W.K.; LEDERIS, K. Urotensin I-like immunoreactivity in amacrine cells of the goldfish retina.

 Neuroscience Letters, 76:96-100, 1987a.

- 136 SAKANAKA, M.; SHIBASAKI, T.; LEDERIS, K. Corticotropin releasing factor-like immunoreactivity in the rat brain as revealed by a modified cobalt-glucose oxidase-diaminobenzidine method. J.Comp.Neurol., 260:256-98, 1987b.
- 2. Corticotropin-releasing factor-containing afferents to the inferior colliculus of the rat brain.

 Brain Res., 414:68-76, 1987c.
- 138 SANO, Y. Das caudale neurosekretorische system bei fischen. Ergeb.Biol., 24:191-212, 1961.
- 139 _____. The caudal neurosecretory system. In: KATSUKI, S., ed. Central regulation of internal secretion. Tokyo, Igaku Shoin, 1965. p.469-522.
- 140 SANO, Y.; IIDA, T.; TAKEMOTO, S. Weitere elektronenmikroskopische untersuchungen am kaudalen neurosekretorischen system von fischen. Z.Zellforsch.Mikrosk. Anat., 75:328-38, 1966.
- 141 SANO, Y. & KAWAMOTO, M. Entwicklungsgeschichtliche beobachtungen an der neurophysis spinalis caudalis von Lebistes recticulatus Peters. Z.Zellforsch.Mikrosk. Anat., 51:56-64, 1959.
- 142 SAWCHENKO, P.E. Evidence for differential regulation of corticotropin-releasing factor and vasopressin immunoreactivities in parvocellular neurosecretory and autonomic-related projections of the paraventricular nucleus. Brain Res., 437:253-63, 1987.
- 143 SHIOSAKA, S. & TOHYAMA, M. Immunohistochemical techniques. In: EMSON, P.C.; ROSSOR, M.N.; TOHYAMA, M., eds. Progress in brain research. Amsterdam, Elsevier Science Publishers, 1986. v.66, p.3-32.
- 144 SIEGEL, S. Estatística não-paramétrica para ciências do comportamento. São Paulo, McGraw-Hill do Brasil, 1975. 350 p.
- 145 SMELIK, P.G. The regulation of ACTH secretion. Acta Physiol.Pharmacol.Neerl., 15:123-35, 1969.
- 146 SPEIDEL, C.C. Gland-cells of internal secretion in the spinal cord of the skates. Pap.Dep.Mar.Biol., Carnegie Inst. Washington, 13:1-31, 1919.
- . Further comparative studies in other fishes of cells that are homologous to the large irregular glandular cells in the spinal cord of the skates. J. Comp.Neurol., 34:303-17, 1922.
- 148 STACEY, N.E.; PETER, R.E.; COOK, A.F.; TRUSCOTT, B.; WALSH, J.M.; IDLER, D.R. Changes in plasma concentrations of gonadotropin, 17β-estradiol, testosterone, and 17α-hydroxy-20βdihydroprogesterone during spontaneous and brain lesion induced ovulation in goldfish. Can.J.Zool., 61:2646-52, 1983.

- 149 STERBA, G. Distribution of nerve cells with secretorylike granules in Petromyzontes. Nature, London, 193: 400-1, 1962.
- 150 STORER, T. & USINGER, R.L. Zoologia geral. 5.ed. São Paulo, Editora Nacional, 1979. 757 p.
- SUESS, U.; LAWRENCE, J.; KO, D.; LEDERIS, K. Radioimmunoassay for fish tail neuropeptides: I. Development of assay and measurement of immunoreactive urotensin I in Catostomus commersoni brain, pituitary, and plasma. J.of Pharmacol.Methods, 15:335-46, 1986.
- 152 TAM, W.H.; FRYER, J.N.; ALI, I.; DALLAIRE, M.R.; VALENTINE, B. Growth inhibition, gluconeogenesis, and morphometric studies of the pituitary and interrenal cells of acid-stressed brook trout (Salvelinus fontinalis). Can.J.Fish Aquat.Sci., 45:1197-211, 1988.
- 153 TAM, W.H.; FRYER; J.N.; VALENTINE, B.; ROY, R.J.J. Reduction in oocyte production and gonadotrope activity, and plasma levels of estrogens and vitellogenin in brook trout exposed to low environmental pH. s.d. Trabalho datilografado.
- 154 TOSELLI, C. Peixe japonês (Carassius auratus). Vida no Aquário, 7:91-5, 1988.
- 155 TRAN, T.N.; FRYER, J.N.; BENNETT, H.P.J.; TONON; M.C.; VAUDRY, H. TRH simulates the release of POMC-derived peptides from goldfish melanotropes. Peptides, 10: 835-41, 1989.
- 156 TRAN, T.N.; FRYER, J.N.; LEDERIS, K.; VAUDRY, H. CRF, urotensin I and sauvagine stimulate the release of POMC-derived peptides from goldfish neurointermediate lobe cells. Gen. Comp. Endocrinol., 78:351-60, 1990.
- 157 VAL-SELLA, M.V. & FAVA-DE-MORAES, F. Morphology of the hypophysis of the freshwater teleost Ramdia hilarii (Val., 1840). Anat.Anz., 145:146-54, 1979a.
- 158 _____. Cytology and cytochemistry of the hypophysis of the freshwater teleost Ramdia hilarii (Val., 1840). Gegenbaurs morph.Jahrb., Leipzig, 125:161-73, 1979b.
- of the carp hypophysis (Cyprinus carpio L.). Anat. Anz., 142:403-9, 1977.
- 160 VANDESANDE, F. Immunohistochemical double staining techniques. In: CUELLO, A.C., ed. Immunohistochemistry. Chichester, John Wiley, 1982. p.257-73. (IBRO Handbook Series: Methods in the Neurosciences. v.3).
- 161 VERNE, J. A l'étude des cellules névrogliques. Arch.
 Anat.Microsc.Morphol.Exp., 16:149-92, 1914.

- 162 VIGH, B. & VIGH-TEICHMANN, I. Comparative ultrastructure of the cerebrospinal fluid contacting neurons. Int.Rev.Cytol., 35:189-251, 1973.
- VIGH, B.; VIGH-TEICHMANN, I.; AROS, B. Special dendritic and axonal endings formed by the cerebrospinal fluid-contacting neurons of the spinal cord. Cell Tissue Res., 183:541-52, 1977.
- 164 WEIHEL, E.R. & BOLENDER, R.P. Stereological techniques for electron microscopic-morphometry. In: _____. Principles and techniques of electron microscopic: biologycal applications. s.l., Hayat, 1970. v.3, p.239-95.
- 165 WEISS, L. Cell and tissue biology: a textbook of histology. 6.ed. Baltimore, Urban & Schwarzenberg, 1983.
 1158 p.
- 166 WELD, M.M. & FRYER, J.N. Stimulation by angiotensins I and II of ACTH release from goldfish pituitary cell columns. Gen.Comp.Endocrinol., 68:19-27, 1987.
- . Angiotensin II stimulation of teleost adrenocorticotropic hormone release: interactions with urotensin I and corticotropin-releasing factor. Gen. Comp.Endocrinol., 69:335-40, 1988.
- 168 WELD, M.M.; FRYER, J.N.; RIVIER, J.; LEDERIS, K. Inhibition of CRF- and urotensin I-stimulated ACTH release from goldfish pituitary cell columns by the CRF analogue α -helical CRF-(9-41). Regulatory Peptides, 19:273-80, 1987.
- 169 WHEELER, A. The world encyclopedia of fishes. London, Macdonald, 1985. 368 p.
- 170 WHITNALL, M.H. Distributions of pro-vasopressin expressing and pro-vasopressin deficient CRH neurons in the paraventricular hypothalamic nucleus of colchicinetreated normal and adrenalectomized rats. J.Comp. Neurol, 275:13-28, 1988.
- 171 WOO, N.Y.S.; HONTELA, A.; FRYER, J.N.; KOBAYASHI, Y.; LEDERIS, K. Activation of the hypothalamo-hypophysial-interrenal system by urophysectomy in goldfish. Am. J.Physiol., 248:R197-R201, 1985.
- 172 YAMADA, C.; MIKAMI, S.; KURAISHI, Y.; KOBAYASHI, H. Immunoreactive methionine-enkephalin in the caudal neurosecretory system of the carp, Cyprinus carpio. Cell Tissue Res., 253:485-7, 1988.
- 173 YAMADA, C.; OWADA, K.; KOBAYASHI, H. Colocalization of corticotropin-releasing factor/urotensin I and urotensin II in the caudal neurosecretory neurons in the carp, Cyprinus carpio. Zool.Science, 2:813-6, 1985.
- 174 YAMAMOTO, K. The caudal neurosecretory system of fishes. Japan, Gunma Univ., 1979. p.1-118.

- 175 YEN, S.S.C. Neuroendocrine control of hypophyseal function, physiological and clinical implications. In: YEN, S.S.C. & JAFFE, R.B. Reproductive endocrinology, physiology, pathophysiology and clinical management.

 2.ed. Philadelphia, W.B.Saunders, 1986. p.33-67.
- 176 YULIS, C.R. & LEDERIS, K. The distribution of "extraurophyseal" urotensin I- immunoreactivity in the central nervous system of Catostomus commersoni after urophysectomy. Neuroscience Letters, 70:75-80, 1986a.
- immunoreactive neuronal perikarya and their processes. Proc.Natl.Acad.Sci, USA, 83:7079-83, 1986b.
- . Co-localization of the immunoreactivities of corticotropin-releasing factor and arginine vasotocin in the brain and pituitary system of the teleost Catostomus commersoni. Cell Tissue Res., 247:267-73, 1987.
- . Relationship between urotensin II- and somatostatin-immunoreactive spinal cord neurons of Catostomus commersoni and Oncorhynchus kisutch (Teleostei). Cell Tissue Res., 254:539-42, 1988a.
- 180 _____. Occurrence of an anterior spinal, cerebrospinal fluid-contacting, urotensin II neuronal system in various fish species. Gen.Comp.Endocrinol., 70:301-11, 1988b.
- 181 YULIS, C.R.; LEDERIS, K.; WONG, K.; FISHER, A.W.F. Localization of urotensin I- and corticotropin-releasing factor-like immunoreactivity in the central nervous system of Catostomus commersoni. Peptides, 7:79-86, 1986.
- 182 ZELNICK, P.R. & LEDERIS, K. Cromatographic separation of urotensins. Gen.Comp.Endocrinol., 20:392-400, 1973.
- ZOLI, M.; FUXE, K.; AGNATI, L.F.; HÄRFSTRAND, A.; TERENIUS, L.; TONI, R.; GOLDSTEIN, M. Computer-assisted morphometry of transmitter-identified neurons: new openings for the understanding of peptide-monoamine interactions in the mediobasal hypothalamus. In: PANULA, P.; PÄIVÄRINTA, H.; SOINILA, S., eds. Neurohistochemistry modern methods and applications. New York, Alan R.Liss, 1986. p.137-72.